

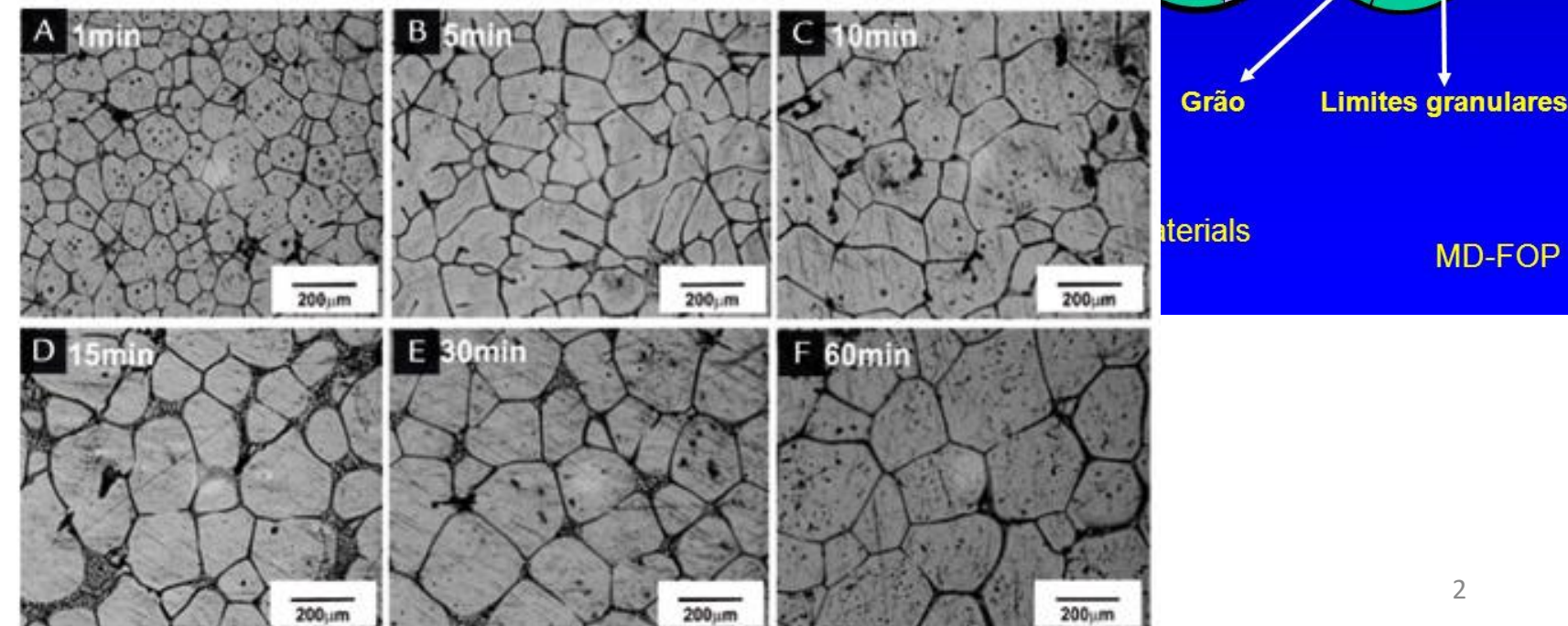
# CORROSÃO CONCEITOS BÁSICOS

# Solidificação de um metal a partir do estado fundido



Nos contornos de grão se concentram as impurezas. Eles são o ponto fraco da microestrutura dos metais.

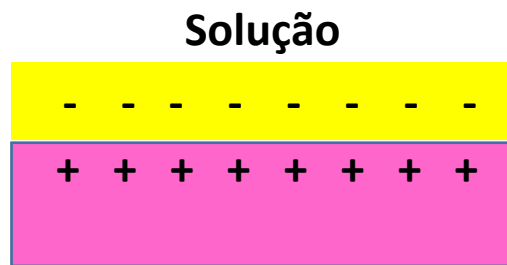
Figura 1  
Microestruturas da liga de Al4Cu  
laminada a 25% e mantida por  
diferentes tempos de permanência  
no ESS,  $T = 538^{\circ}\text{C}$ ,  $f_s = 0,6$ .



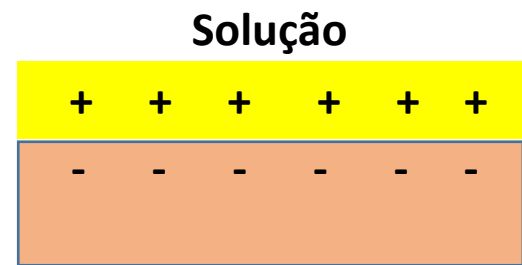
# Por quê a corrosão ocorre?

- O metal (condutor eletrônico) interage eletricamente com a solução eletrolítica (condutor iônico) criando uma interface eletrificada na fronteira entre as duas fases;
- Estabelece-se uma diferença de potencial entre o metal e a solução;
- O valor do potencial que se estabelece na interface depende tanto da natureza do metal como do meio no qual este se encontra inserido;
- Regiões com diferentes características microestruturais em um mesmo material apresentam potenciais diferentes, porém estas se encontram curto-circuitadas na microestrutura do metal.

Situação **hipotética** - as duas regiões da microestrutura se encontram desconectadas (sem contato elétrico)



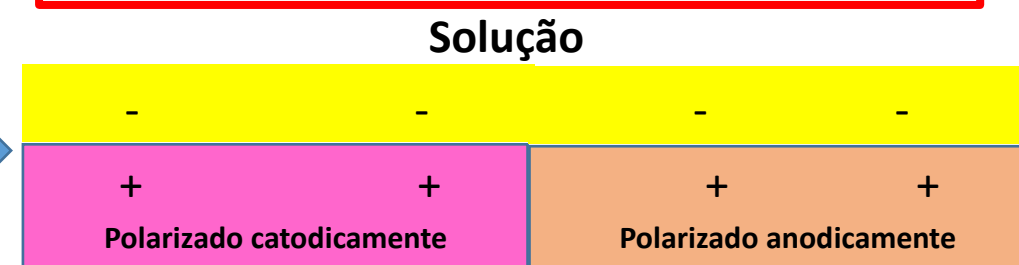
Região A do Metal Grão  
(mais nobre)



Região B - Contorno de Grão  
(menos nobre)



Na microestrutura do metal estas duas regiões se encontram **curtocircuitadas e o potencial delas é comum**



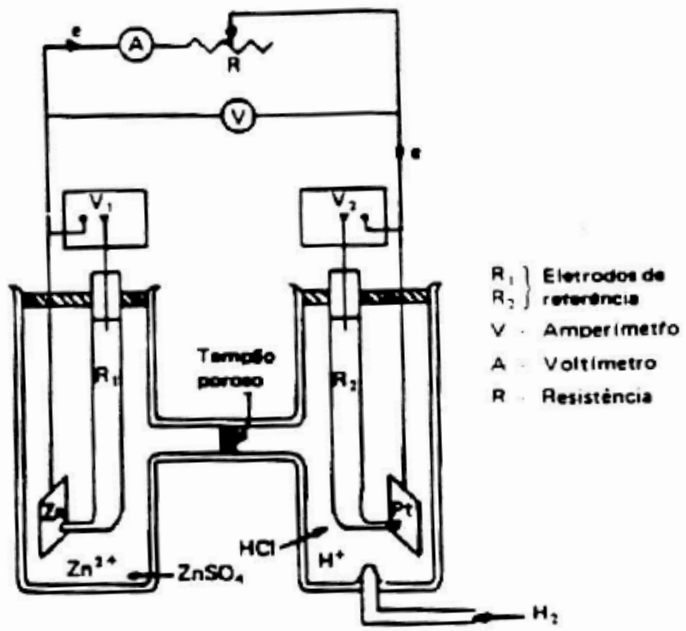
Região A do Metal Grão

Região B do Metal Contorno de Grão

Quando curtocircuitadas as duas regiões passam a apresentar um potencial diferente daquele que exibiriam se estivessem isoladas – o valor do potencial é intermediário àquele apresentado por cada região isolada.

O valor deste potencial depende da composição e das características microestruturais de cada região, da cinética das reações, da natureza da solução e da relação de área entre as regiões com diferentes microestruturas.

# Uma pilha hipotética



$$t = 0$$

**Círculo aberto**

$$R \rightarrow \infty$$

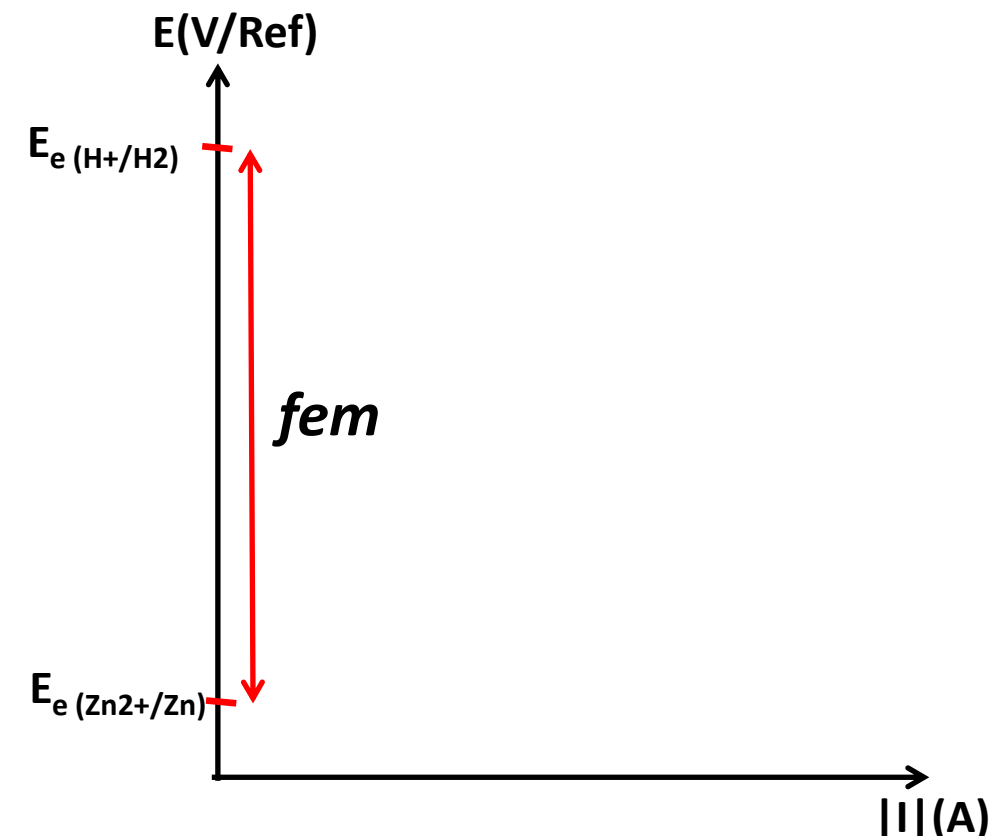
**Eletrodos em equilíbrio**



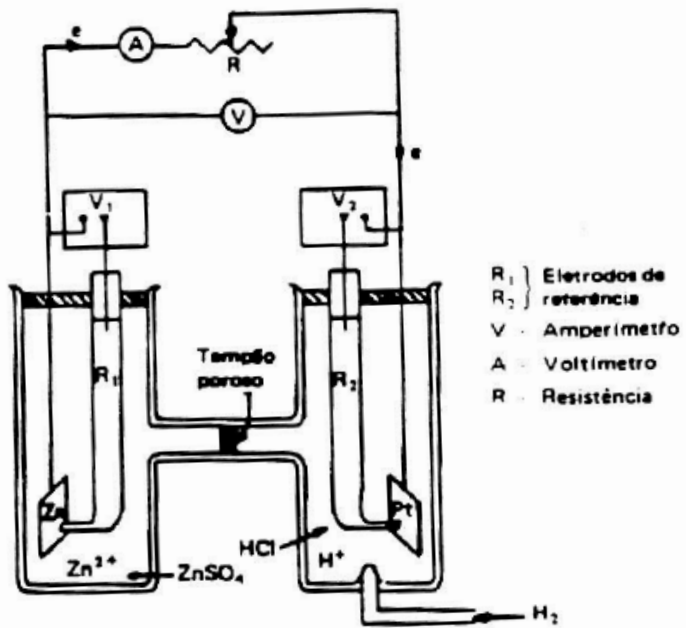
$$E^0 = -0,763V$$



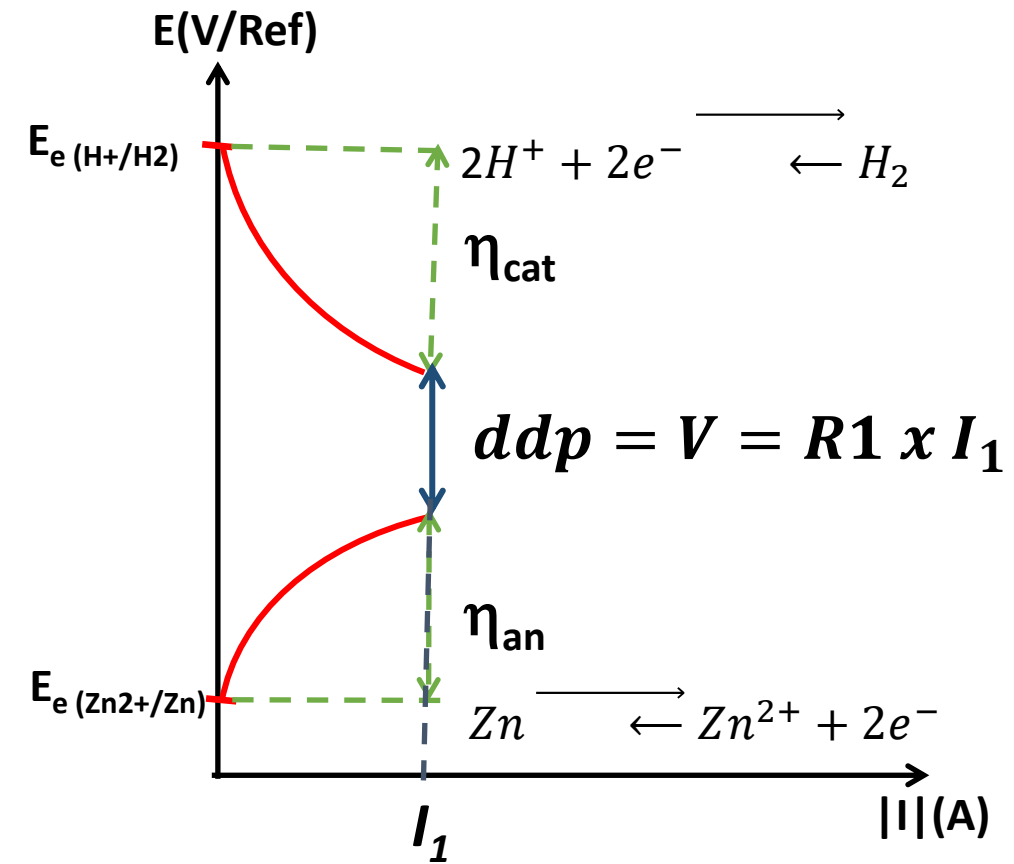
$$E^0 = -0,0V$$



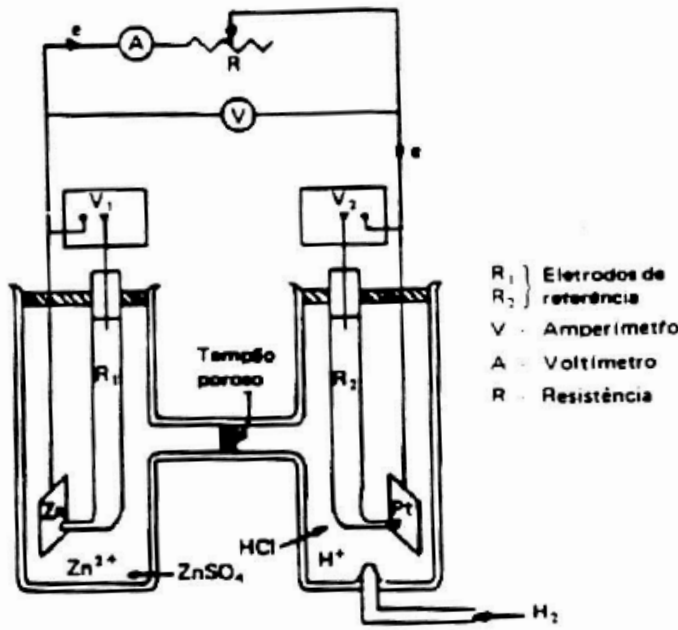
# Uma pilha hipotética



$t > 0$   
**Círculo fechado**  
 $R = R_1$   
**Eletrodos polarizados**



# Uma pilha hipotética

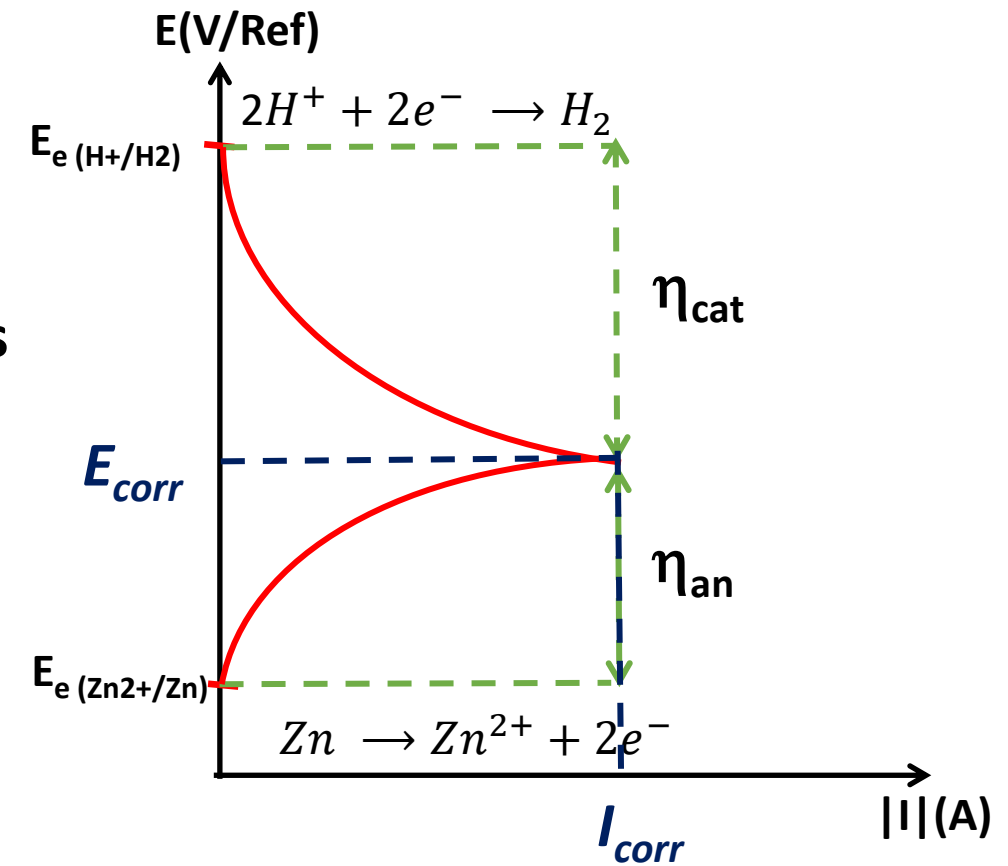


$$V_{Zn} = V_{Pt}$$

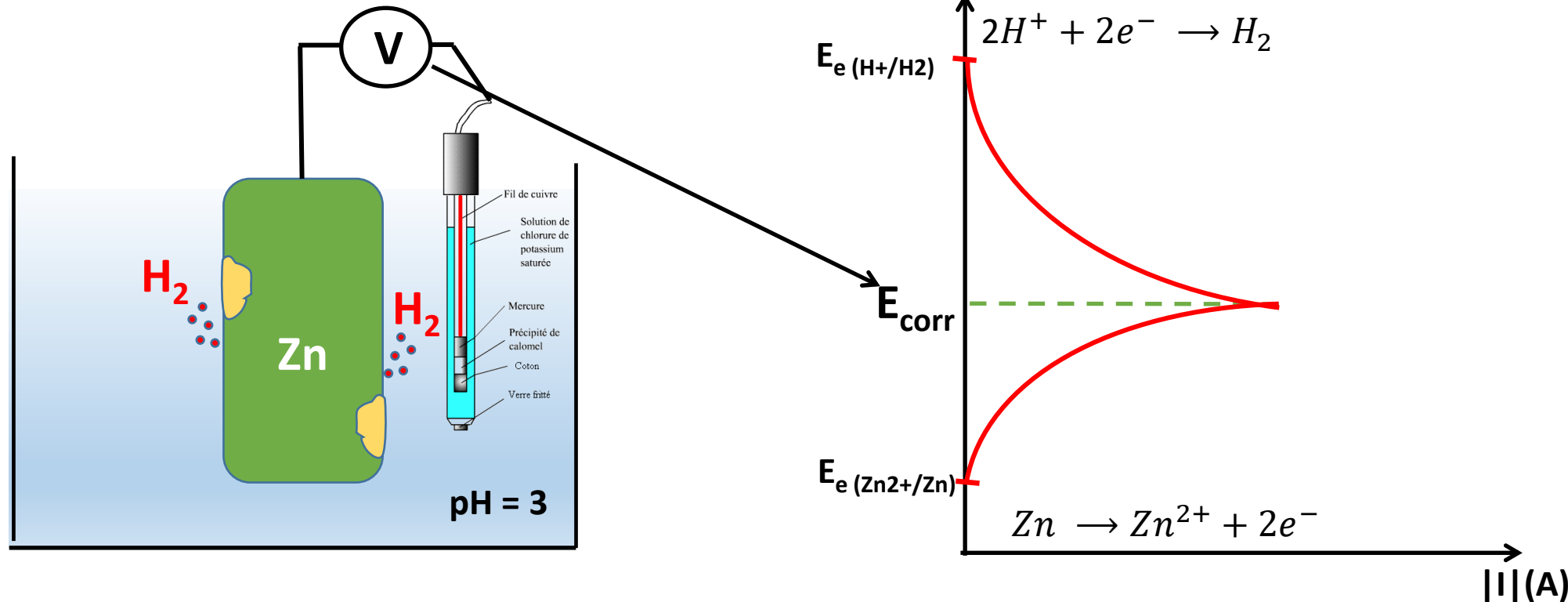
$$R = 0$$

$\Delta V \approx 0$  (depende da resistência do eletrólito)

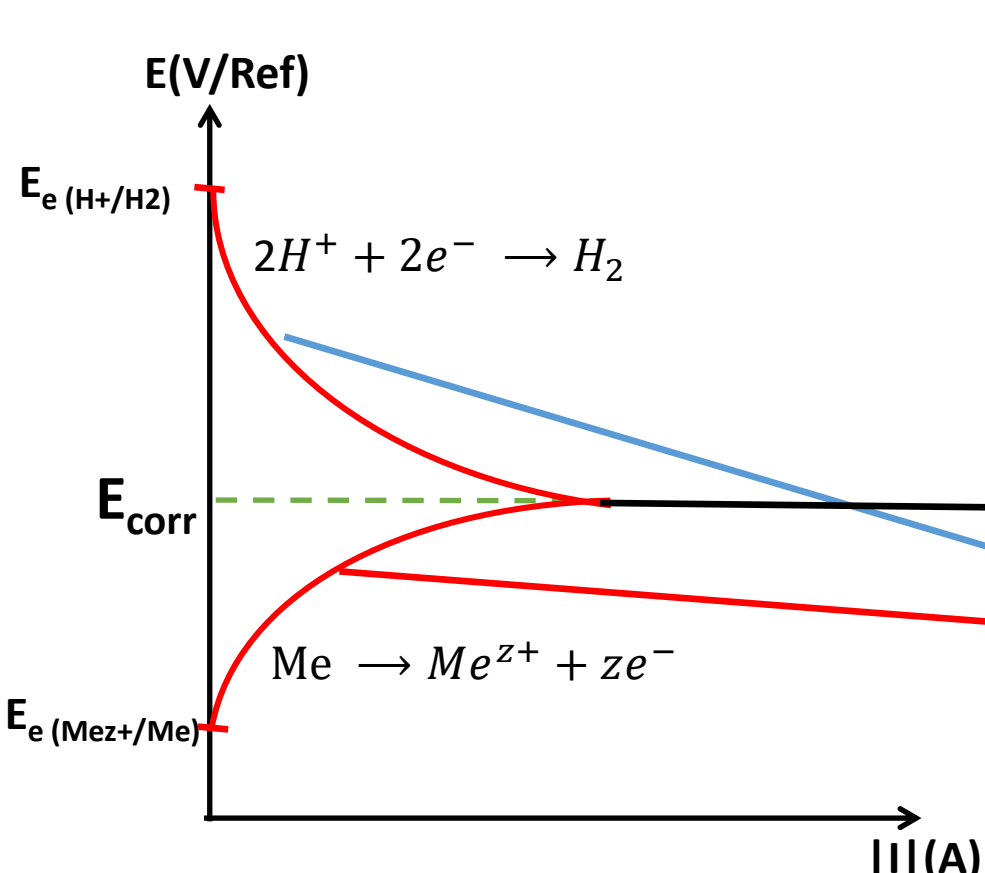
$$I_{Zn} = I_H = I_{corr}$$



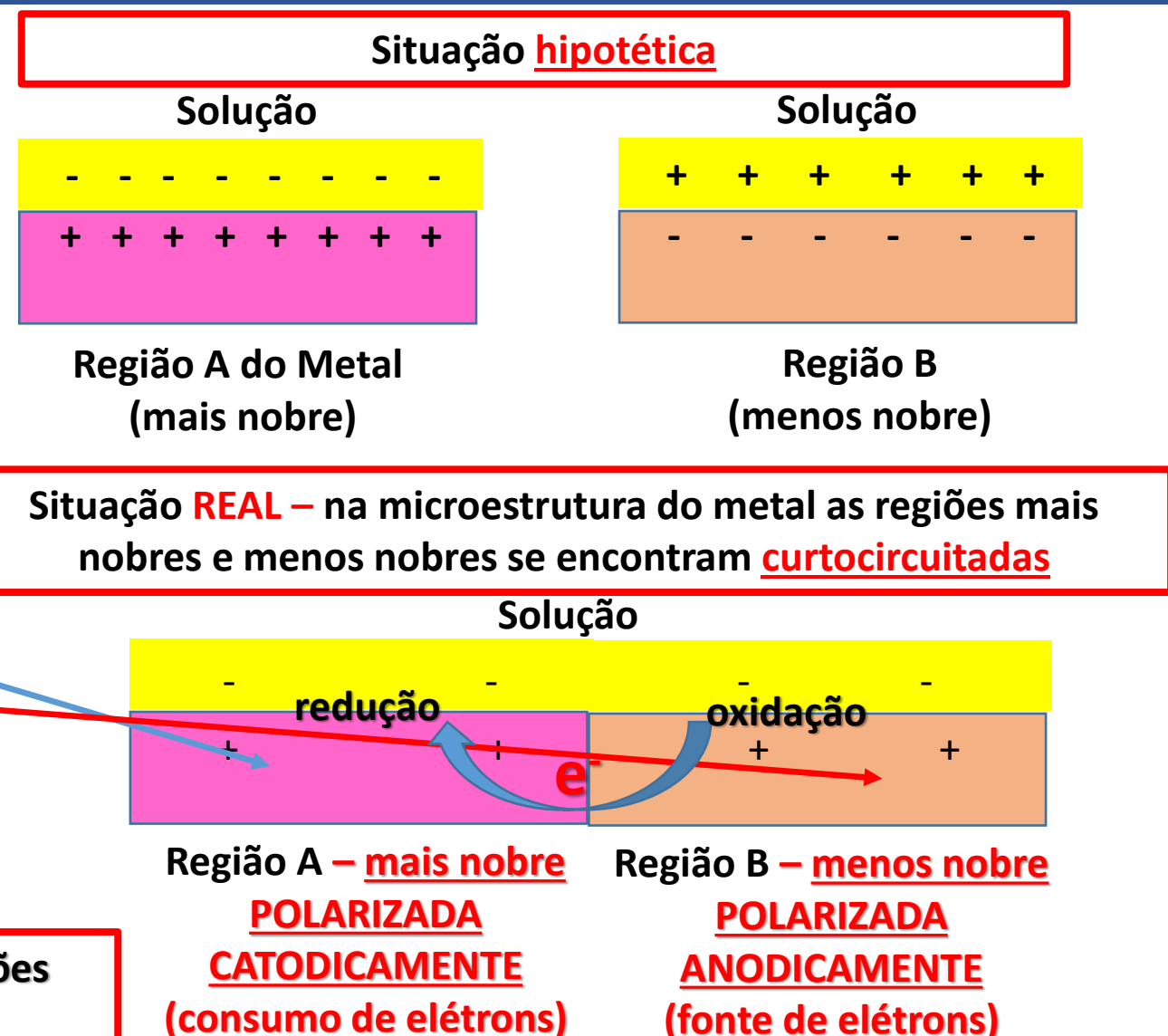
# Medida Experimental do Potencial de um Metal em um Meio Corrosivo (Ecorr)



# Medida Experimental do Potencial de um Metal em um Meio Corrosivo (Ecorr)



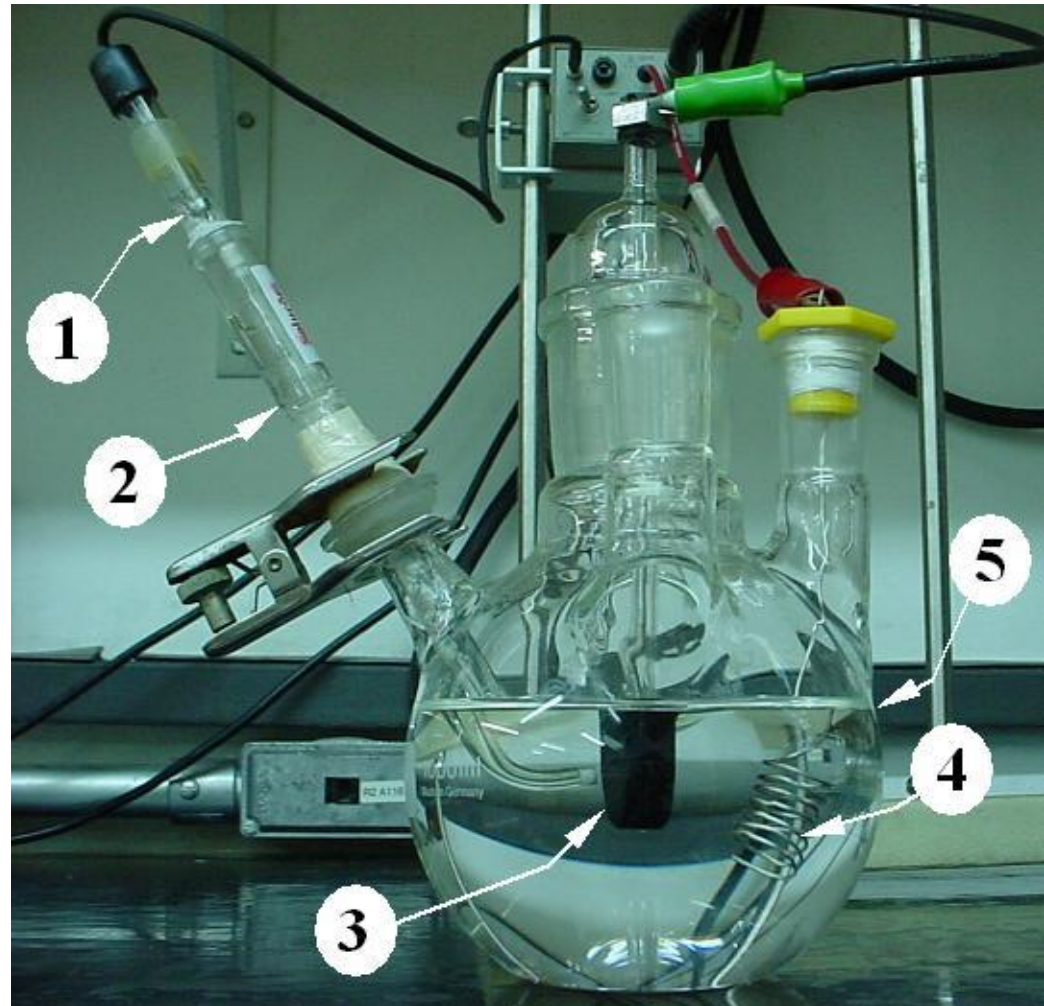
- Determina-se o potencial onde a velocidade das duas reações (anódica e catódica) são iguais



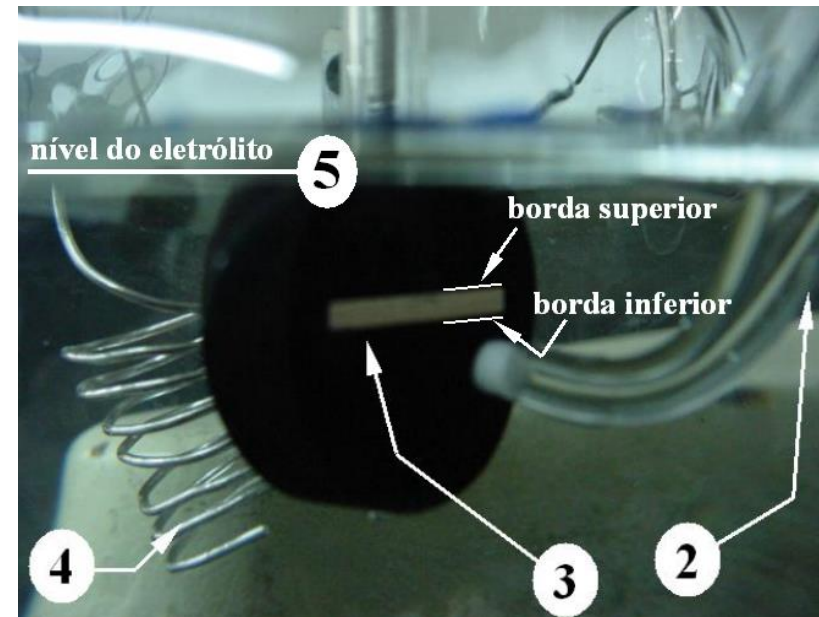
# Medida Experimental do Potencial de um Metal em um Meio Corrosivo (Ecorr)



# Medida Experimental do Potencial de um Metal em um Meio Corrosivo (Ecorr)



1. Eletrodo de Referência (ECS)
2. Capilar de Luggin
3. Eletrodo de Trabalho – corpo-de-prova
4. Contra-eletrodo (Pt)
5. Nível do Eletrólito



# Medida Experimental do Potencial de um Metal em um Meio Corrosivo (Ecorr)



*Fotos: Gentileza Eng. Rodrigo César Nascimento Liberto;  
Relatório Final FAPESP, processo 04/13072-0; 30/05/2007.*

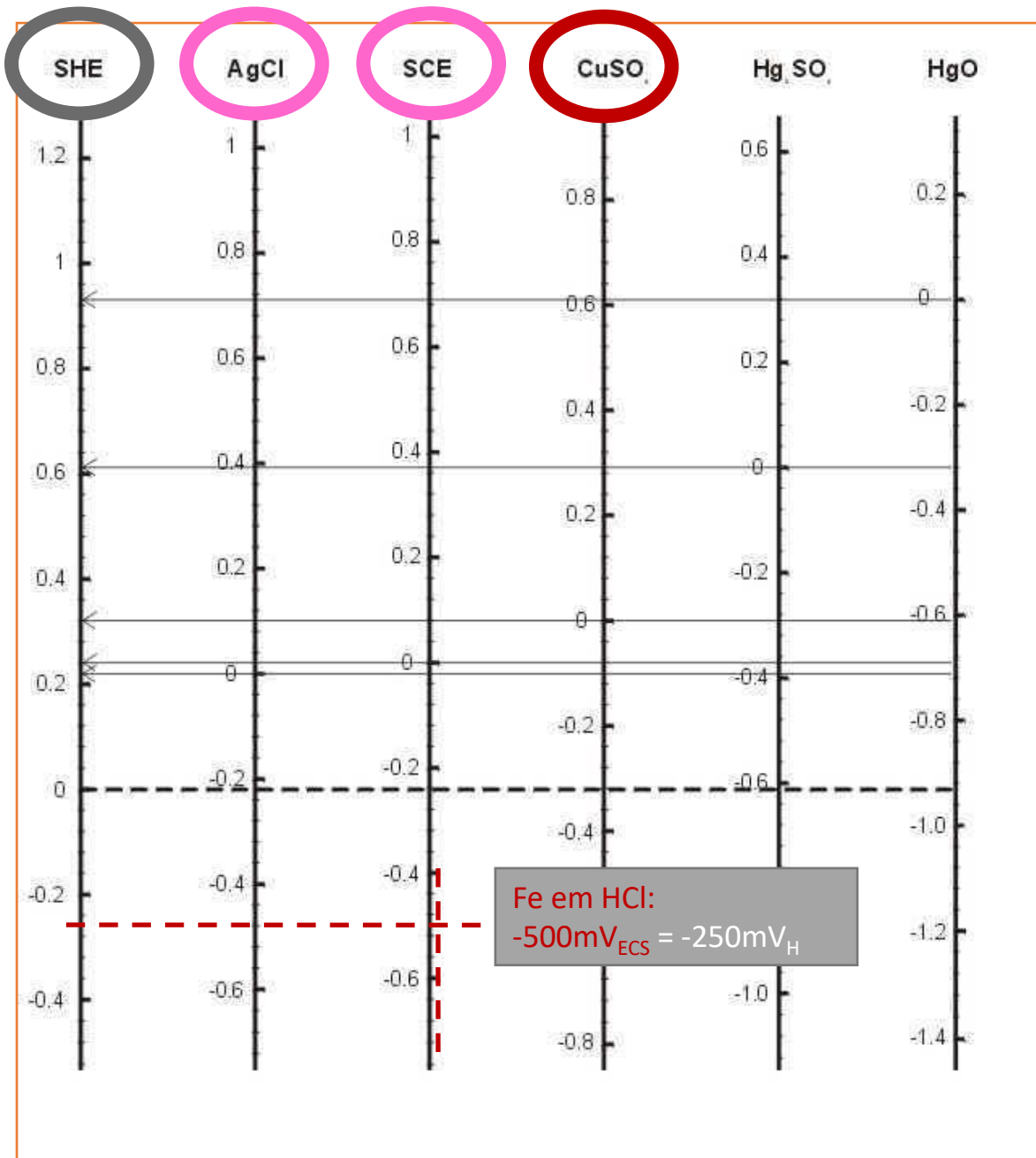
# Eletrodos de Referência e seus Potenciais

(WEST, John M. *Basic corrosion and oxidation*. New York : John Wiley & Sons, 2. ed., 1986, p.97.)

Eletrodo	V, EHS a 25ºC
Hg,Hg <sub>2</sub> Cl <sub>2(s)</sub> /Cl <sup>-</sup> (aq,sat.KCl)	+0,25 (+0,241*)
Cu/Cu <sup>+2</sup> (aq,sat.CuSO <sub>4</sub> )	+0,32 (+0,318*)
Ag,AgCl <sub>(s)</sub> /Cl <sup>-</sup> (aq,1mol/kg KCl)	+0,29
Ag,AgCl <sub>(s)</sub> /Cl <sup>-</sup> (aq,água do mar)	+0,25

$$E_H = E_{ECS} + 0,25$$

\* Valor da tabela de conversão:  
<http://www.nace.org/nace/content/library/corrosion/References/Potential.asp>



$$E_H = E_{\text{ECS}} + 0,25$$

Conversão de  $E$  medidas por diferentes Eletrodos de Referência

Gráfico de conversão:  
<http://www.nace.org/nace/content/library/corrosion/References/Pot-scales.asp>

### Conversion Between Reference Electrodes

Here is a simple graphical aid to convert voltages between the most common reference electrode scales.

## Reference Electrode Potentials

Conversão de E  
medidos por  
diferentes Eletrodos  
de Referência

Tabela de conversão:  
<http://www.nace.org/nace/content/library/corrosion/References/Potential.asp>

Name	Nernst Equation (V vs. SHE)	Potential (V vs. SHE)	T coefficient (mV oC <sup>-1</sup> )
Hydrogen (SHE)	$E^0 - 0.059 \text{ pH}$	0.00	..
Silver chloride	$E^0 - 0.059 \log a_{\text{chloride}}$	0.2224	-0.6
	0.1 M KCl	0.2881	..
	1.0 M KCl	0.235	..
	saturated (KCl)	0.199	..
	seawater	~0.250	..
Calomel	$E^0 - 0.059 \log a_{\text{chloride}}$	0.268	..
	0.1 M KCl	0.3337	-0.06
	1.0 M KCl	0.280	-0.24
(SCE)	saturated (KCl)	0.241	-0.65
Mercurous sulfate	$E^0 - 0.0295 \log a_{\text{sulfate}}$	0.6151	..
Mercuric	$E^0 - 0.059 \text{ pH}$	0.926	..
Copper sulfate	$E^0 + 0.0295 \log a_{\text{copper}}$	0.340	..
	saturated	0.318	..

A visual chart was produced to convert the voltages read with various reference electrodes.

# Potencial de Corrosão ou de Circuito Aberto

- Potencial no qual a velocidade de oxidação do metal (reação anódica) é praticamente igual à velocidade de redução (reação catódica) de uma espécie do meio.
- No potencial de corrosão – a corrente líquida na interface é zero.
- Diferentemente do potencial de equilíbrio, **no potencial de corrosão tem reação líquida no eletrodo pois a natureza das reações de oxidação e de redução são diferentes.**

**IMPORTANTE** – O potencial de corrosão tem sempre um **VALOR INTERMEDIÁRIO** entre o potencial de equilíbrio do metal (espécie que se corrói) e o potencial de equilíbrio do oxidante que se encontra no meio. **O METAL ESTÁ POLARIZADO ANODICAMENTE!**

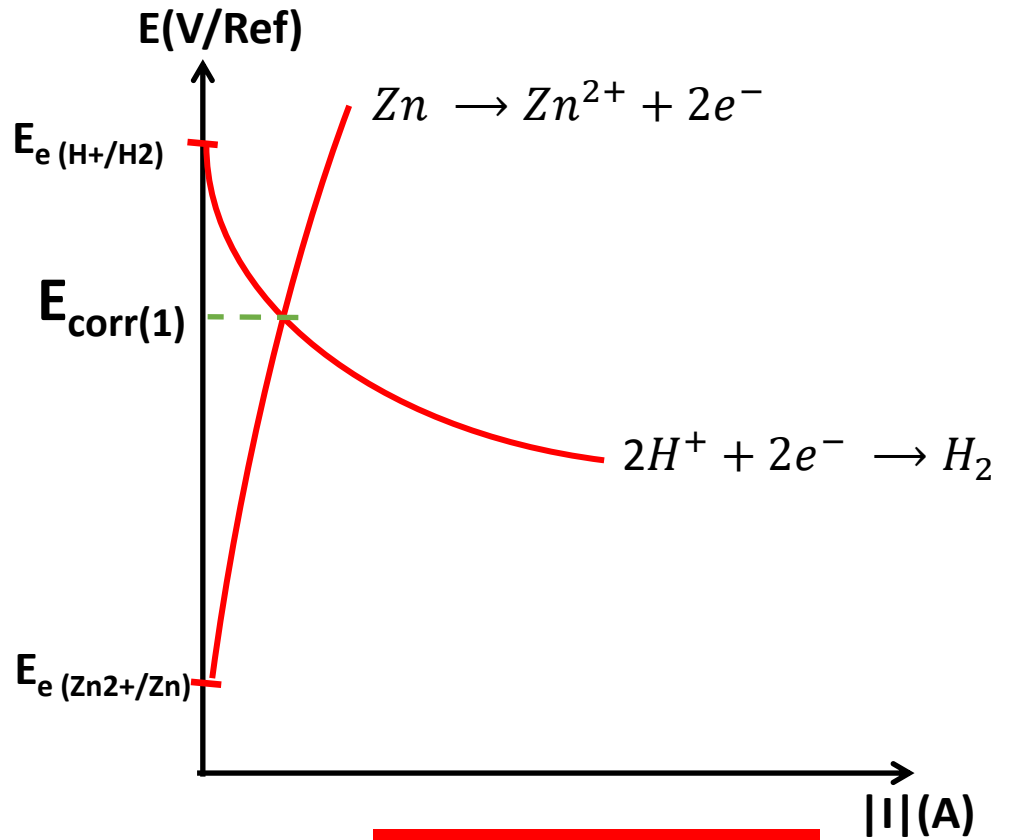
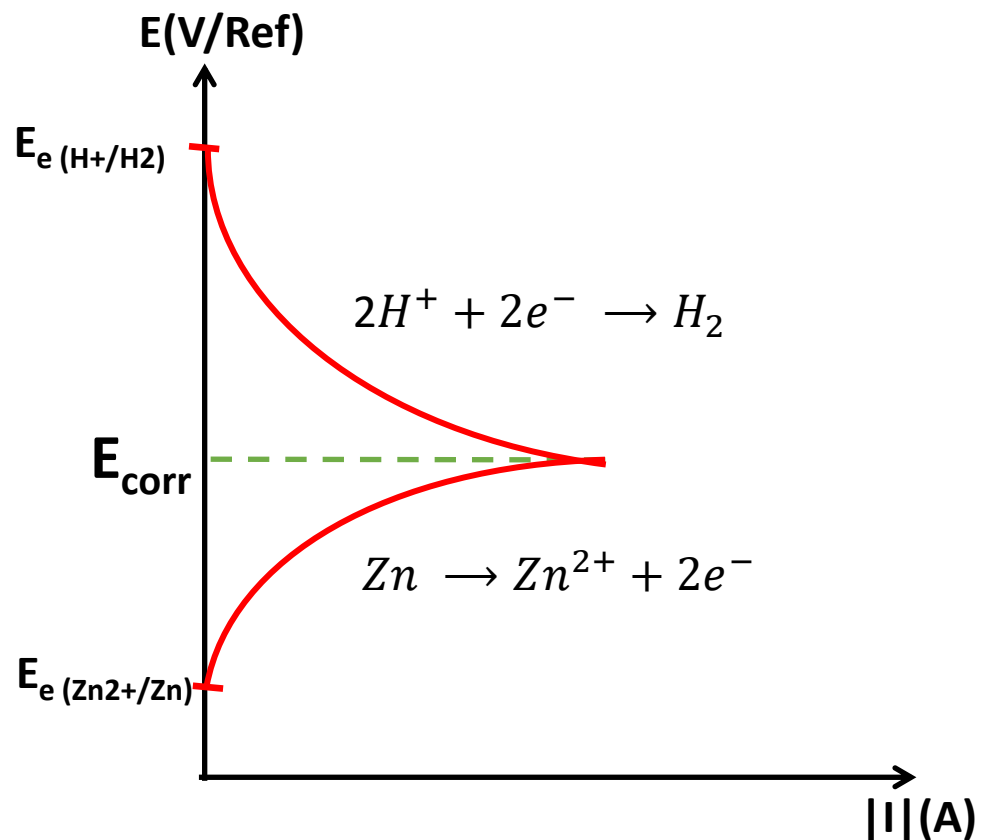
O valor do potencial assumido pelo metal depende da cinética das reações anódica e catódica.

## Corrente de Corrosão

- Corrente de curtocircuitamento, onde os processos anódicos e catódicos na superfície do metal ocorrem com a mesma intensidade:  $I_{corr} = I_{an} = |I_{cat}|$ . **Geralmente expressa como densidade de corrente ( $A/cm^2$ )**.
- Corresponde à velocidade de oxidação do metal.
- Pode ser determinada a partir do levantamento de curvas de polarização, por medida de perda de massa e por determinação da quantidade de íons em solução.

# Potencial de Corrosão e Polarização das Reações Anódica (INFLUÊNCIA DA CINÉTICA DA REAÇÃO)

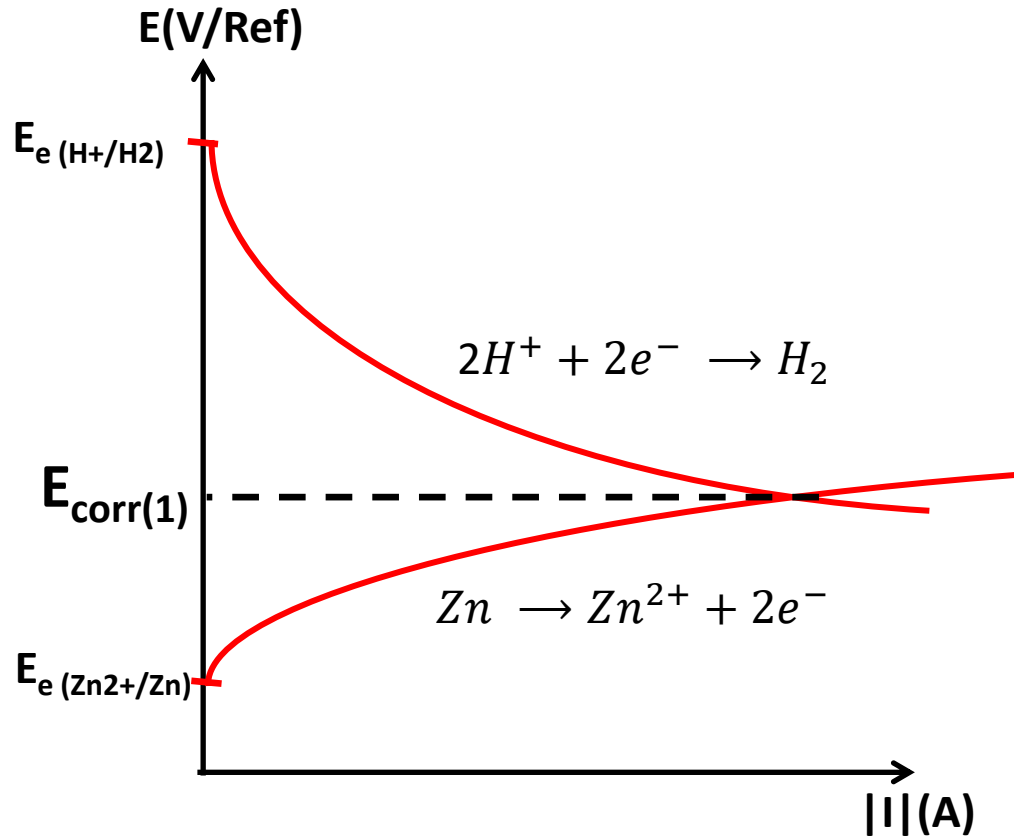
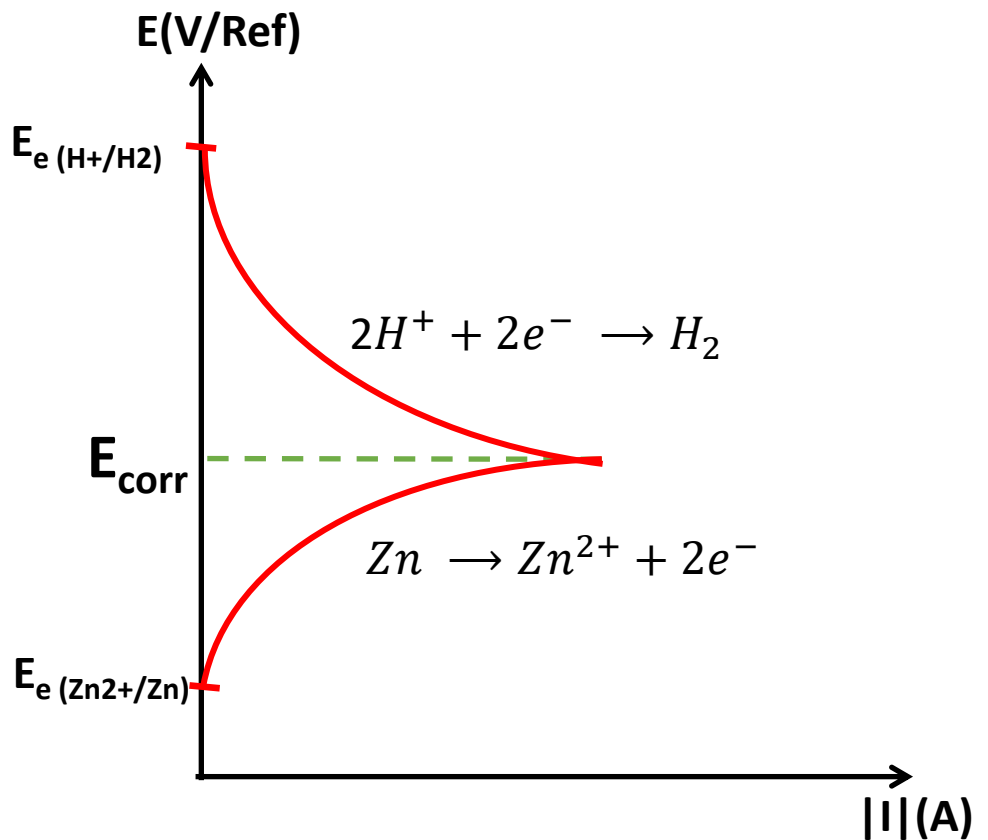
Reação anódica polarizada - (cinética lenta)



$$\begin{aligned}E_{corr(1)} &> E_{corr} \\i_{corr(1)} &< i_{corr}\end{aligned}$$

# Potencial de Corrosão e Polarização das Reações Anódica (INFLUÊNCIA DA CINÉTICA DA REAÇÃO)

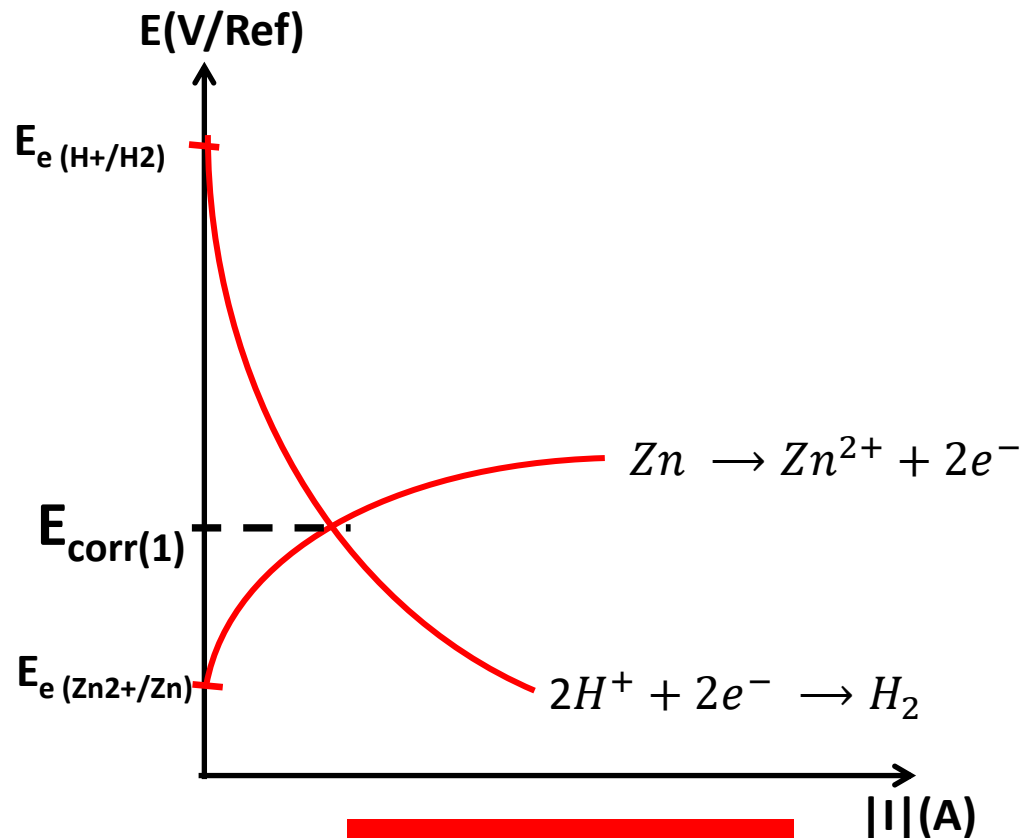
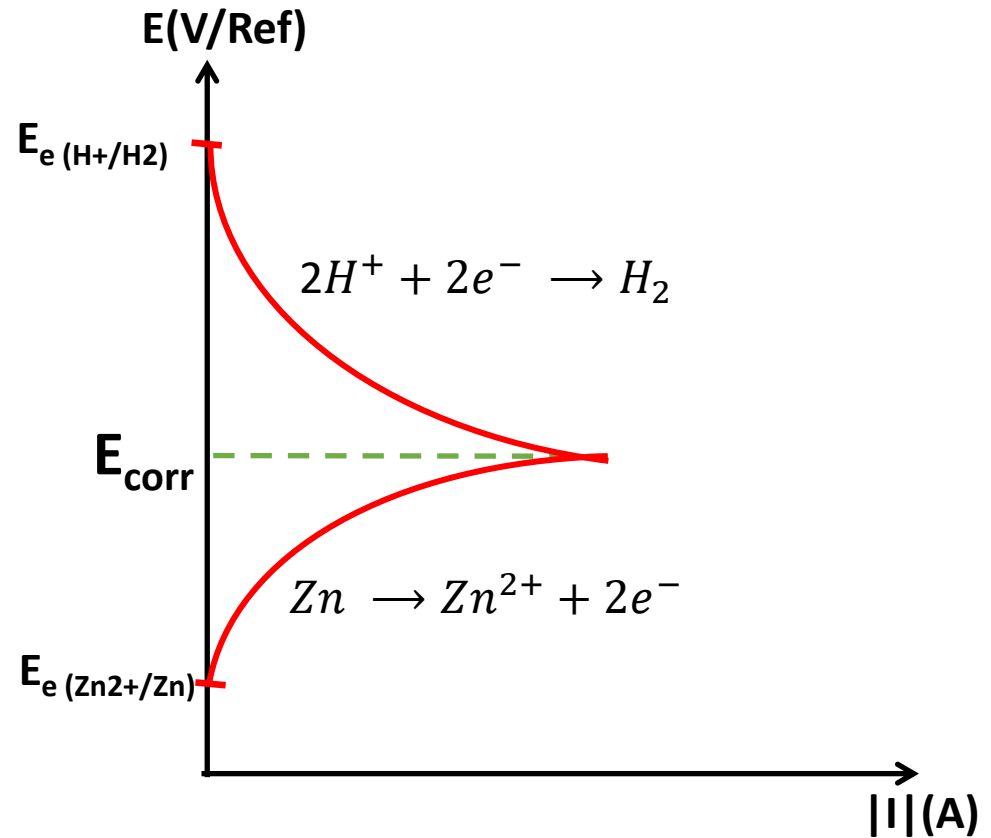
Reação anódica despolarizada - (cinética rápida)



$$E_{\text{corr}(1)} < E_{\text{corr}}$$
$$i_{\text{corr}(1)} > i_{\text{corr}}$$

# Potencial de Corrosão e Polarização das Reações Catódica (INFLUÊNCIA DA CINÉTICA DA REAÇÃO)

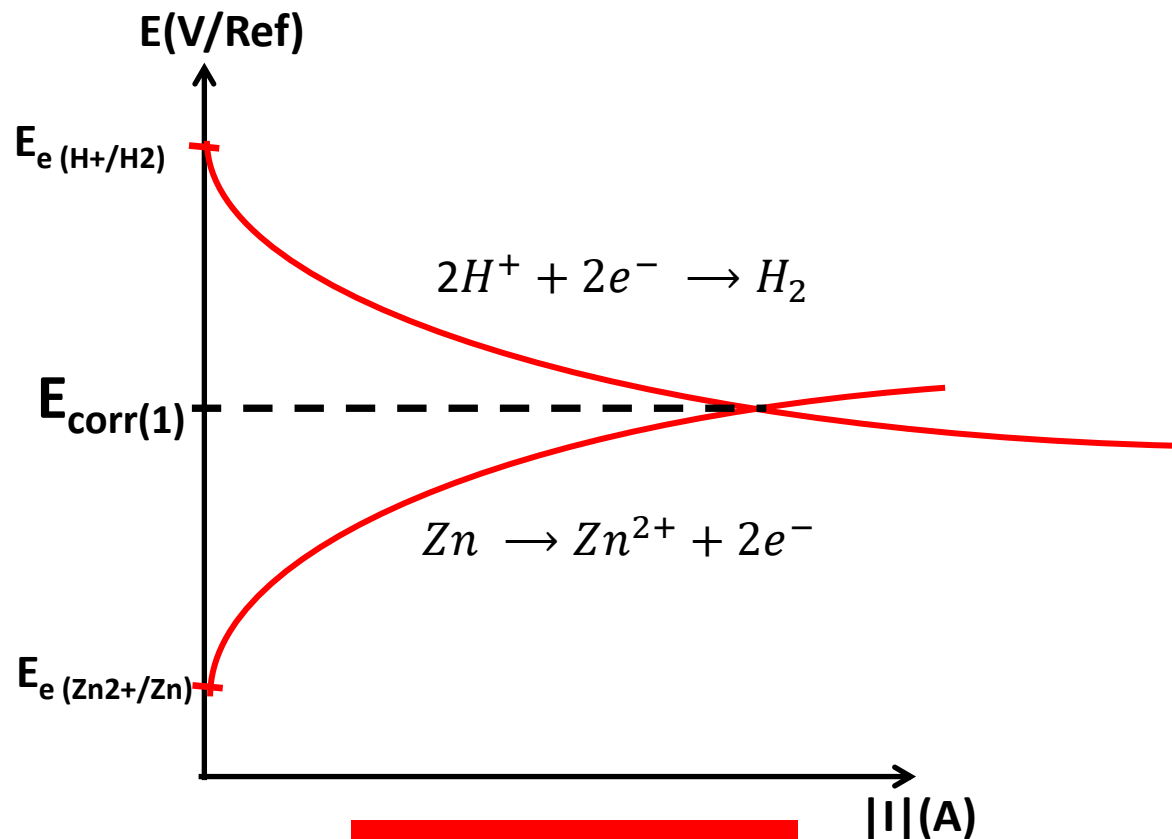
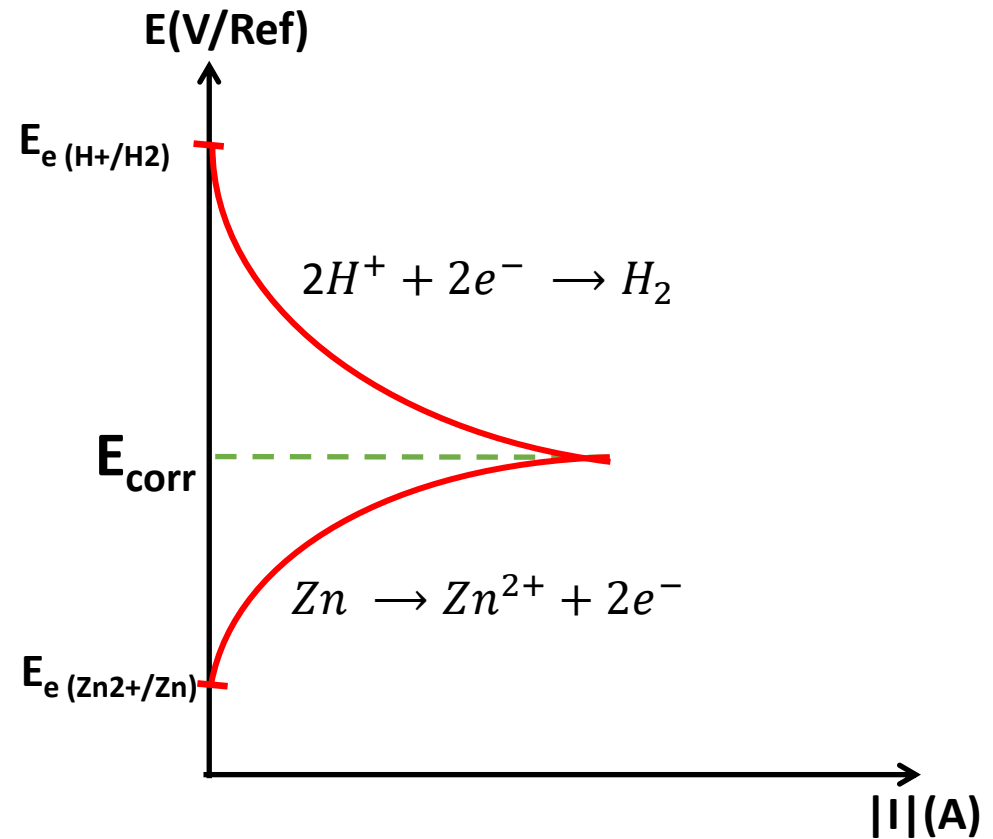
Reação catódica polarizada - (cinética lenta)



$E_{\text{corr}(1)} < E_{\text{corr}}$   
 $i_{\text{corr}(1)} < i_{\text{corr}}$

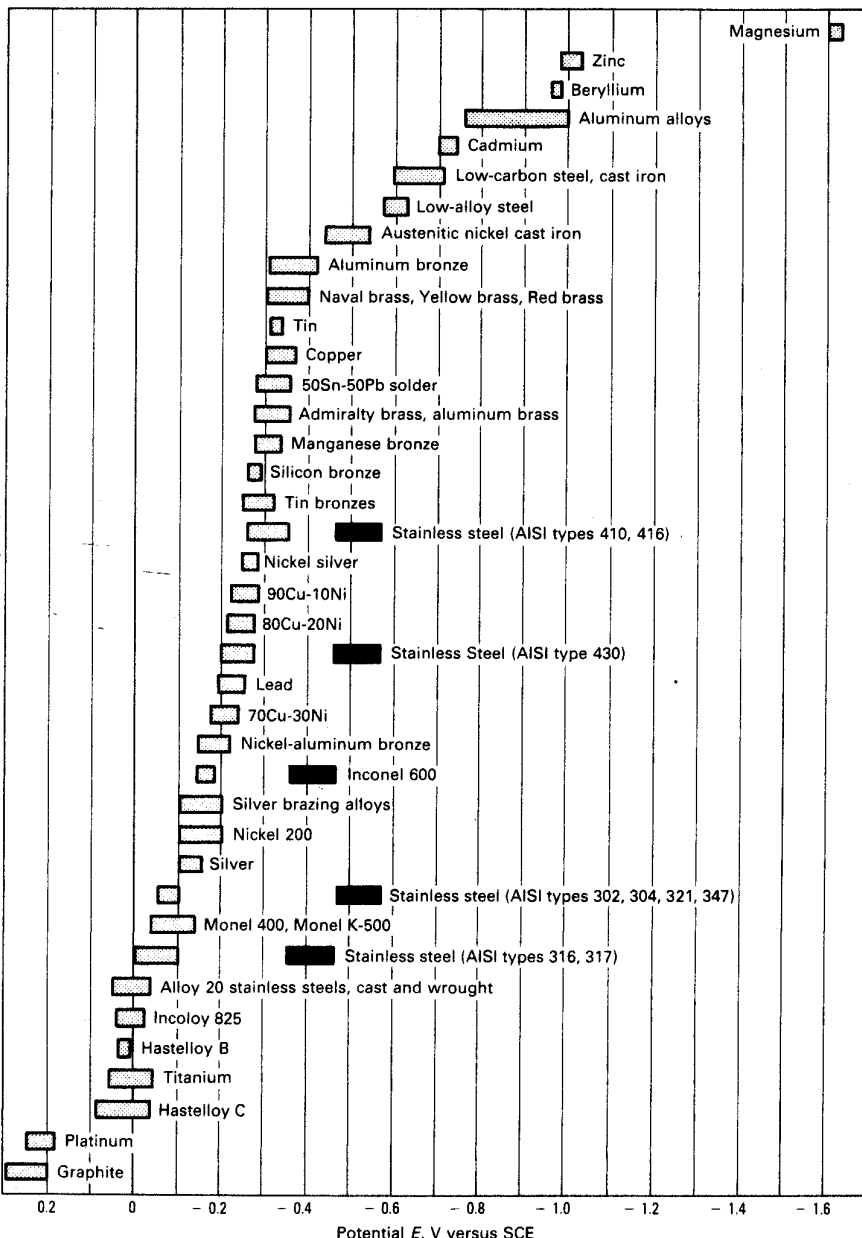
# Potencial de Corrosão e Polarização das Reações Catódica (INFLUÊNCIA DA CINÉTICA DA REAÇÃO)

Reação catódica despolarizada - (cinética rápida)



$E_{corr(1)} > E_{corr}$   
 $i_{corr(1)} > i_{corr}$

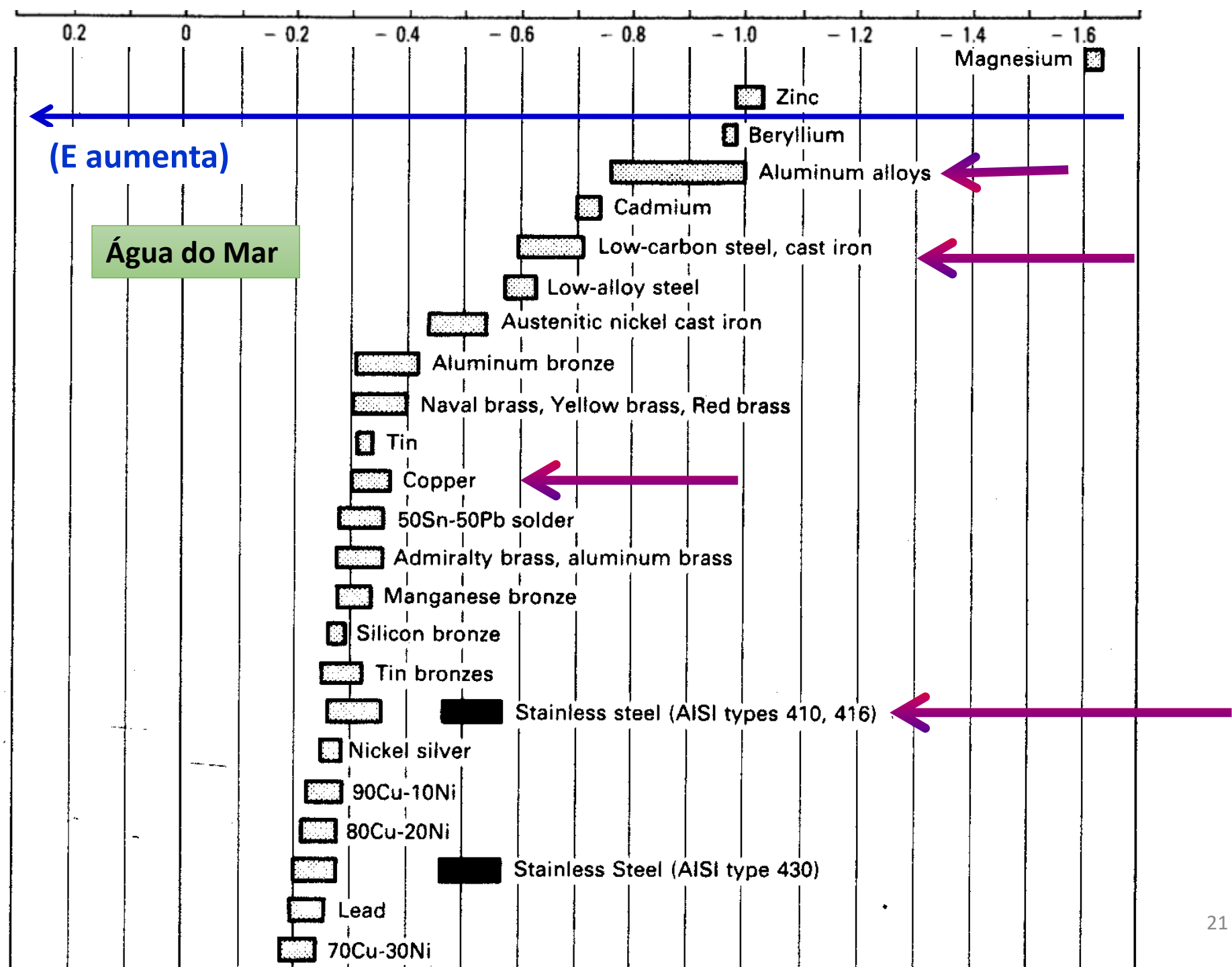
# Potencial de Corrosão

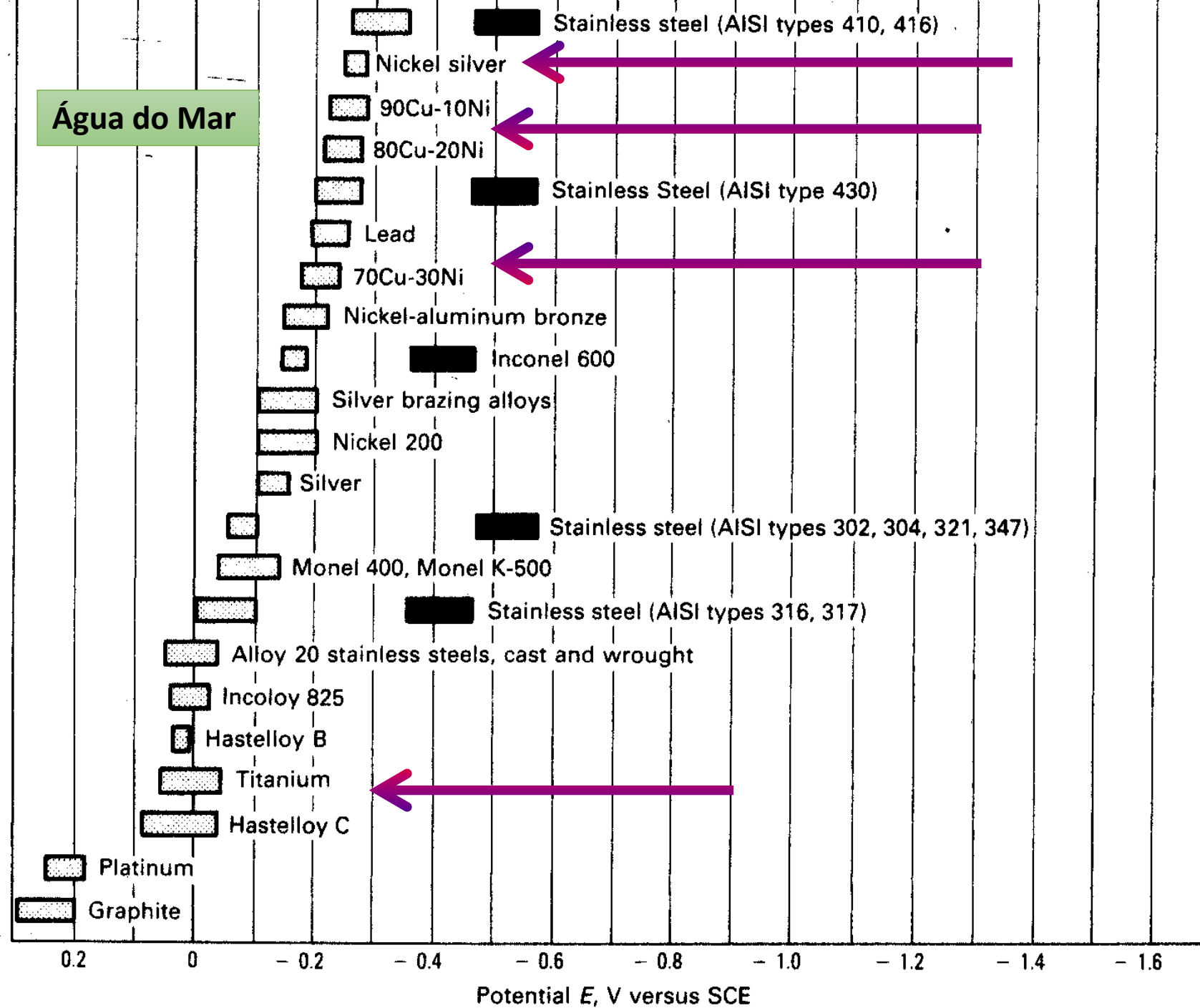


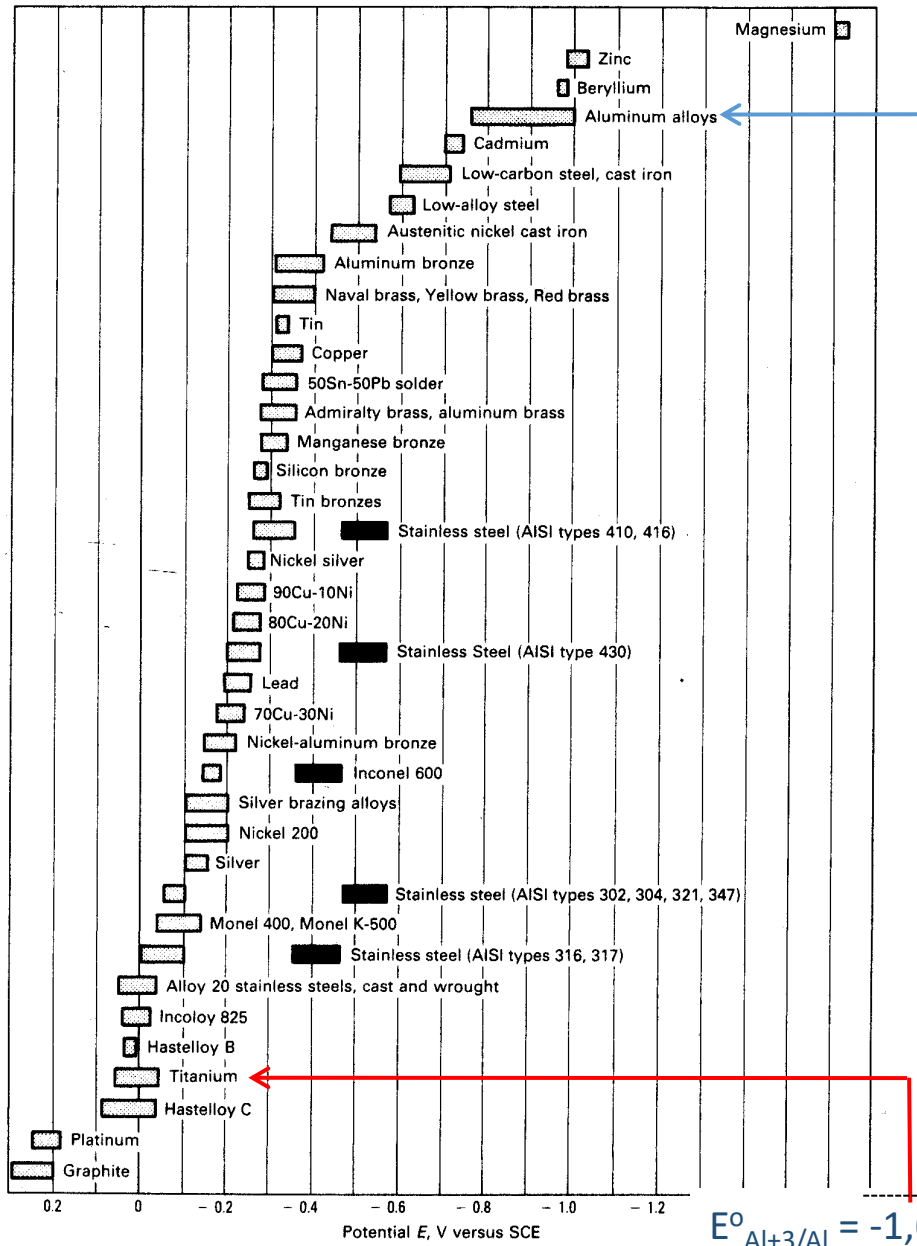
Série Galvânica (**nobreza prática**)  
de metais e ligas em água do mar.

Potenciais para a água do mar em **movimento**; aqueles indicados com um retângulo **cheio** foram obtidos em **baixa velocidade** ou com **pouca aeração**: os valores deslocaram-se para posições mais ativas, próximas de  $-500 \text{ mV}_{\text{ECS}}$ .

Referência 7 do Metals Handbook - Ninth Edition - Volume 13 (1987): Corrosion – ASM International Metals Park, Ohio, p.420.



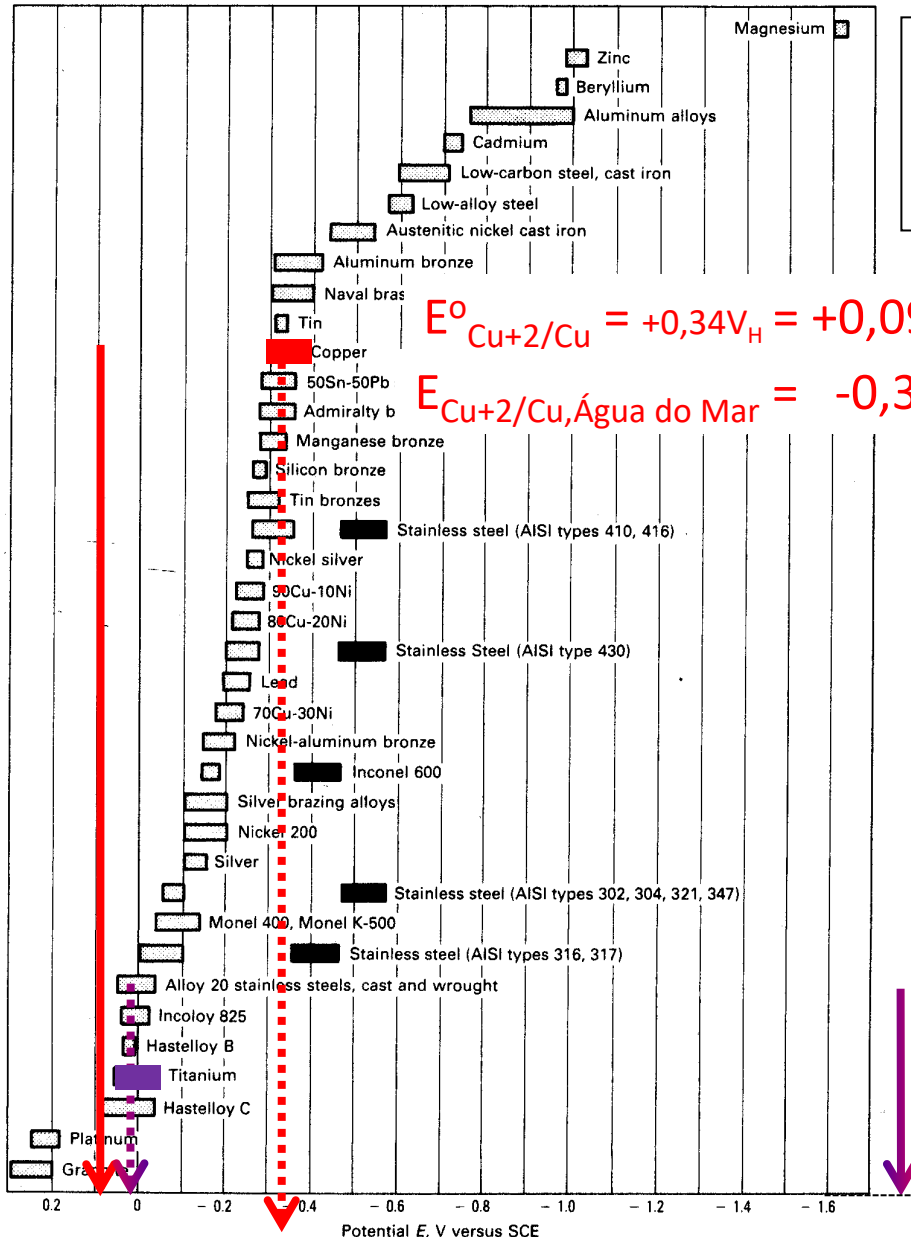




Comparação entre Série Eletroquímica e Série Galvânica de metais e ligas em água do mar.

Referência 7 do Metals Handbook - Ninth Edition - Volume 13 (1987): Corrosion – ASM International Metals Park, Ohio, p.420.

Série  
Eletroquímica



*Comparação entre Série Eletroquímica e Série Galvânica de metais e ligas em água do mar.*

$$E^{\circ}_{\text{Cu}^{+2}/\text{Cu}} = +0,34\text{V}_H = +0,09\text{V}_{\text{ECS}}$$

$$E_{\text{Cu}^{+2}/\text{Cu}, \text{Água do Mar}} = -0,35\text{V}_{\text{ECS}}$$

Observar a inversão:

na condição padrão, o Cu é mais nobre do que o Ti;

em água do mar, o Ti<sub>passivado</sub> é mais nobre do que o Cu.

$$E^{\circ}_{\text{Ti}^{+2}/\text{Ti}} = -1,63\text{V}_H = -1,88\text{V}_{\text{ECS}}$$

$$E_{\text{Ti}^{+2}/\text{Ti}, \text{Água do Mar}} = +0,05\text{V}_{\text{ECS}}$$

# Exercícios Complementares

## Exercícios:

O estudo dos processos de corrosão e proteção contra corrosão de metais se inicia com a *Termodinâmica Eletroquímica* e *Cinética Eletroquímica*. Esses tópicos foram abordados nas aulas anteriores e serão agora aplicados para o entendimento dos processos de corrosão e proteção de metais. Propõe-se as seguintes questões com o objetivo de recordar, de forma direcionada, os principais conceitos da *Termodinâmica e Cinética Eletroquímica*.

1. Discuta: o que é potencial de eletrodo?
2. Quais as condições para o potencial de eletrodo padrão?
3. Qual é a expressão utilizada para o cálculo do potencial de eletrodo de equilíbrio?
4. Em corrosão, as principais reações catódicas são as de hidrogênio e oxigênio. Liste essas reações de eletrodo. Escreva a Equação de Nernst em cada caso.

# Verificação da possibilidade de ocorrência da Corrosão

- Sob o ponto de vista termodinâmico – reação espontânea ( $\Delta G < 0$ );
- Pode ocorrer a corrosão se no meio em que o metal está imerso tiver uma espécie com potencial de redução superior ao do metal (espécie oxidante) - fem da pilha  $> 0$



Corrosão ~~X~~



$$E_e = +0,34 + \frac{8,314 \times 298}{2 \times 96500} \ln \frac{10^{-6}}{1} = 0,163 V$$

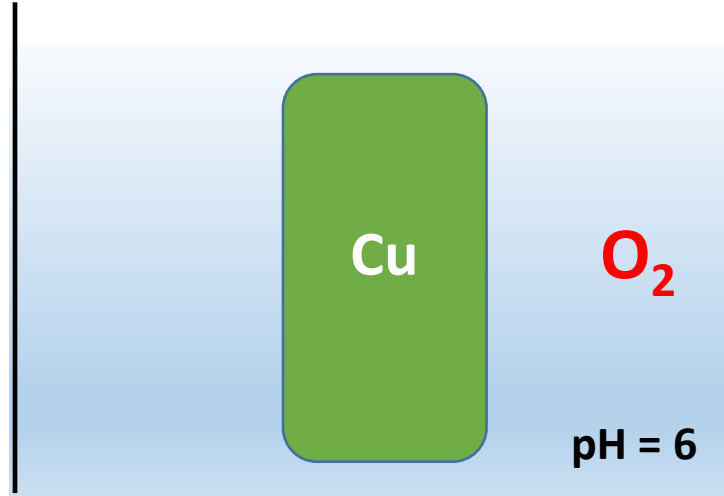
$$E_{e(H^+/H_2)} = -0,059 \text{ pH} = -0,354 V$$

$$fem = -0,354 - 0,163 = -0,517 < 0$$

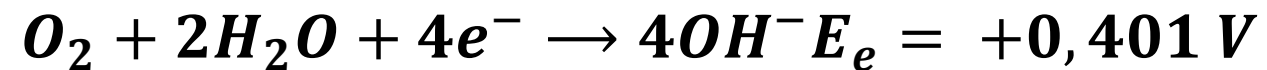
# Verificação da possibilidade de ocorrência da Corrosão



$$E_e = +0,34 + \frac{8,314 \times 298}{2 \times 96500} \ln \frac{10^{-6}}{1} = 0,163 V$$



**PODE corroer**



$$E_e = +0,401 + \frac{8,314 \times 298}{4 \times 96500} \ln \frac{0,2}{[10^{-8}]^4} = 0,864 V$$

$$fem = +0,864 - 0,163 = +0,701 V > 0$$

Para que a corrosão possa ocorrer é necessário que exista no meio uma espécie com potencial de equilíbrio superior ao potencial de equilíbrio do metal

# Determinação da Velocidade de Corrosão

# Vcorr por Ensaios de perda de massa

Tubulação de Aço (Fe),  $\Delta m = 600 \text{ g}$ ,  $\Delta t = 1 \text{ mês (2592000 s)}$ ,  $\rho_{\text{Fe}} = 7,87 \text{ g/cm}^3$ ,  
Área exposta =  $1 \text{ m}^2$  ( $10^4 \text{ cm}^2$ )

$$v_{corr} \left( \frac{g}{\text{cm}^2 \text{s}} \right) = \frac{\Delta m}{A \cdot \Delta t} = \frac{600}{10^4 \times 2,592 \times 10^6} = 2,315 \times 10^{-8} \quad e = \frac{v_{corr}}{\rho} \quad \text{unidades coerentes}$$

## Determinação de $i_{corr}$ (Lei de Faraday)

$$1F \dots \dots \dots 1Eq - g \left( \frac{\text{Mmol}}{\text{nox}} \right)$$

$$Q = Ix\Delta t \dots \dots \dots \Delta m \rightarrow \frac{I \times \Delta t}{A \times \Delta t} = i_{corr} \dots \dots \dots \frac{\Delta m}{A\Delta t} = v_{corr}$$

$$i_{corr} \left( \frac{\text{A}}{\text{cm}^2} \right) = v_{corr} \frac{F}{Eq - g}$$

$$i_{corr} \left( \frac{\text{A}}{\text{cm}^2} \right) = v_{corr} \frac{F}{Eq - g} = 2,315 \times 10^{-8} \left( \frac{\text{g}}{\text{cm}^2 \text{s}} \right) \frac{96500 \text{ (A.s/mol)}}{56/2 \text{ (g/mol)}} = 7,98 \times 10^{-5} \text{ A/cm}^2$$

# Determinação Analítica de $i_{corr}$

- A densidade de corrente de corrosão não pode ser medida diretamente! Por quê?

Podemos determinar a corrente de corrosão graficamente ou por equações que representem a cinética do eletrodo

## Eq. de Butler-Volmer



$$i = i_o \left\{ e^{\left( \frac{(1-\beta)zFn}{RT} \right)} - e^{-\left( \frac{\beta zFn}{RT} \right)} \right\}$$

$\eta_{an.} > 30 \text{ mV}$

$$i_{an.} = i_o \left\{ e^{\left( \frac{(1-\beta)zFn\eta_{an.}}{RT} \right)} \right\}$$

$\eta_{cat.} < -30 \text{ mV}$

$$i_{cat.} = i_o \left\{ -e^{-\left( \frac{\beta zFn\eta_{cat.}}{RT} \right)} \right\}$$

# Eq. de Tafel

$\eta_{cat} < -30 \text{ mV}$

$$i_{cat.} = i_o \left\{ -e^{-\left(\frac{\beta zF\eta_{cat.}}{RT}\right)} \right\}$$

$$\eta_{cat} = b_c \log \frac{|i|}{i_o}$$

$$b_c = -2,303 \frac{RT}{\beta zF} < 0$$

$\eta_{an} > 30 \text{ mV}$

$$i_{an.} = i_o \left\{ e^{\left(\frac{(1-\beta)zF\eta_{an.}}{RT}\right)} \right\}$$

$$\eta_{an} = b_a \log \frac{i}{i_o}$$

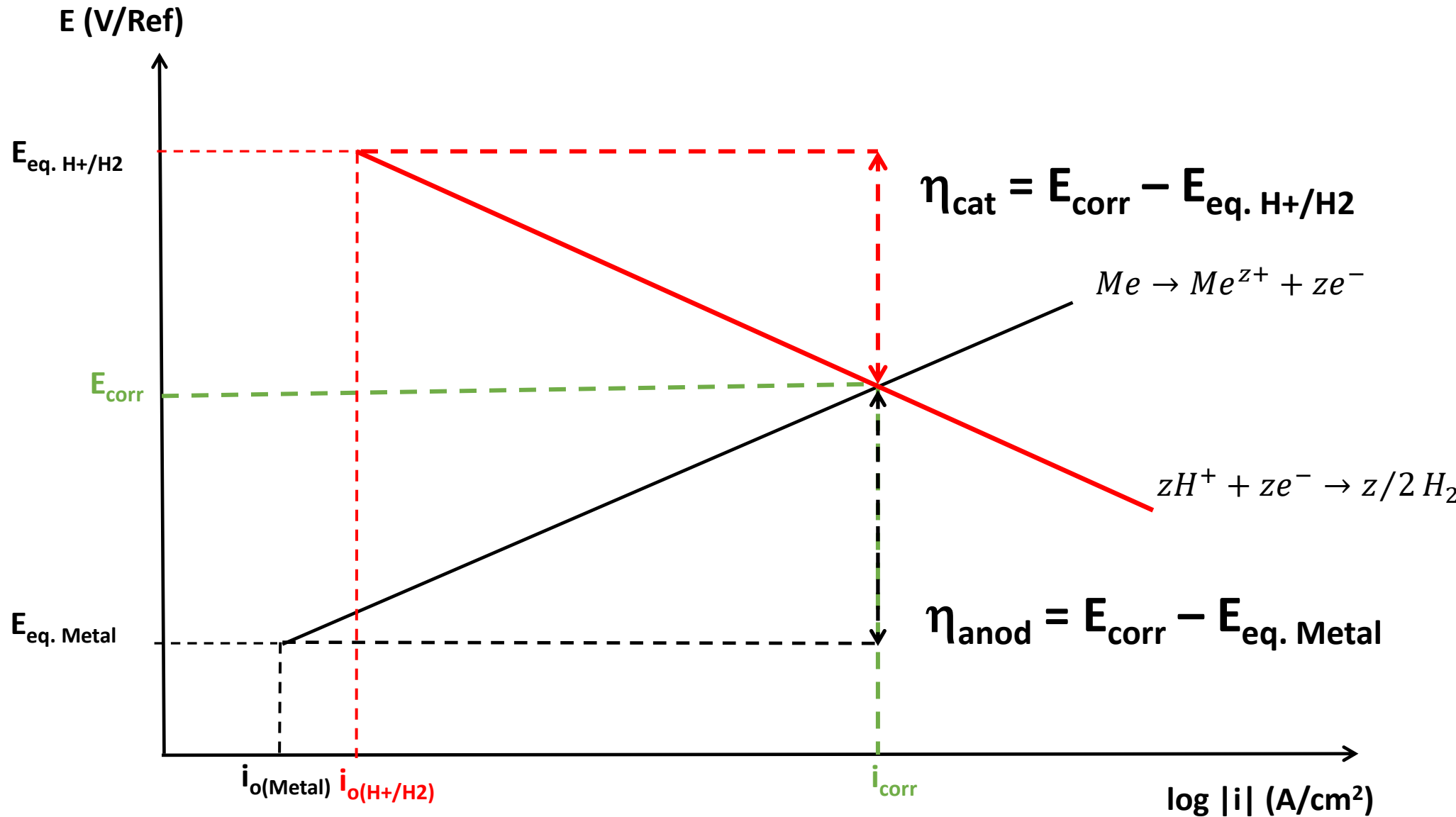
$$b_a = 2,303 \frac{RT}{(1-\beta)zF} > 0$$

Como na corrosão a natureza das reações catódica e anódica são diferentes

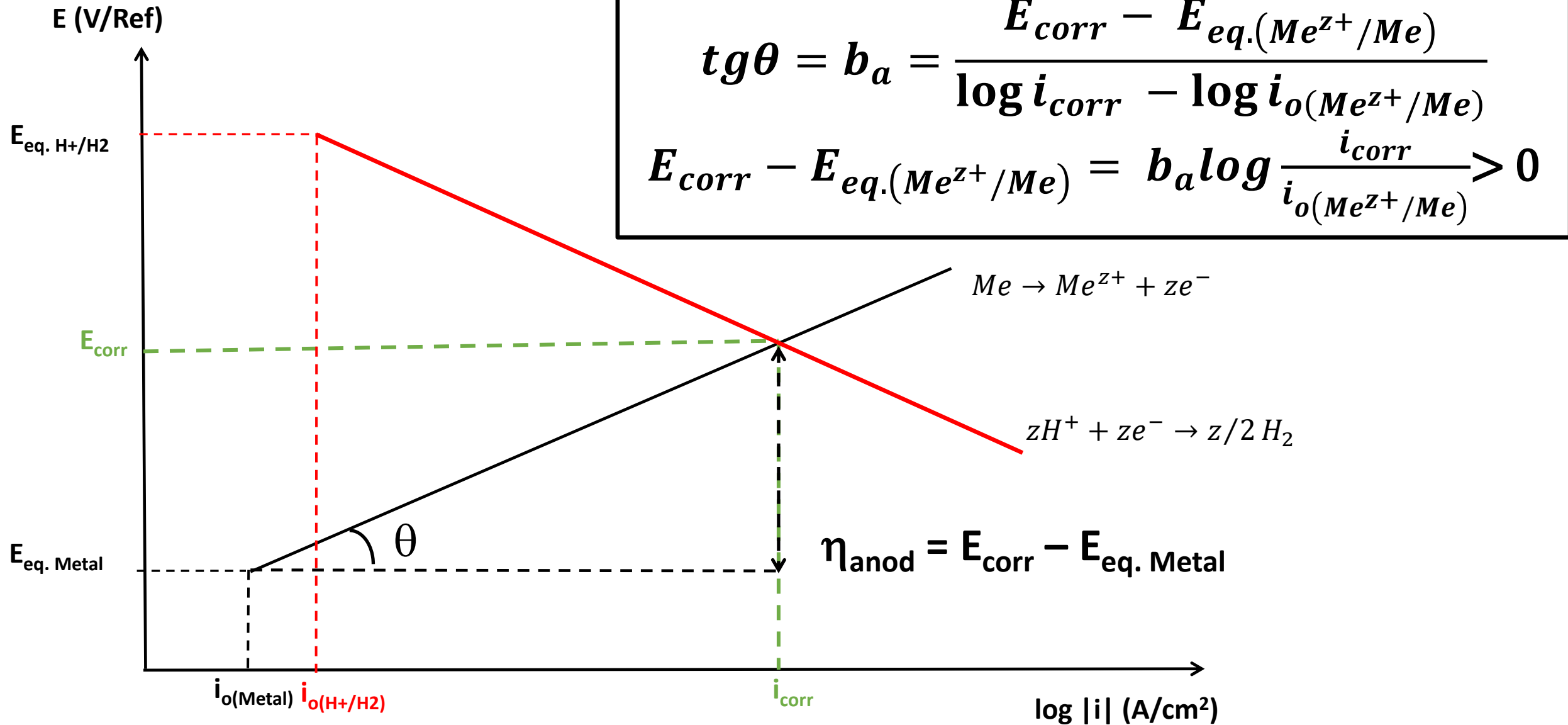
A equação para a sobretensão catódica ( $\eta_{cat}$ ) representa a cinética da reação de redução (espécie oxidante que se encontra meio).

A equação para a sobretensão anódica ( $\eta_{an}$ ) representa a cinética da reação de oxidação (corrosão do metal).

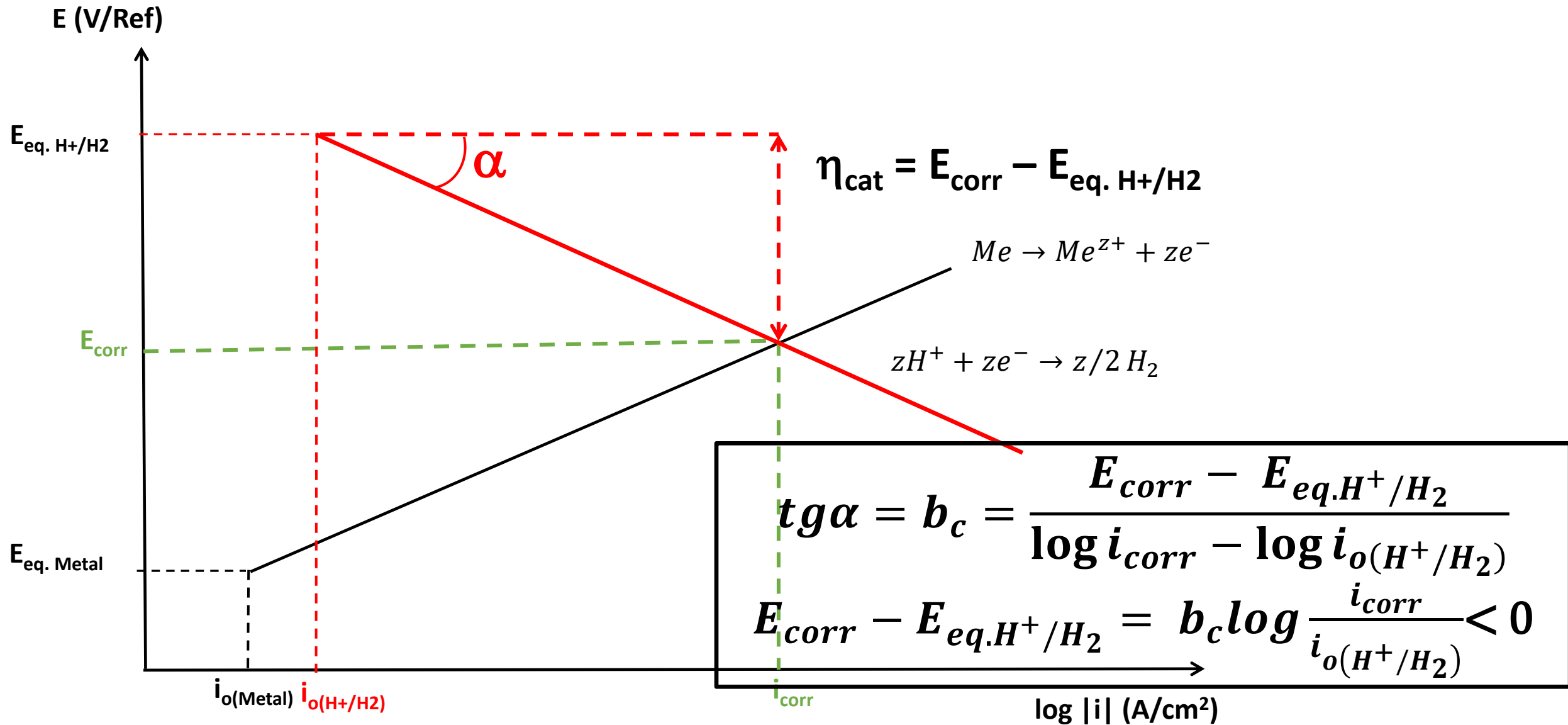
# Representação gráfica da Eq. de Tafel



# Representação gráfica da Eq. de Tafel



# Representação gráfica da Eq. de Tafel



# Temos um sistema de duas equações e duas incógnitas

$$E_{corr} - E_{eq.(Me^{z+}/Me)} = b_a \log \frac{i_{corr}}{i_o(Me^{z+}/Me)}$$

$$E_{corr} - E_{eq.H^+/H_2} = b_c \log \frac{i_{corr}}{i_o(H^+/H_2)}$$

Tome NOTA

$$E_{eq.}(Me^{z+}/Me) < E_{corr} < E_{eq. \text{ Oxidante}}$$

$$i_{corr} > i_o(Me^{z+}/Me)$$

$$i_{corr} > i_o(\text{Oxidante})$$

$$E_{corr} - E_{eq.}(Me^{z+}/Me) = \eta_{anod} > 0 \quad b_a > 0$$

$$E_{corr} - E_{eq. \text{ Oxidante}} = \eta_{cat} < 0 \quad b_c < 0$$

(Geralmente fornecido em módulo)

# Exercício

Uma tubulação de aço encontra-se em contato com uma solução ácida ( $\text{pH} = 3$ ) de  $\text{FeSO}_4$  0,05 M, desaerada (sem oxigênio). Determine a velocidade de corrosão e a corrente de corrosão para a tubulação no meio em questão. Considere a temperatura como sendo igual a 25º C. Sabendo que a tubulação está sofrendo corrosão generalizada transforme a corrente de corrosão em perda de espessura (cm/ano).

Dados: 1 Faraday = 96500 C = 96500 A.s



$$i_o(\text{Fe}^{2+}/\text{Fe}) = 10^{-5} (\text{A/cm}^2)$$



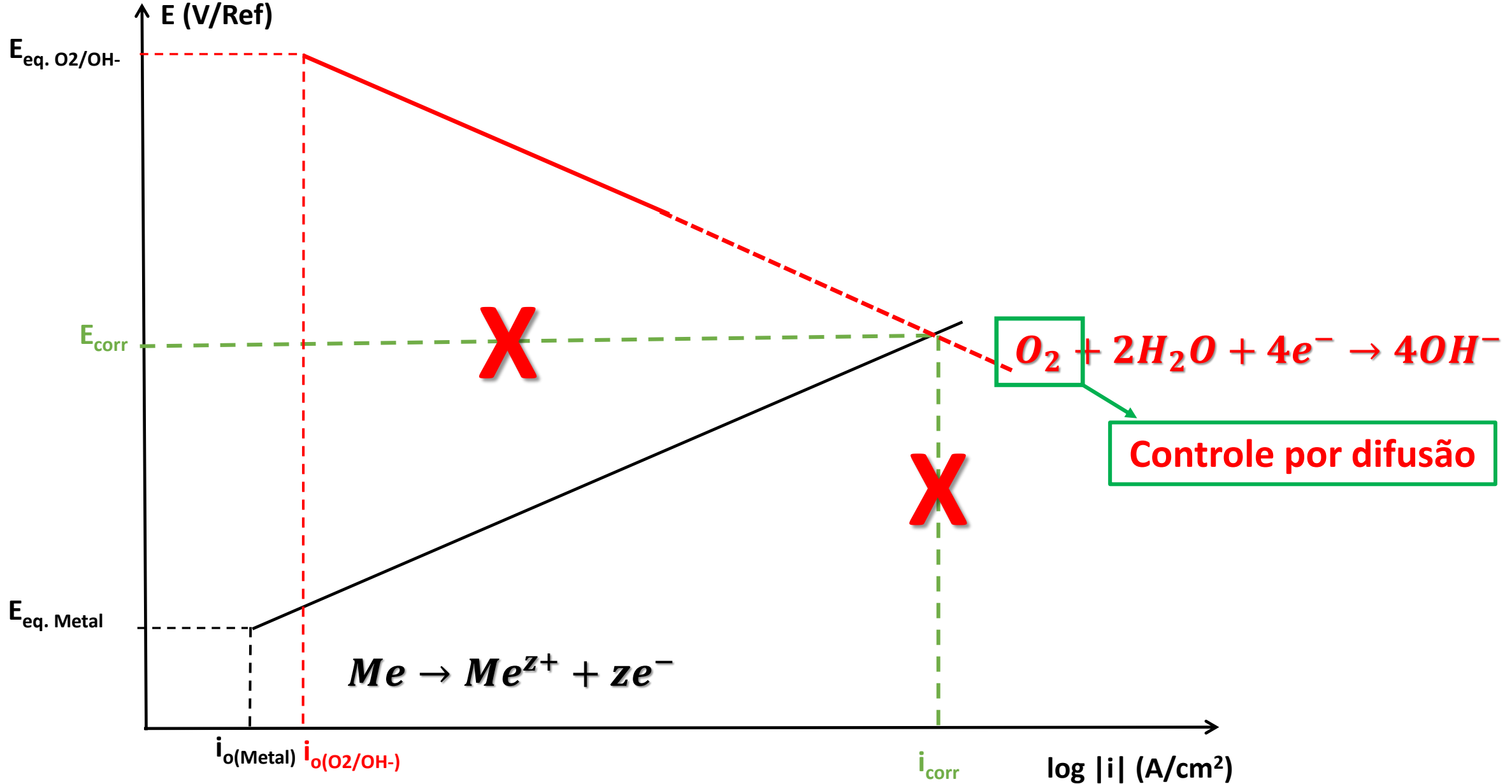
$$i_o(\text{H}^+/\text{H}_2) = 10^{-6} (\text{A/cm}^2)$$

$$b_a = 100 \text{ mV/década logarítmica} \quad b_c = 120 \text{ mV/década logarítmica}$$

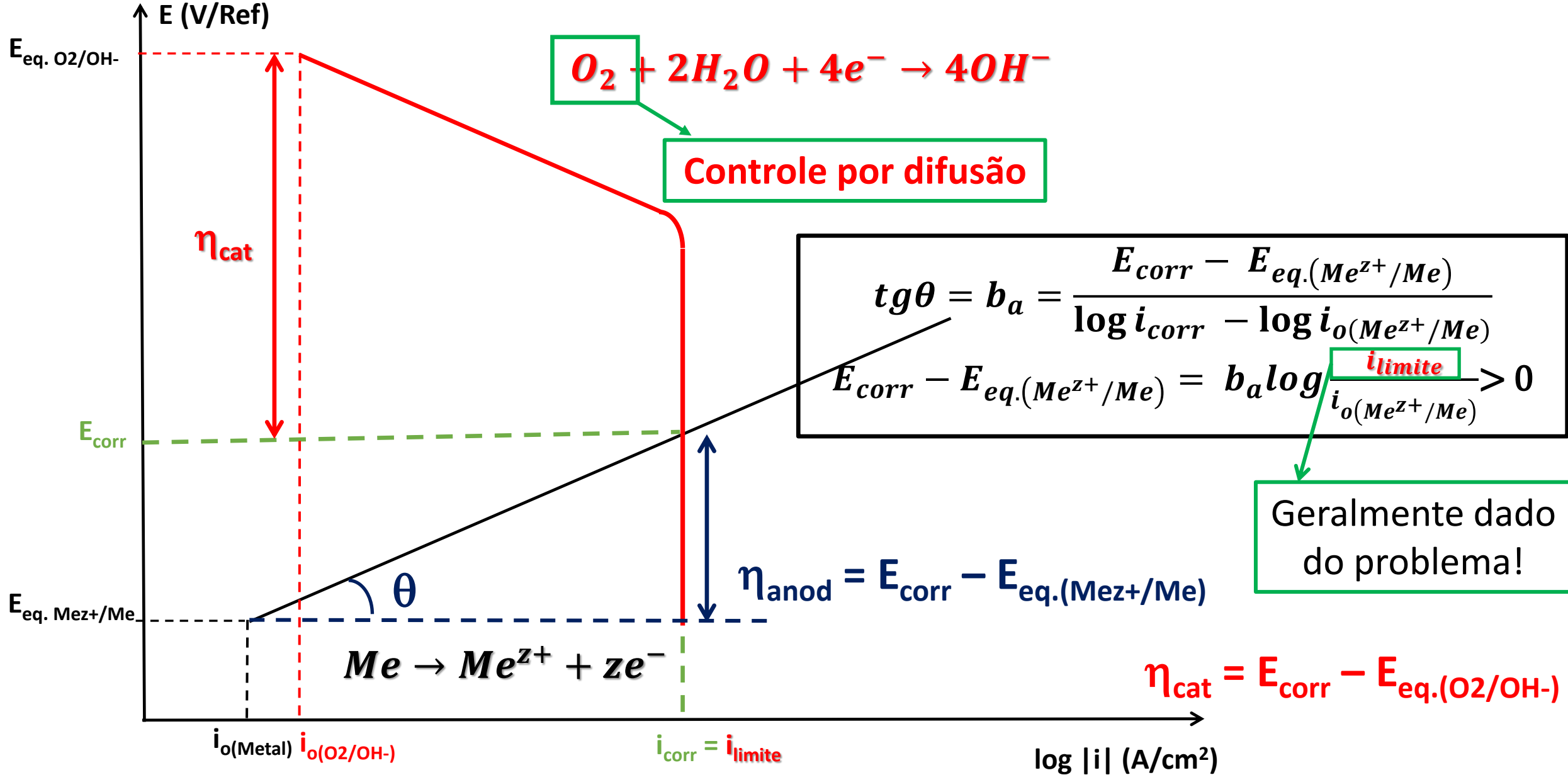
$$\text{pH} = -\log a_{\text{H}^+} \quad \text{massa molar do Fe} = 56 \text{ g} \quad \rho_{\text{Fe}} = 7,87 \text{ g/cm}^3$$

Respostas:  $i_{\text{corr}} = 6,76 \times 10^{-5} \text{ A/cm}^2$      $E_{\text{corr}} = -0,395 \text{ V}$      $e = 0,0786 \text{ cm/ano}$

## $E_{corr}$ e $i_{corr}$ – Limite por difusão



# $E_{corr}$ e $i_{corr}$ – Limite por difusão



# Eletrodo misto

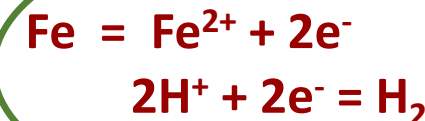
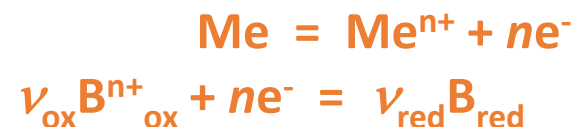
Metal + Eletrólito (com agente oxidante):

Duas ou mais reações podem ocorrer simultaneamente no mesmo potencial.

Tal situação é chamada de **ELETRODO MISTO**.



Reações parciais:  
as reações anódica e catódica são de naturezas distintas



**DEFINIÇÃO** – eletrodo que se encontra em contato com dois ou mais sistemas redox.

## Hipóteses

- ✓ Qualquer reação eletroquímica pode ser dividida em duas ou mais reações parciais de oxidação e de redução – **processo(s) anódico(s) e catódico(s) ocorre(m) em local(is) diferente(s);**
- ✓ Não pode haver acúmulo líquido de cargas elétricas durante uma reação eletroquímica – **lei da conservação das cargas;**

Considerando **as cinéticas** de todas as reações redox que ocorrem na superfície do eletrodo, o **único ponto onde a lei da conservação das cargas é satisfeita** é no **potencial de corrosão ou no POTENCIAL MISTO.**

**DETERMINAÇÃO GRÁFICA DE  $E_{corr}$**  – corresponde ao ponto onde o somatório de todas as reações catódicas e anódicas se encontra

# EQUAÇÃO DE BUTLER-VOLMER – Eletrodo em condição de corrosão

- No potencial de corrosão a corrente corresponde a  $i_{corr}$  – não existe corrente líquida na interface

$$\overleftarrow{i_{an}} - \overrightarrow{i_{cat}} = 0$$

$$\overleftarrow{i_{an}} = |\overrightarrow{i_{cat}}| = i_{corr}$$

## Reações Interfaciais



## Equação Geral da Cinética de Eletrodo

$$i = F \overleftarrow{k}_{C(Me)} C_{Me} e^{\left( \frac{(1-\beta)_{an} zF \Delta E_{pol}}{RT} \right)} - F \overrightarrow{k}_{C(Ox)} C_{Ox^{z+}} e^{-\left( \frac{\beta_{cat} zF \Delta E_{pol}}{RT} \right)}$$

O Eletrodo não se encontra em equilíbrio e sim no potencial de corrosão

$$\eta = \Delta E_{pol} - \Delta E_{corr}$$

$$\Delta E_{pol} = \eta + \Delta E_{corr}$$

# EQUAÇÃO DE BUTLER-VOLMER –Eletrodo em condição de corrosão

$$i = \left\{ \overleftarrow{Fk}_{C(Me)} C_{Me} e^{\left( \frac{(1-\beta)_{an} zF \Delta E_{corr}}{RT} \right)} \right\} e^{\left( \frac{(1-\beta)_{an} zF \eta}{RT} \right)} - \left\{ \overrightarrow{Fk}_{C(Ox)} C_{Ox^{z+}} e^{-\left( \frac{\beta_{cat} zF \Delta E_{corr}}{RT} \right)} \right\} e^{-\left( \frac{\beta_{cat} zF \eta}{RT} \right)}$$

No Potencial de Corroção

$$\overleftarrow{i_{an}} = |\overrightarrow{i_{cat}}| = i_{corr}$$

$$\overleftarrow{i_{an}} = \overleftarrow{Fk}_{C(Me)} C_{Me} e^{\left( \frac{(1-\beta)_{an} zF \Delta E_{corr}}{RT} \right)}$$

$$\overrightarrow{i_{cat}} = \overrightarrow{Fk}_{C(Ox)} C_{Ox^{z+}} e^{-\left( \frac{\beta_{cat} zF \Delta E_{corr}}{RT} \right)}$$

Para o eletrodo polarizado a partir do potencial de corrosão

$$i = i_{corr} \left\{ e^{\left( \frac{(1-\beta)_{an} zF \eta}{RT} \right)} - e^{-\left( \frac{\beta_{cat} zF \eta}{RT} \right)} \right\}$$

**EQUAÇÃO DE BUTLER-VOLMER PARA  
UM ELETRODO POLARIZADO A PARTIR  
DO POTENCIAL DE CORROSÃO**

**IMPORTANTE** – No **potencial de corrosão** as reações anódica e catódica são de naturezas diferentes. No **potencial de equilíbrio** as reações anódica e catódica são da mesma natureza.

# EQUAÇÃO DE BUTLER-VOLMER –Eletrodo em condição de corrosão

$$i = i_{corr} \left\{ e^{\left( \frac{(1-\beta)_{an} z F \eta}{RT} \right)} - e^{-\left( \frac{\beta_{cat} z F \eta}{RT} \right)} \right\}$$

- Polarização anódica com  $\eta_{an.} > 30 \text{ mV}$ :

$$i_{an} = i_{corr} \left\{ e^{\left( \frac{(1-\beta)_{an} z F \eta_{an.}}{RT} \right)} \right\}$$

$$\frac{i_{an.}}{i_{corr}} = e^{\left( \frac{(1-\beta)_{an} z F \eta_{an.}}{RT} \right)}$$

$$\ln \frac{i_{an.}}{i_{corr}} = \frac{(1-\beta)_{an} z F \eta_{an.}}{RT}$$

$$\eta_{an.} = 2,303 \frac{RT}{(1-\beta)_{an} z F} \log \frac{i_{an.}}{i_{corr}}$$

- Polarização catódica com  $\eta_{cat.} < -30 \text{ mV}$ :

$$i_{cat.} = i_{corr} \left\{ -e^{-\left( \frac{\beta_{cat} z F \eta_{cat.}}{RT} \right)} \right\}$$

$$\frac{i_{cat.}}{i_{corr}} = -e^{-\left( \frac{\beta_{cat} z F \eta_{cat.}}{RT} \right)}$$

$$\ln \frac{|i_{cat.}|}{i_{corr}} = - \frac{\beta_{cat} z F \eta_{cat.}}{RT}$$

$$\eta_{cat.} = -2,303 \frac{RT}{\beta_{cat} z F} \log \frac{|i_{cat.}|}{i_{corr}}$$

# EQUAÇÃO DE TAFEL –Eletrodo em condição de corrosão

- ✓ Para **sobretensões elevadas** – a equação de Tafel define uma **dependência linear** entre o potencial e o logaritmo da corrente.

$$\eta_{an.} = 2,303 \frac{RT}{(1 - \beta)_{an} zF} \log \frac{i_{an.}}{i_{corr}}$$

$$\eta_{an.} = b_{an} \log \frac{i_{an.}}{i_{corr}}$$

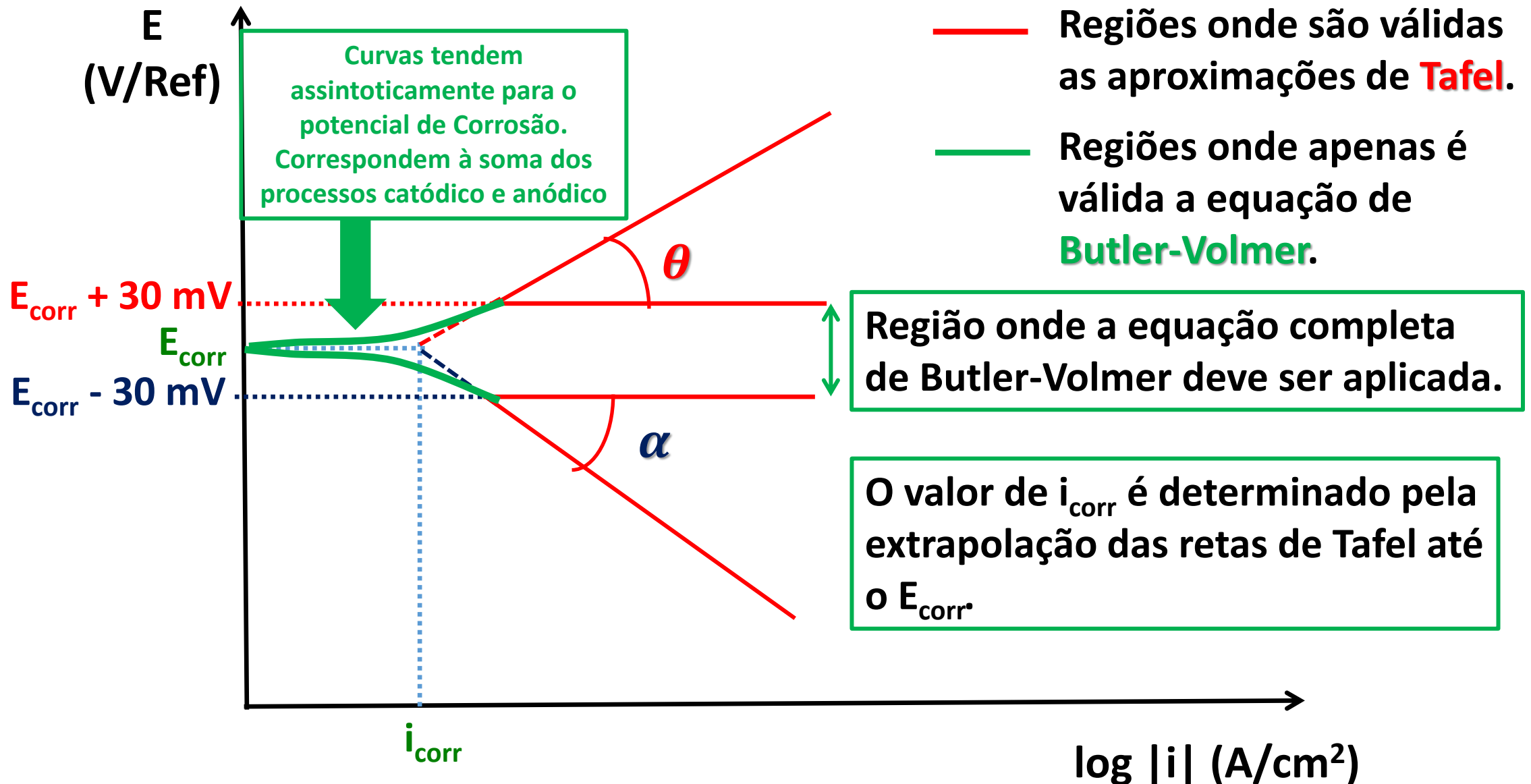
$$\eta_{cat.} = -2,303 \frac{RT}{\beta_{cat} zF} \log \frac{|i_{cat.}|}{i_{corr}}$$

$$\eta_{cat.} = b_{cat} \log \frac{|i_{cat.}|}{i_{corr}}$$

✓  $b_{an.}$  → Coeficiente de Tafel anódico ( $> 0$ );

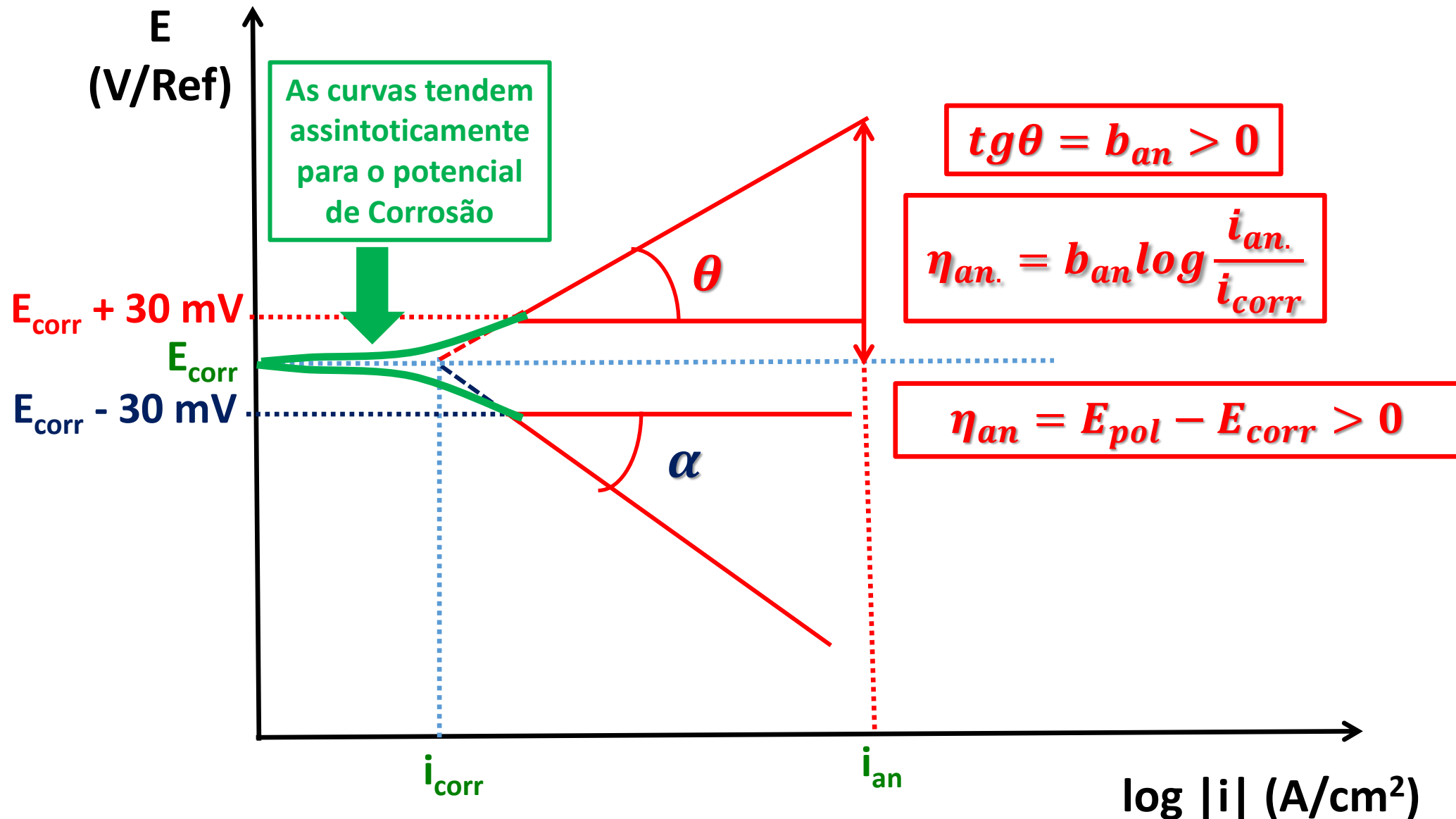
✓  $b_{cat.}$  → Coeficiente de Tafel catódico ( $< 0$ );

# CURVAS DE POLARIZAÇÃO – DETERMINAÇÃO GRÁFICA DE $E_{corr}$ E DE $i_{corr}$

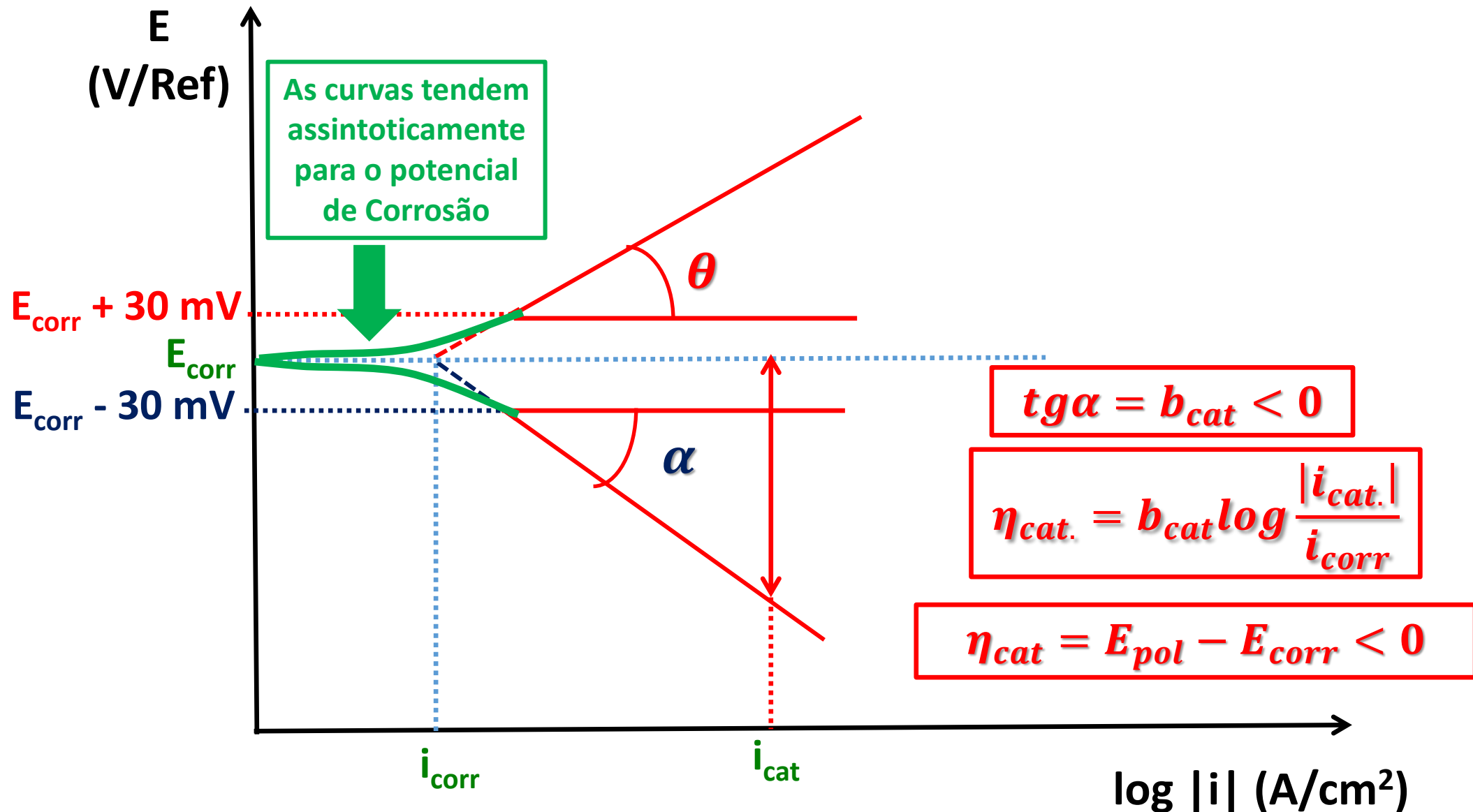


# CURVAS DE POLARIZAÇÃO – DETERMINAÇÃO GRÁFICA DE $E_{corr}$ E DE $i_{corr}$

## EQUAÇÃO DE TAFEL



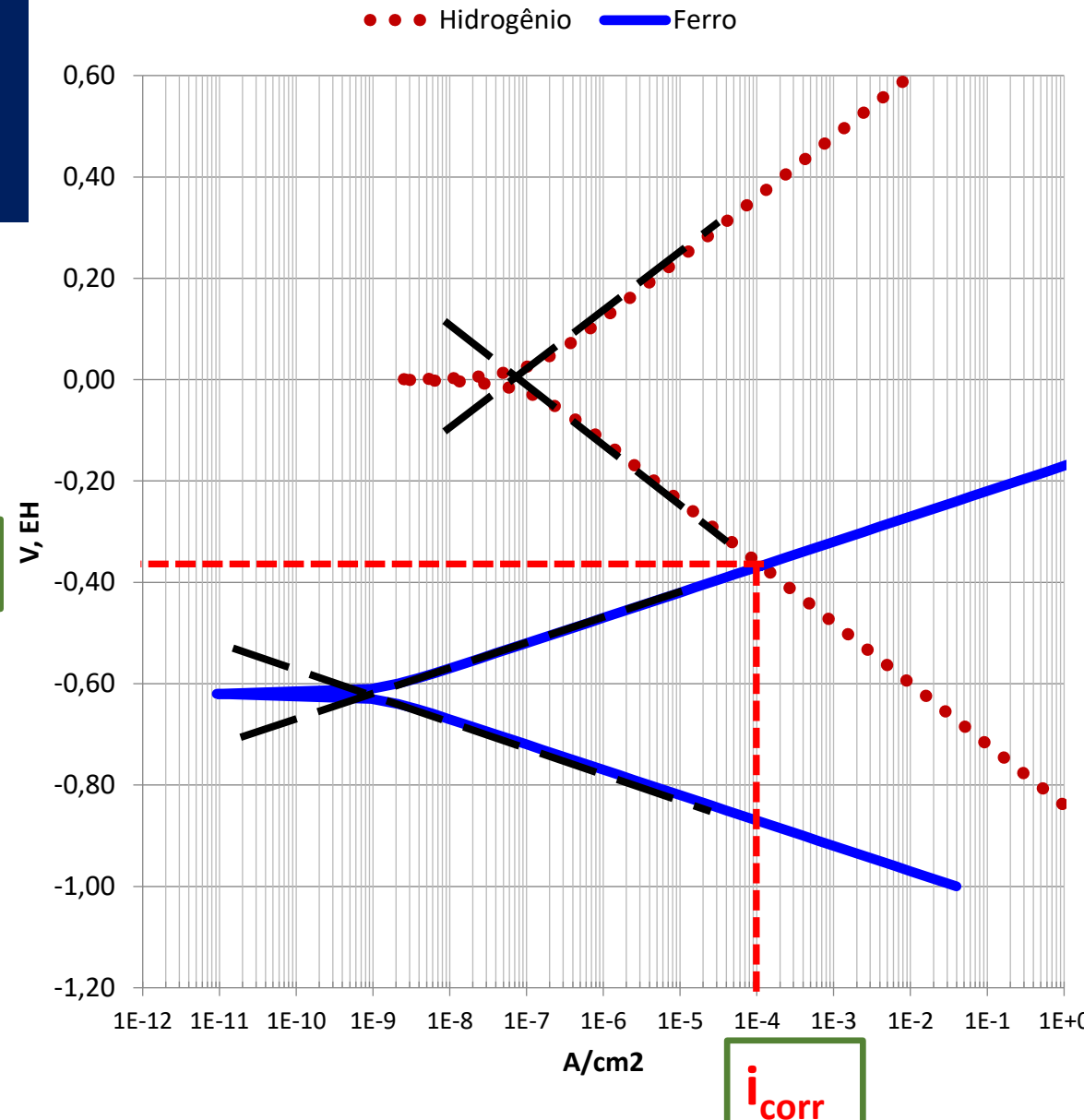
# CURVAS DE POLARIZAÇÃO – DETERMINAÇÃO GRÁFICA DE $E_{corr}$ E DE $i_{corr}$



# Determinação de $E_{corr}$ e de $i_{corr}$ por extração das retas de Tafel

$E_{corr}$

Necessita conhecer os valores teóricos ( $E_{eq}$ ,  $i_0$  e coeficientes de Tafel) das reações individuais – nem sempre disponíveis!

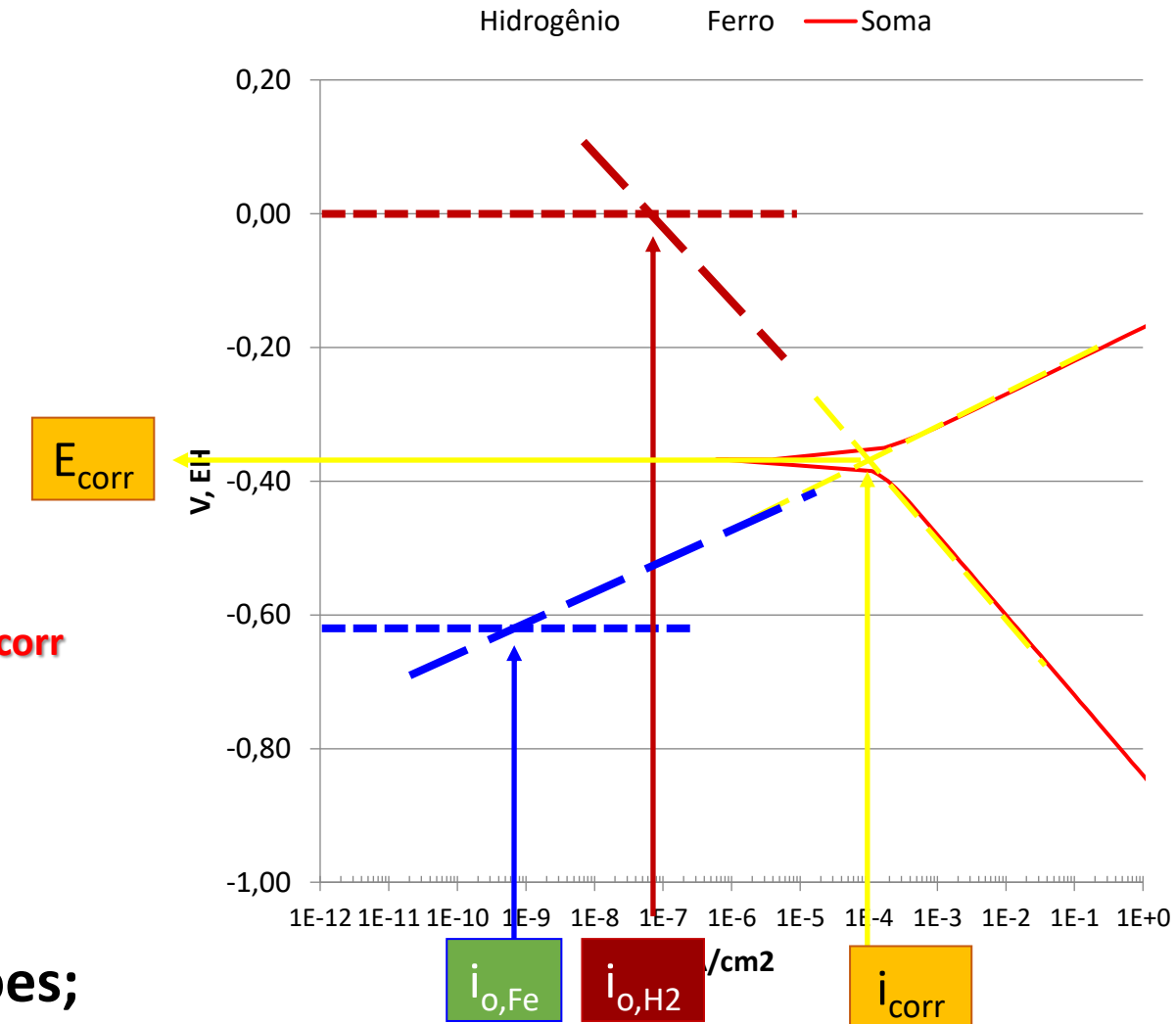


# Método de Extrapolação de Altos Potenciais

✓ **Processo controlado por ativação** - extrapolação da região linear das curvas de polarização experimentais:

✓  $\pm 30 \text{ mV}$  acima da mudança de sinal da corrente;

✓ região linear deve se estender por no mínimo uma década logarítmica.



✓ Cruzamento entre as duas retas determina  $E_{corr}$  e  $i_{corr}$ ;

✓ A extrapolação das retas até o potencial de equilíbrio da reação catódica ( $\text{H}^+/\text{H}_2$ ) e da anódica ( $\text{Fe}^{2+}/\text{Fe}$ ) determina o  $i_0$  destas reações;

# DETERMINAÇÃO DE $\tilde{i}_{\text{corr}}$ POR MEDIDA DE RESISTÊNCIA DE POLARIZAÇÃO ( $R_p$ )

# EQUAÇÃO DE STERN-GEARY

$$\Delta i = i_{corr} \left[ \exp\left(\frac{2,303 \Delta E_{apl}}{b_a}\right) - \exp\left(\frac{2,303 \Delta E_{apl}}{b_c}\right) \right]$$

$$\Delta E_{apl} = \eta = E - E_{corr}$$

$$\frac{d(\Delta i)}{d(\Delta E)} = i_{corr} \left[ \frac{2,303}{b_a} \exp\left(\frac{2,303 \Delta E}{b_a}\right) - \frac{2,303}{b_c} \exp\left(\frac{2,303 \Delta E}{b_c}\right) \right]$$

- Se  $\Delta E$  é pequeno as exponenciais tendem para 1, logo:

$$\left( \frac{d(\Delta i)}{d(\Delta E)} \right)_{\Delta E=0} = i_{corr} \left( \frac{2,303}{b_a} - \frac{2,303}{b_c} \right)$$

$$\frac{1}{R_p} = \frac{1}{\left( \frac{d(\Delta E)}{d(\Delta i)} \right)_{\Delta i=0}} = i_{corr} \cdot \frac{2,303(b_a + |b_c|)}{b_a \cdot |b_c|}$$

$$i_{corr} = \frac{b_a \cdot |b_c|}{2,303(b_a + |b_c|)} \cdot \frac{1}{R_p}$$

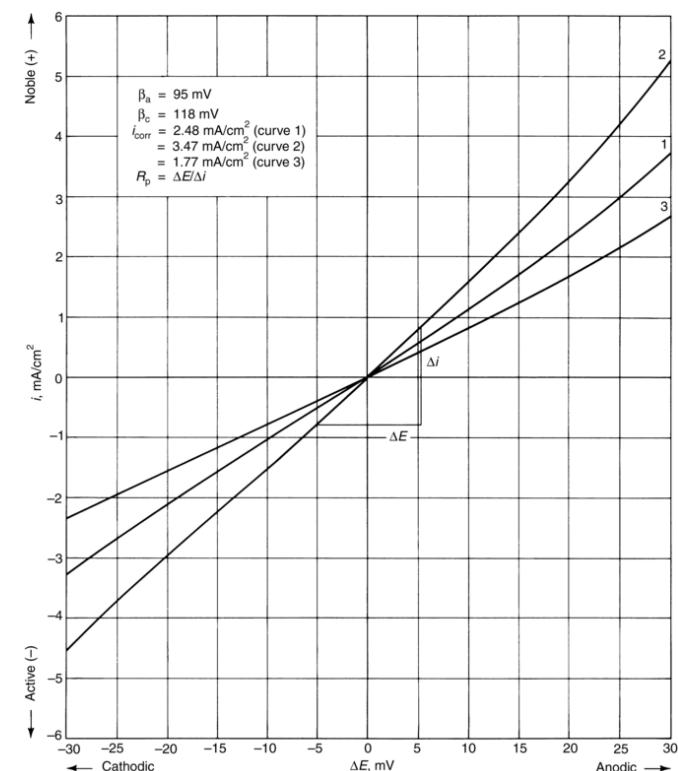
Equação de Stern-Geary

# RESISTÊNCIA DE POLARIZAÇÃO LINEAR

- ✓  $R_p$  → Declive da tangente da curva de polarização no potencial de corrosão;
- ✓ Obtida traçando uma **curva de polarização em torno do potencial de corrosão**;
- ✓ Os valores de  $\Delta E$  empregados normalmente estão **em torno de  $\pm 10$  mV**;
- ✓ Para **minimizar a distorção** da curva de polarização utiliza-se uma **baixa velocidade de varredura**;
- ✓ A curva tem que ser traçada em torno do valor de corrente nula (**no potencial de corrosão não existe corrente líquida na interface**).

Como frequentemente  $b_a$  e  $b_c$  não estão disponíveis, associa-se  $R_p$  diretamente à resistência à corrosão → ↑  
 $R_p$  significa **maior resistência à corrosão**.

Como a perturbação é de pequena amplitude, o eletrodo praticamente não é retirado da condição estacionária – ideal para determinar resistência à corrosão instantânea.



# Arranjos experimentais para obtenção de curvas de polarização

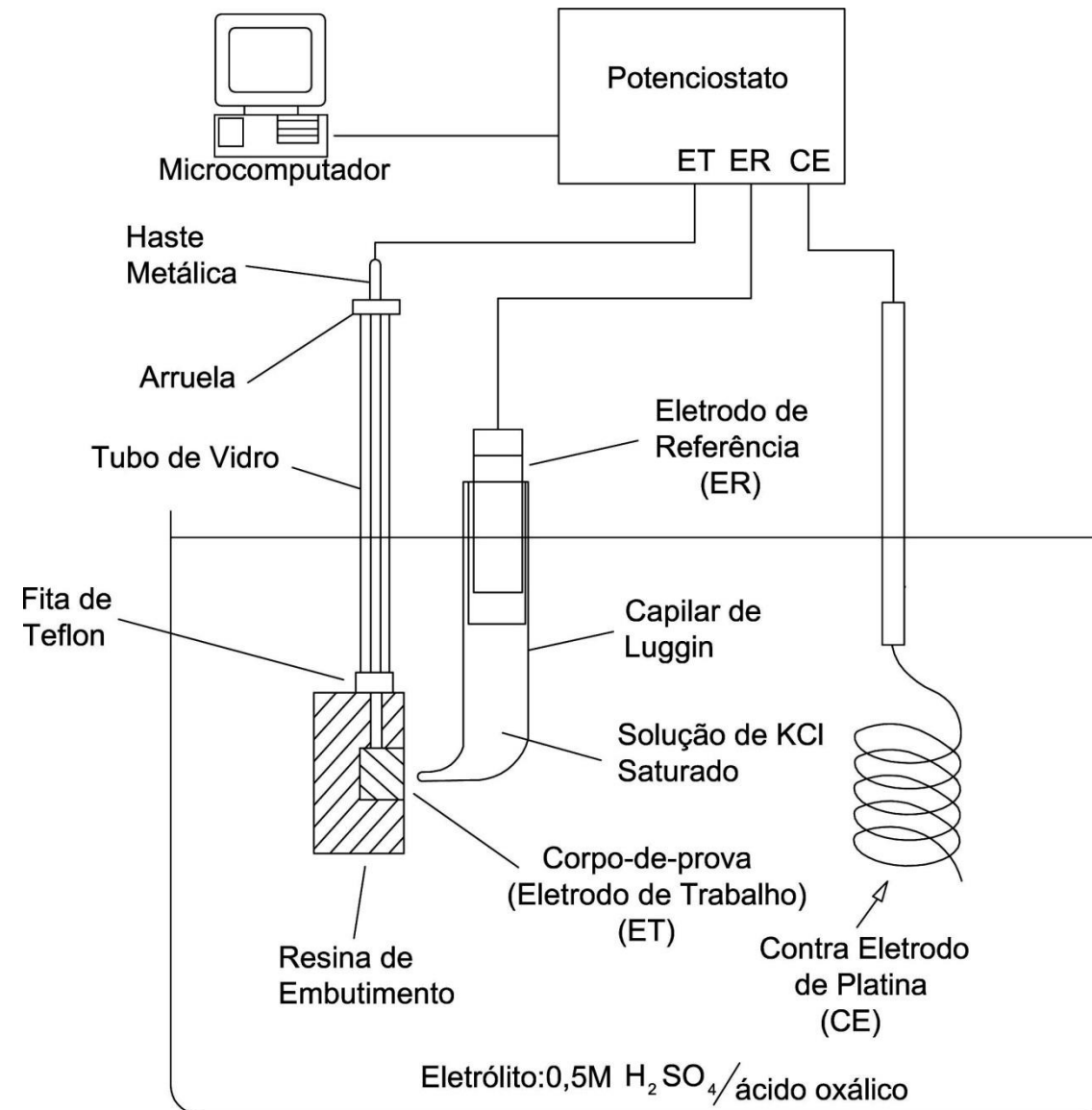
As fotos e esquemas apresentados a seguir ilustram o arranjo experimental para o levantamento de curvas de polarização experimentais.

1. WOLYNEC, Stephan. **Técnicas Eletroquímicas em Corrosão**. São Paulo. EDUSP, 2003, p.79-85.
2. SHREIR, L. L.; JARMAN, R.A. and BURSTEIN, J. T. **Corrosion**. Butterworths – Heinemann Ltd, Oxford; Thrid Edition 1994 – Reprinted: 1995. (*Na 2a. ed, reprinted 1979, as páginas são: cap. 20.2 (p. 20:123-20:143).*)

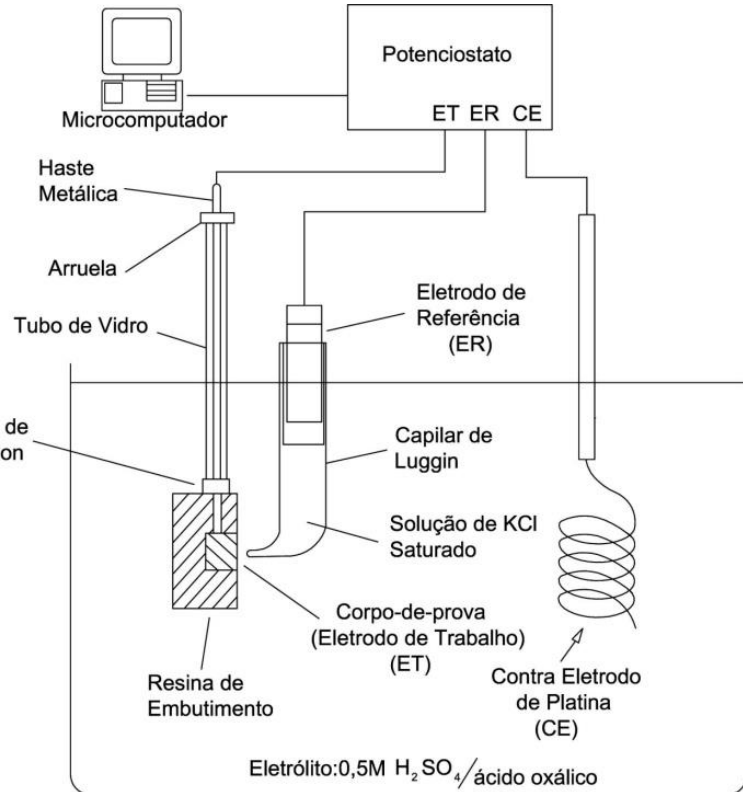
# ESQUEMA DE MONTANTE DA CÉLULA EXPERIMENTAL

Marcelo Magri, Mestrado, 1995.

**Potencioscópio acoplado a um microcomputador e com a célula eletroquímica já conectada.**



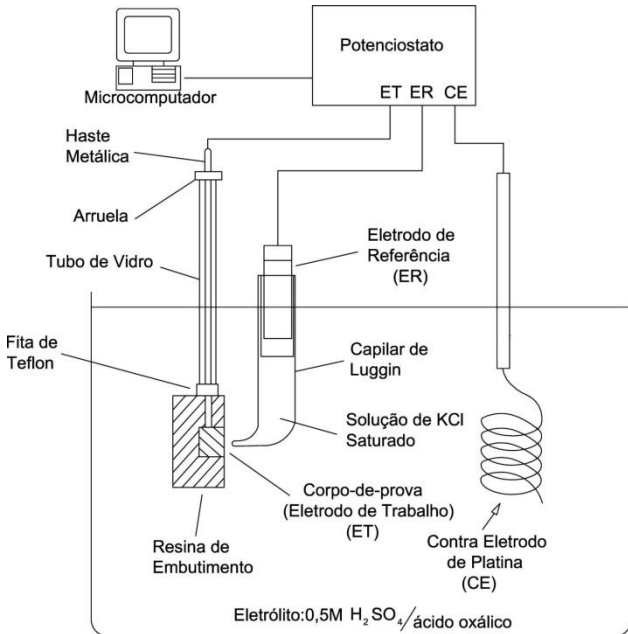
# PRINCÍPIOS PARA A OBTENÇÃO DAS CURVAS DE POLARIZAÇÃO



Marcelo Magri, Mestrado, 1995.

- ✓ O eletrodo de referência (**ER**) possui **potencial invariante**;
- ✓ O **potenciostato** registra a **ddp entre o eletrodo de trabalho (ET) e o ER**;
- ✓ Por meio de um programa de computador, o **potenciostato aplica a ddp desejada entre o ET e o ER** e a registra - pode ser em rampa (varredura) ou pulso;
- ✓ Para cada potencial aplicado a **corrente entre o ET e o contra-eletrodo (CE)** é registrada pelo potenciostato – esta corrente **compensa a corrente resultante dos processos interfaciais** devida às reações eletroquímicas no novo potencial;
- ✓ A **curva de polarização** é a representação da **variação da corrente em função do potencial aplicado** - sua análise permite avaliar a intensidade e obter informações sobre os processos na interface em corrosão.

# CUIDADOS PARA A OBTENÇÃO DAS CURVAS DE POLARIZAÇÃO



Marcelo Magri, Mestrado, 1995.

## Potencial aplicado – $E_{apl}$ :

- ✓ a ddp necessária para originar um dado  $E_{apl}$  depende da natureza do eletrólito (queda ôhmica), geometria da célula e posicionamento dos eletrodos;
- ✓ os potenciostatos são instrumentos de grande precisão e com eletrônica sensível, por isto possuem uma faixa de registro de corrente e de potencial bastante limitados.

## Fonte de tensão:

- ✓ são mais versáteis quanto aos valores de potenciais (ddp em relação à referência) que podem ser aplicados aos sistemas.
- ✓ não permite o controle simultâneo de potencial e registro da corrente, o que impede sua utilização na construção de curvas de polarização

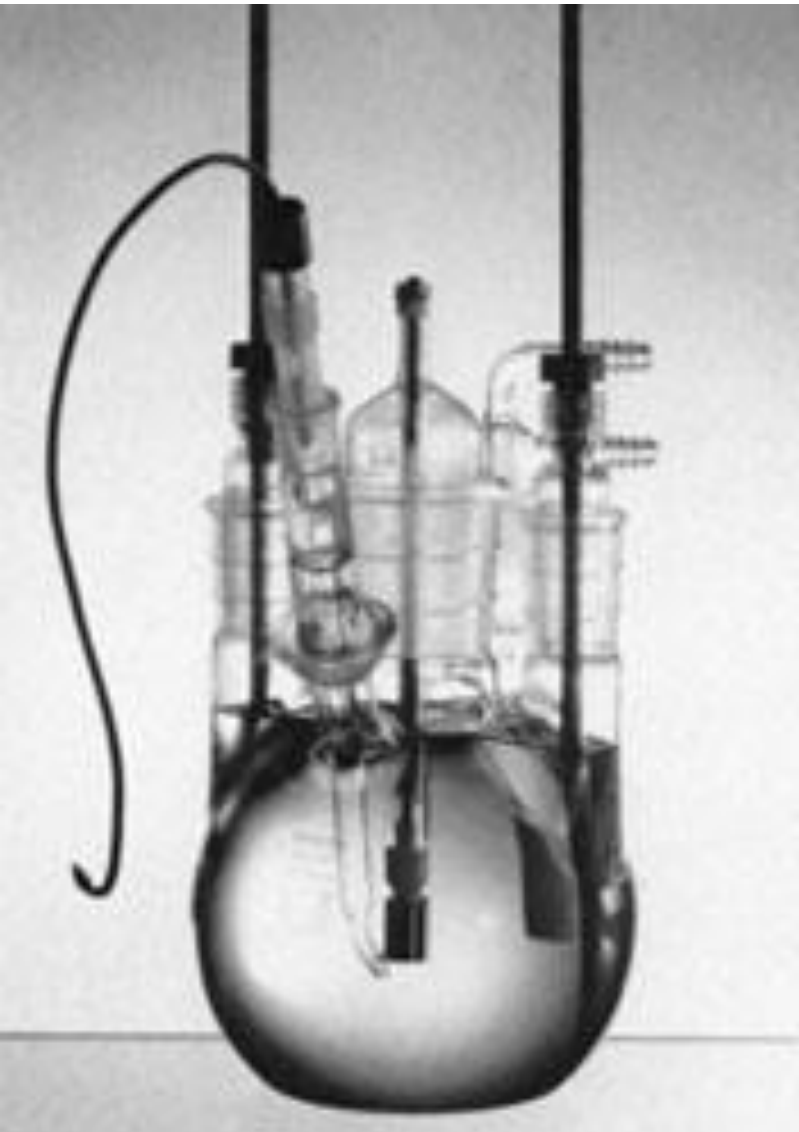
# MONTAGEM EXPERIMENTAL



**Potenciómetro acoplado  
a um microcomputador  
e com a célula  
eletroquímica já  
conectada.**

LIBERTO, Rodrigo César Nascimento.  
*Mestrado EPUSP/PMT, 2004.*

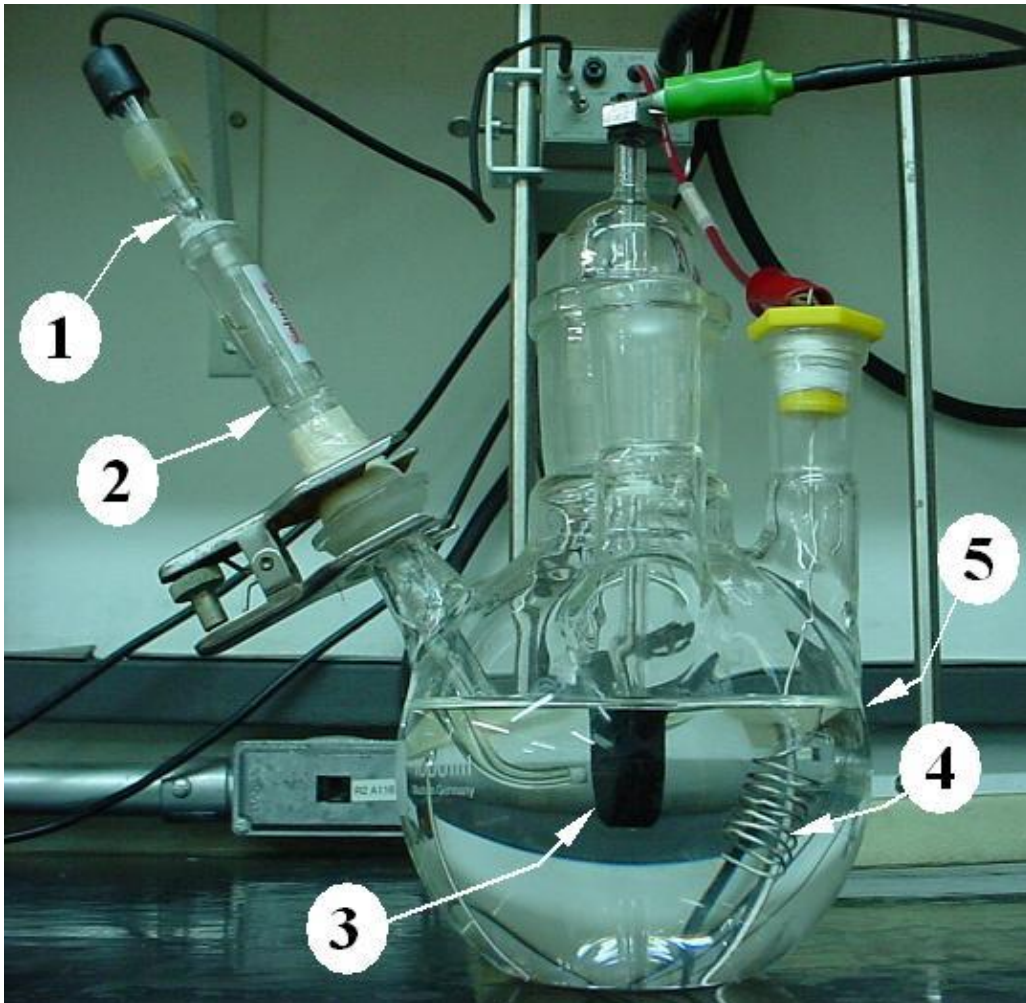
# DETALHES DA CÉLULA ELETROQUÍMICA



## Célula Eletroquímica:

- capacidade: 500mL
- amostra embutida
- **contra-eletrodos de grafita**
- eletrodo de referência:  
**Calomelano Saturado.**
- dispositivo para entrada de gás (aeração  
forçada ou desaeração).

# DETALHES DA CÉLULA ELETROQUÍMICA

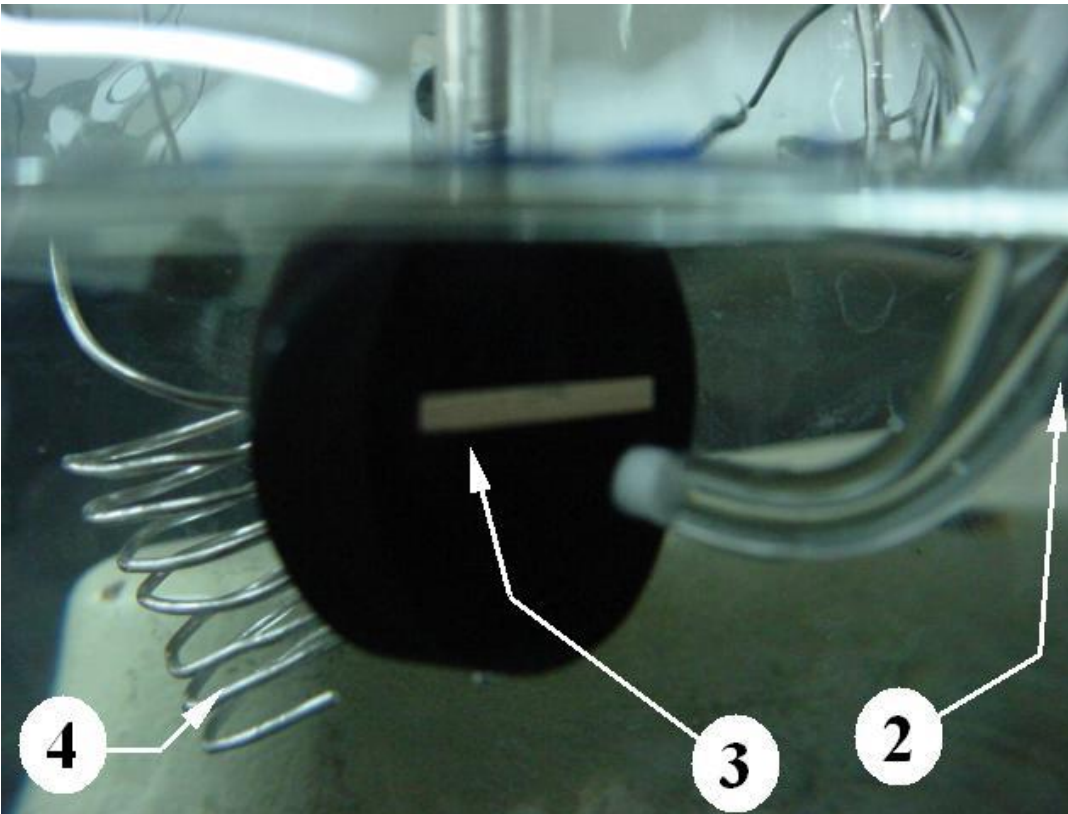


**Célula eletroquímica tipo balão volumétrico.**

- 1. Eletrodo de referência: calomelano.**
- 2. Capilar de Luggin: extensão para o eletrodo de referência.**
- 3. Eletrodo de trabalho: corpo-de-prova embutido.**
- 4. Contra-eletrodo: fio de platina em forma de espiral ou mola.**
- 5. Nível do eletrólito.**

LIBERTO, Rodrigo César Nascimento.  
Mestrado EPUSP/PMT, 2004.

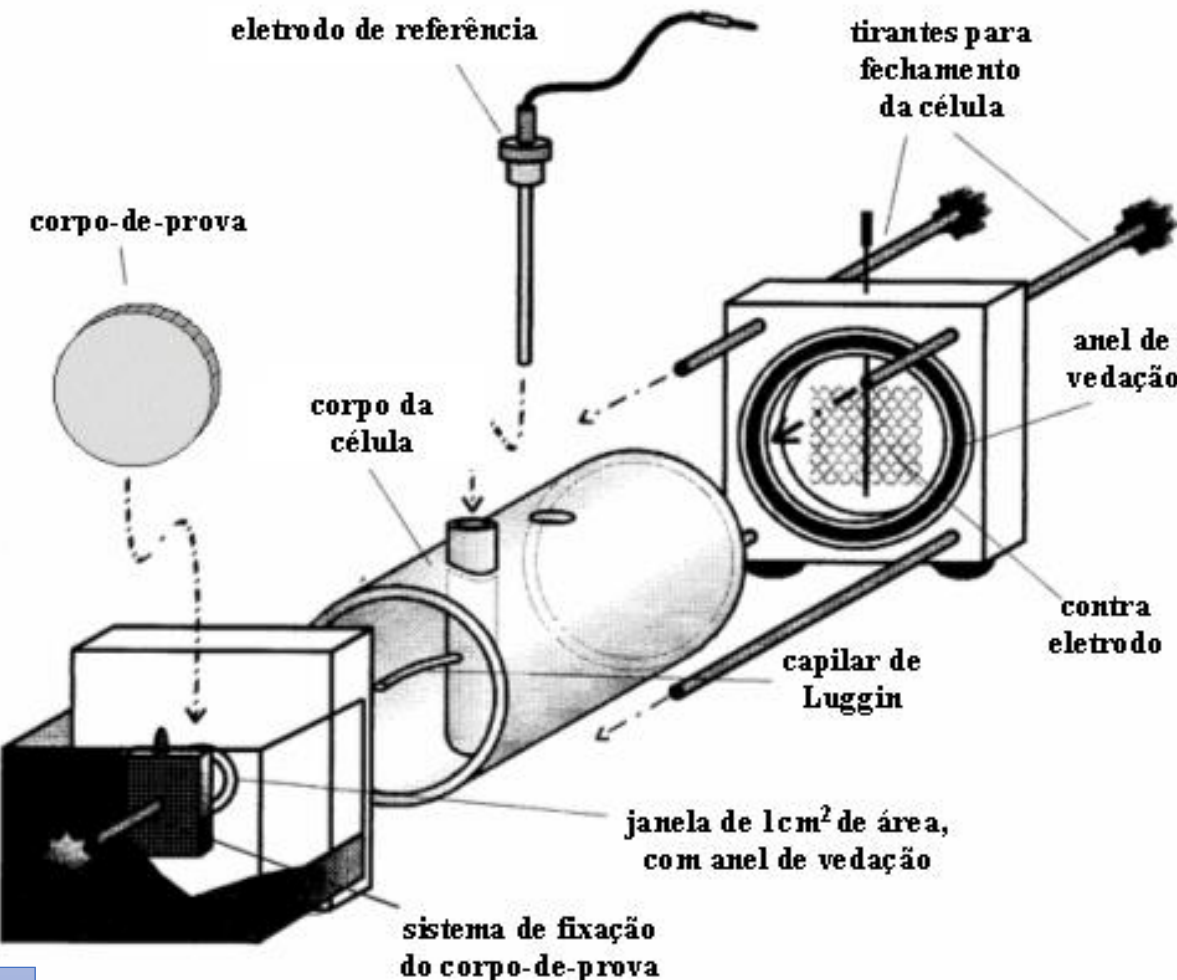
# DETALHES DA CÉLULA ELETROQUÍMICA



- 2 - ponta do capilar de Luggin – minimiza a queda ôhmica entre o ET e o ER;**
- 3 - corpo-de-prova (ET) – deve ter área bem definida;**
- 4 – CE de Pt – *cinética rápida para a contra-reação.***

LIBERTO, Rodrigo César Nascimento. *Mestrado EPUSP/PMT, 2004.*

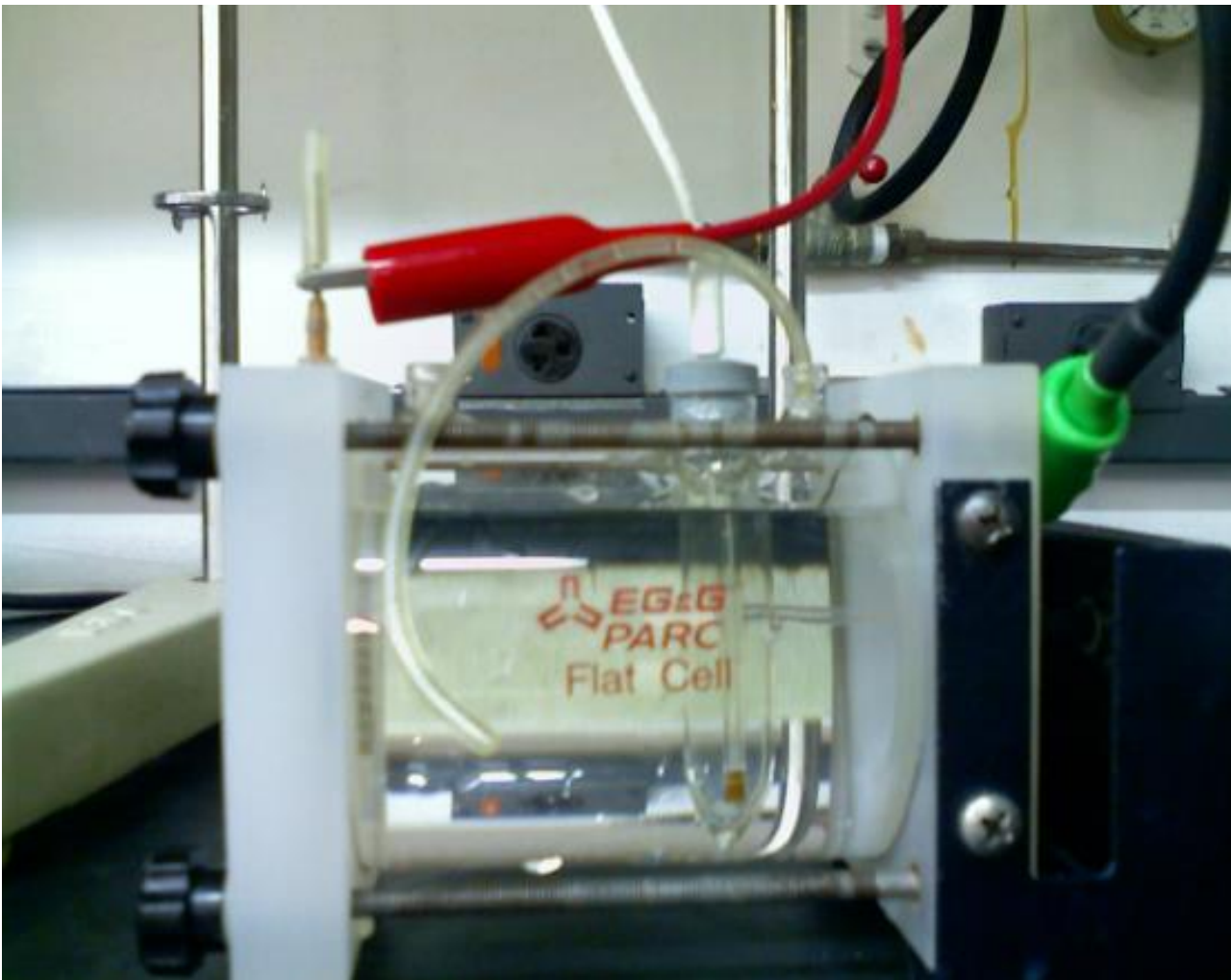
# OUTROS TIPOS DE CÉLULAS



**Célula Eletroquímica (*célula plana*) com eletrodo de referência Ag/AgCl e como contra-eletrodo uma rede quadrada de platina com 1,5cm de lado.**

CORDEIRO, Dirceu Braglia. Mestrado EPUSP/PMT, 2001. (Influência de tratamentos superficiais de nitretação e nitrocarbonatação, obtidos por plasma pulsado, sobre a resistência à corrosão do aço UNS G 10350.)

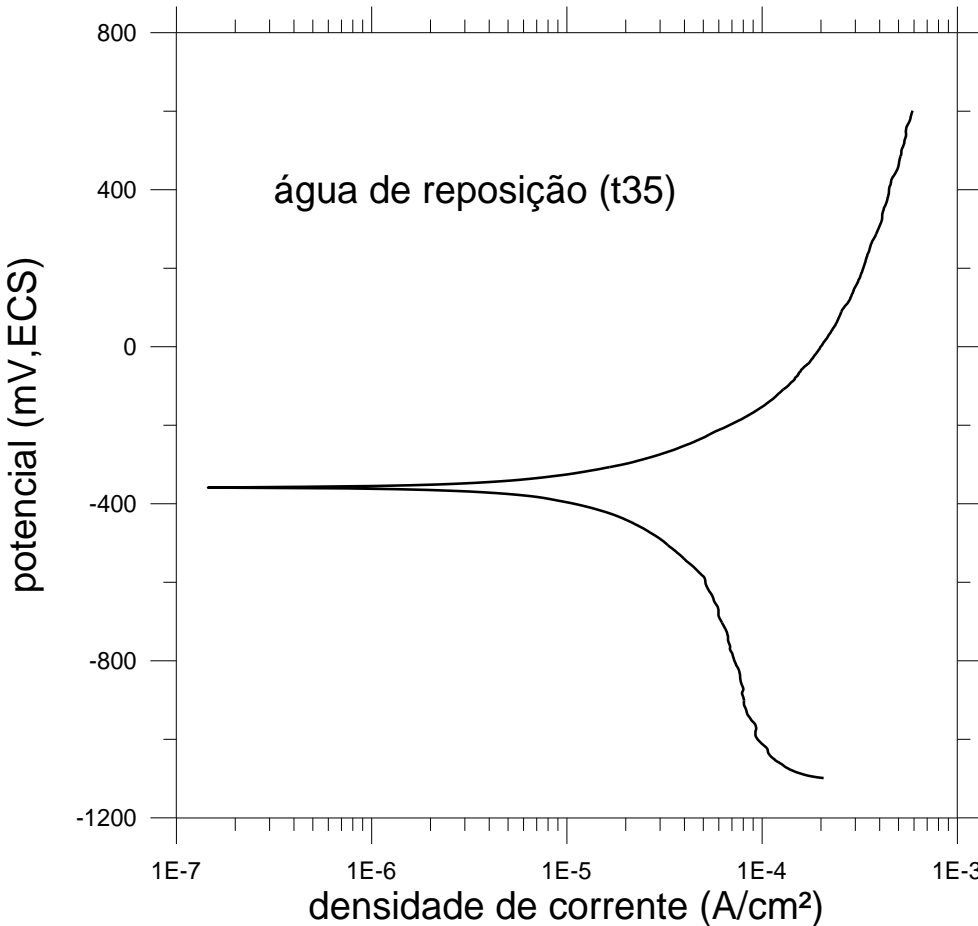
# OUTROS TIPOS DE CÉLULAS



Célula Eletroquímica (*célula plana*) com eletrodo de referência Ag/AgCl e como contra-eletrodo uma rede quadrada de platina com 1,5cm de lado.

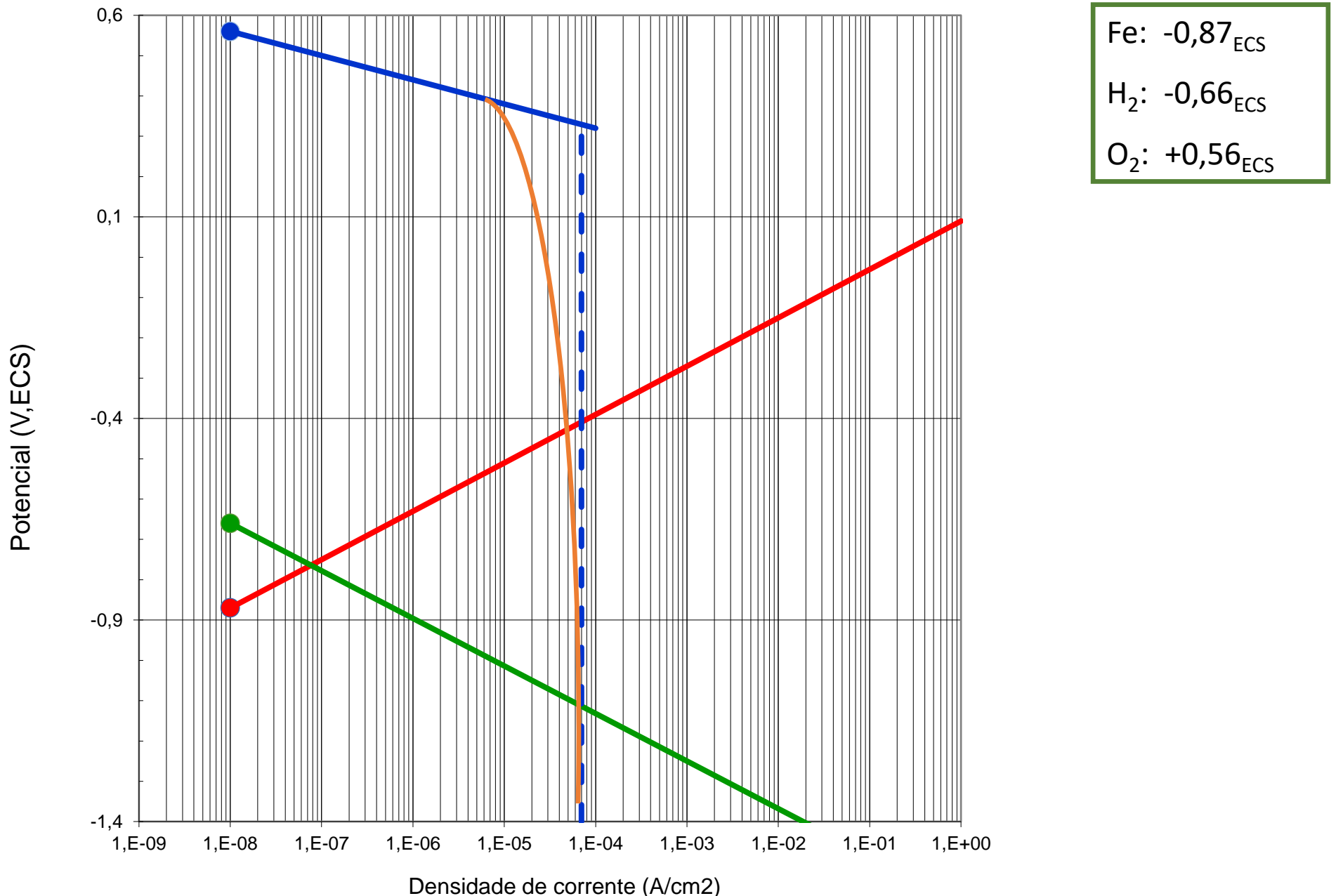
# Curvas de polarização experimentais: ELETRODO MISTO (!)

- ✓ Controle por transferência de carga
- ✓ Controle por transferência de massa: difusão
  - *densidade de corrente limite:  $i_L$*



Este resultado foi obtido por Wilson Barreto, em seu trabalho de Mestrado (1997). Trata-se de aço carbono, utilizado em tubos para trocadores de calor de água de refrigeração da Petrobrás, em água de reposição (água proveniente do próprio sistema de refrigeração utilizado pela Petrobrás). Nota-se no trecho catódico a densidade de corrente limite do oxigênio e no trecho anódico a formação de densidade de corrente limite após um trecho de dissolução ativa.

# As curvas de polarização individuais



# A CURVA CATÓDICA RESULTANTE

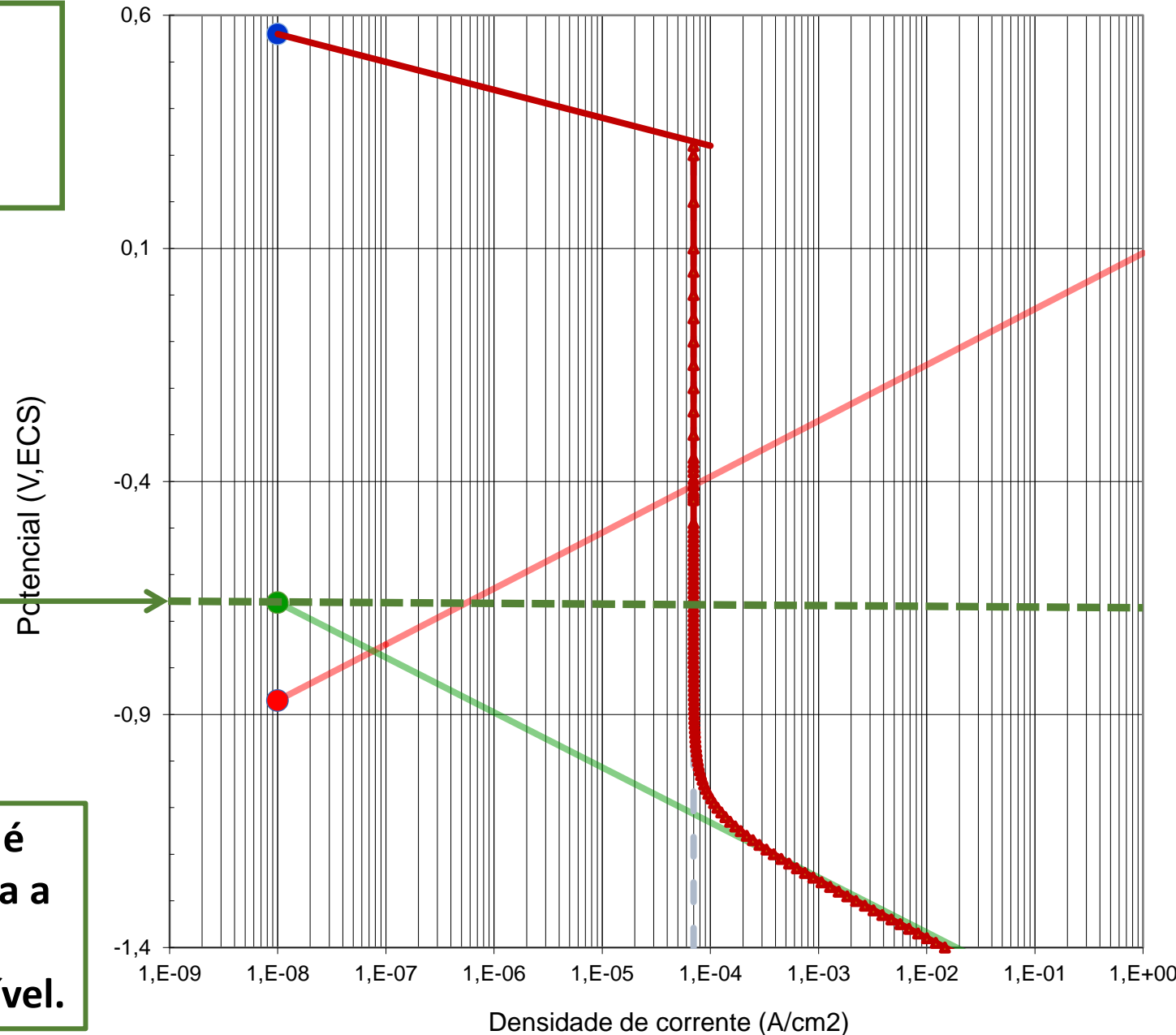
Fe: -0,87<sub>ECS</sub>

H<sub>2</sub>: -0,66<sub>ECS</sub>

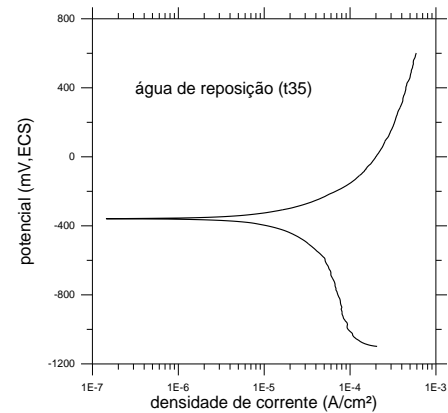
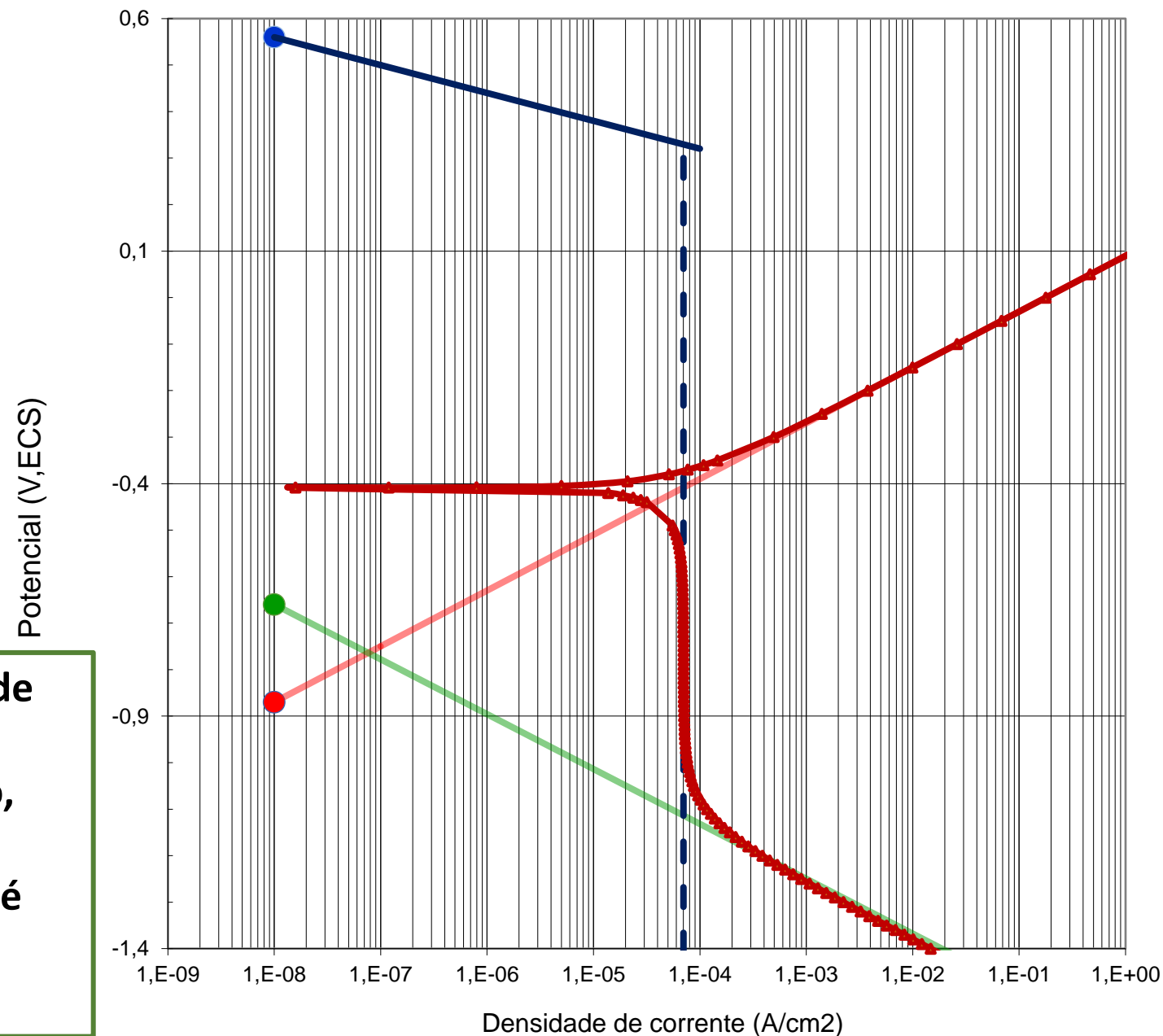
O<sub>2</sub>: +0,56<sub>ECS</sub>

**IMPORTANTE** – a contribuição da reação de redução do hidrogênio para a corrente total tem início a partir de -0,66 V (ECS) –  $E_{eq}$  do par H<sup>+</sup>/H<sub>2</sub>.

No início do processo a contribuição é muito pequena e, portanto, não afeta a resultante catódica.  
Apenas um processo anódico é possível.

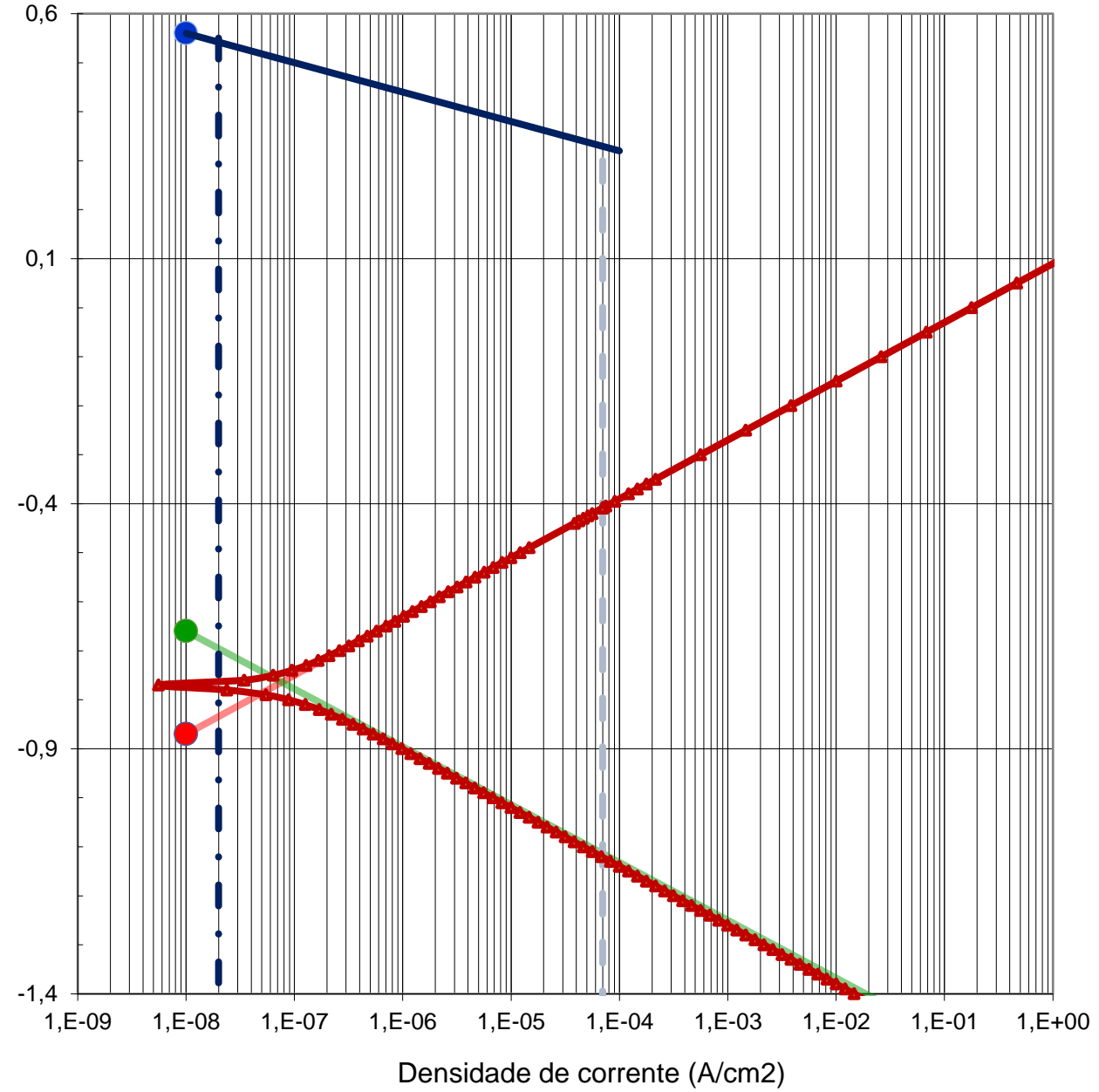


# A CURVA DE POLARIZAÇÃO EXPERIMENTAL



# E SE A SOLUÇÃO FOR DESAERADA?

Potencial (V,ECS)



Neste caso, a reação catódica é a redução do íon  $H^+$ . Note que o potencial de corrosão é inferior ao potencial de equilíbrio do  $H^+$ .

# ENSAIOS DE PERDA DE MASSA



## Procedimento:

1. Tratamento superficial do ET;
2. Desengraxamento e secagem;
3. Pesagem em balança de precisão;
4. Imersão no eletrólito teste pelo período de tempo desejado;
5. Retirada, lavagem;
6. Decapagem eventual para remoção de produtos de corrosão aderidos;
7. Lavagem e secagem;
8. Pesagem;

Ensaios geralmente realizados em triplicata: quantidade de eletrólito, profundidade de imersão e tamanho dos CPs devem ser semelhantes.

# DIAGRAMAS DE POURBAIX ou DIAGRAMAS E vs pH

Engenheiro Belga de origem  
Russa

# Diagramas de Pourbaix

- Diagramas E x pH primeiramente concebidos em 1938;
- Construídos com bases em dados da termodinâmica;
- Indicam os domínios de estabilidade termodinâmica de uma espécie ou composto químico em função do potencial e do pH;
- Disponíveis, em sua grande maioria, para o equilíbrio eletroquímico de metais em água destilada a 25° C;
- Como inicialmente concebidos, refletem o comportamento do metal em água destilada sem a presença de espécies agressivas.
- Não são adequados para fazer previsão sobre a cinética das reações;
- *Pourbaix, M., Atlas d'Équilibres Électrochimiques à 25°C, Gauthier-Villars Paris, 1963*

# As regiões do diagrama de Pourbaix

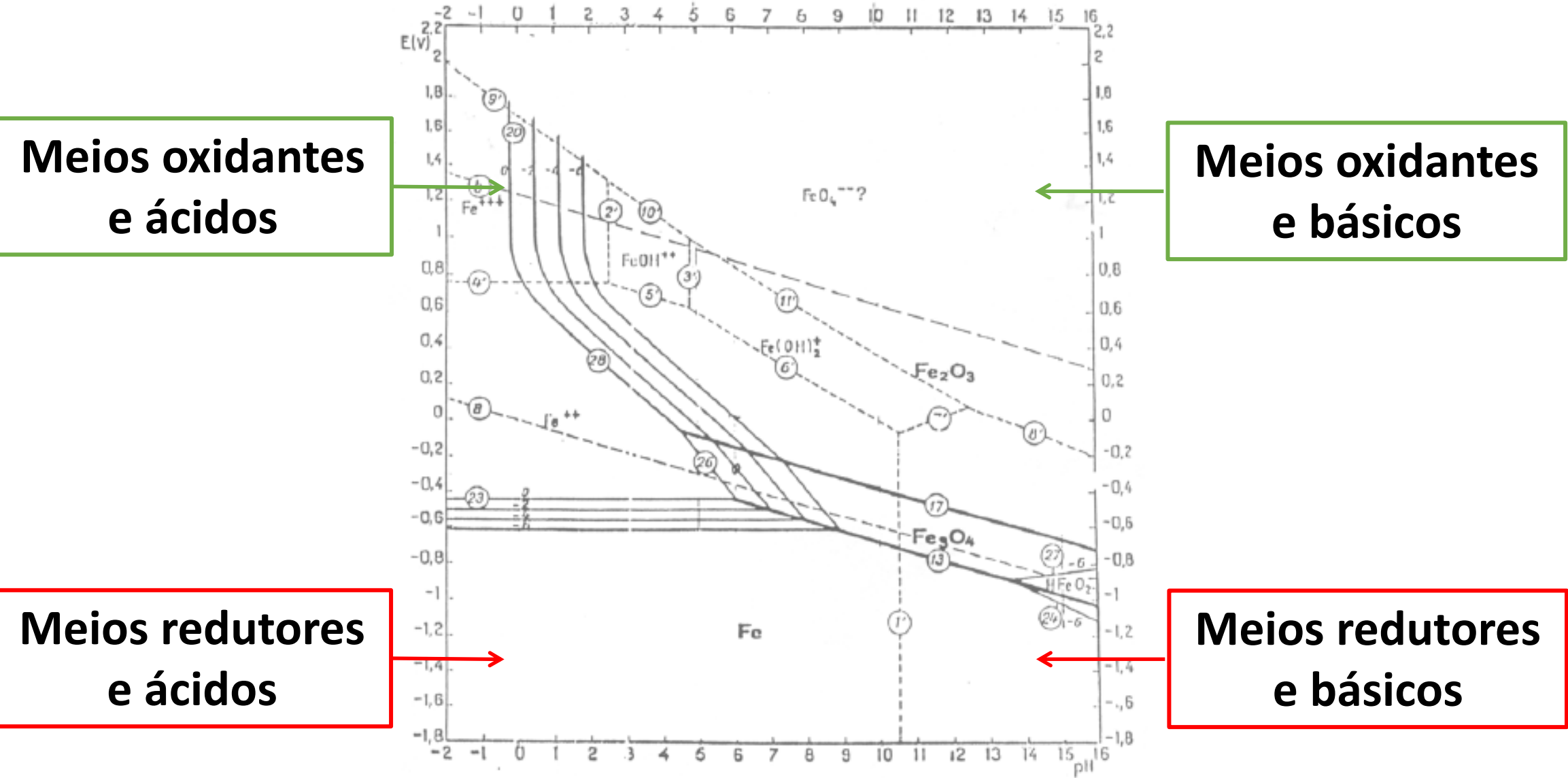
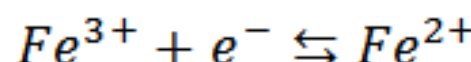


Figura 8 – Diagrama de Pourbaix para o sistema ferro-água a 25°C

# As linhas do diagrama de Pourbaix

**Linhas horizontais – equilíbrios eletroquímicos (dependentes do potencial) e independentes do pH.**



$$E_{eq} = +0,77 + \frac{RT}{2F} \ln \frac{a_{Fe^{3+}}}{a_{Fe^{2+}}}$$



$$E_{eq} = -0,44 + \frac{RT}{2F} \ln \frac{a_{Fe^{2+}}}{a_{Fe}}$$

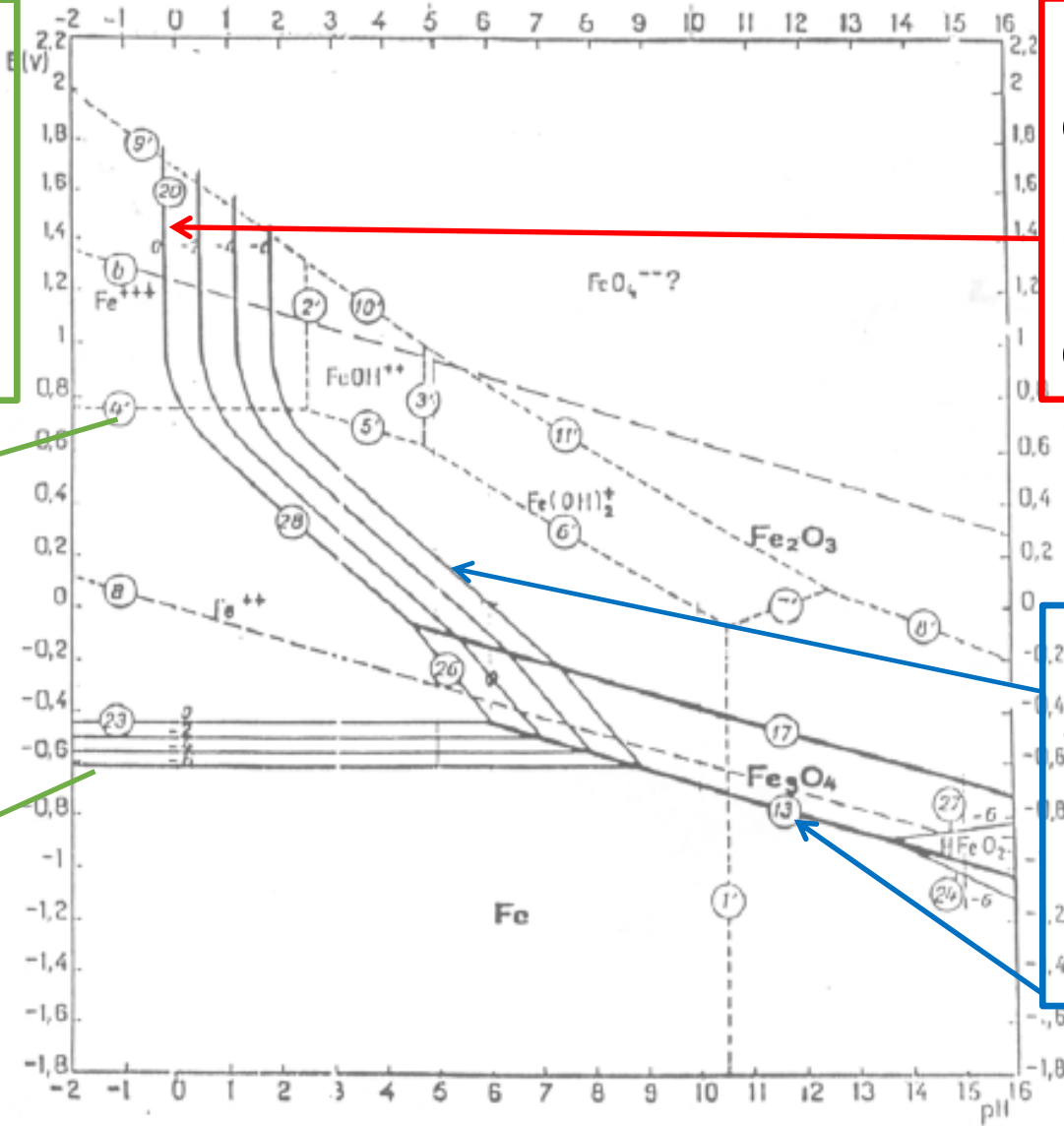
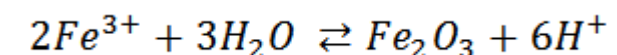
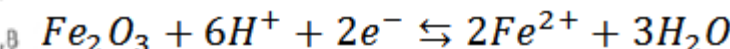


Figura 8 – Diagrama de Pourbaix para o sistema ferro-água a 25°C

**Linhas verticais – equilíbrios químicos (independentes do potencial) e dependentes do pH.**



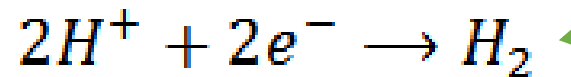
**Linhas inclinadas – equilíbrios eletroquímicos (dependentes do potencial) e dependentes do pH.**



$$E_{eq} = +0,728 + \frac{RT}{2F} \ln \frac{(a_{H^+})^6}{(a_{Fe^{2+}})^2}$$

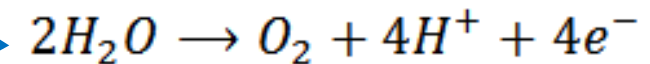
# Região de estabilidade da água

Região onde ocorre a maioria dos casos de corrosão



Evolução do hidrogênio e alcalinização

Evolução do oxigênio e acidificação



Estabilidade termodinâmica da água

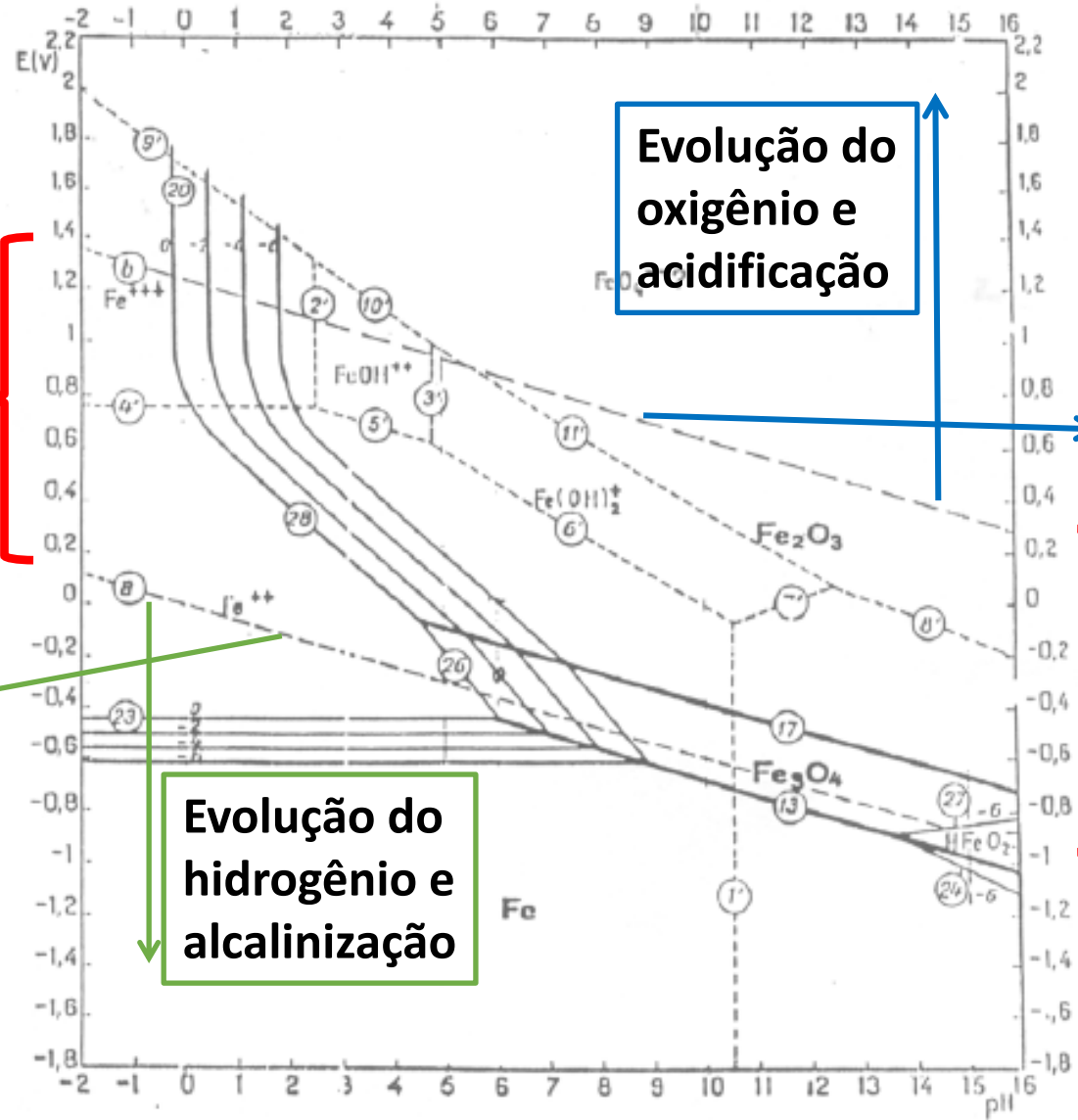
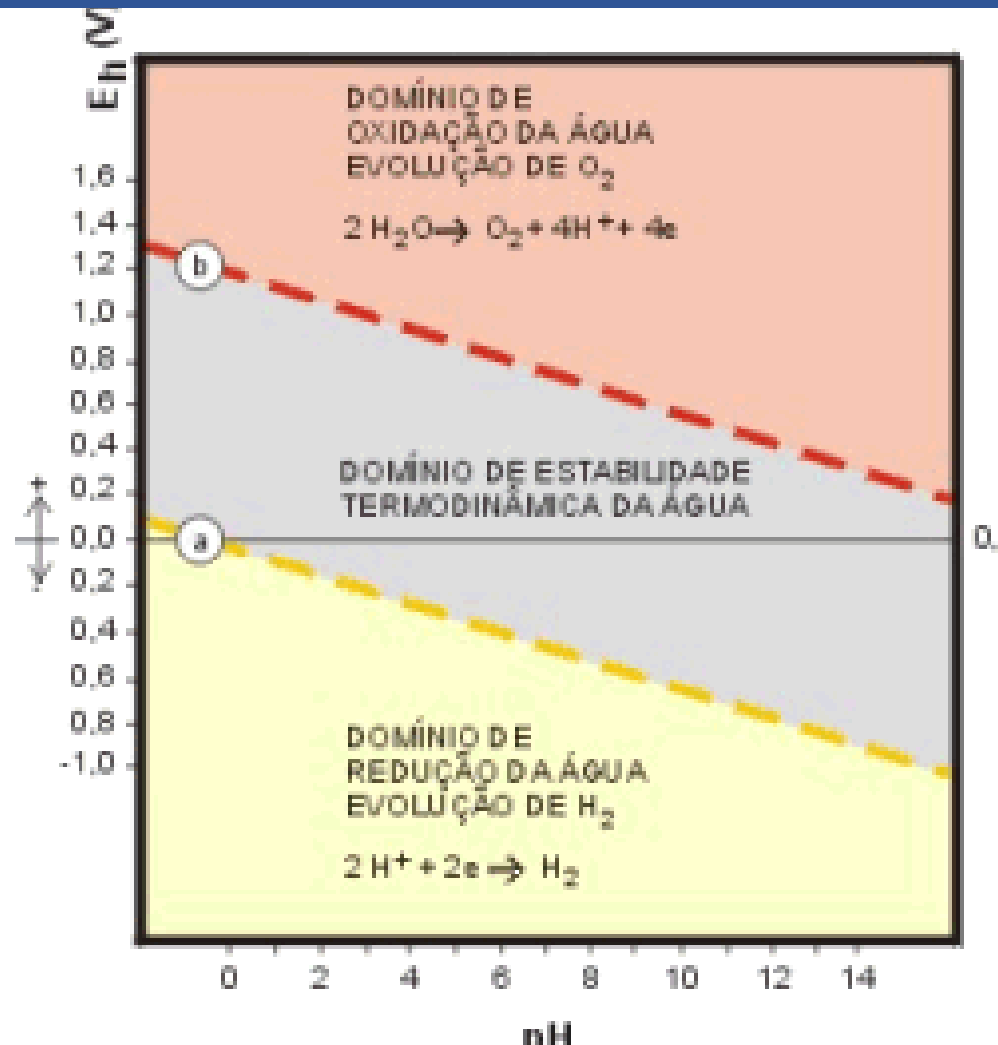


Figura 8 – Diagrama de Pourbaix para o sistema ferro-água a 25°C

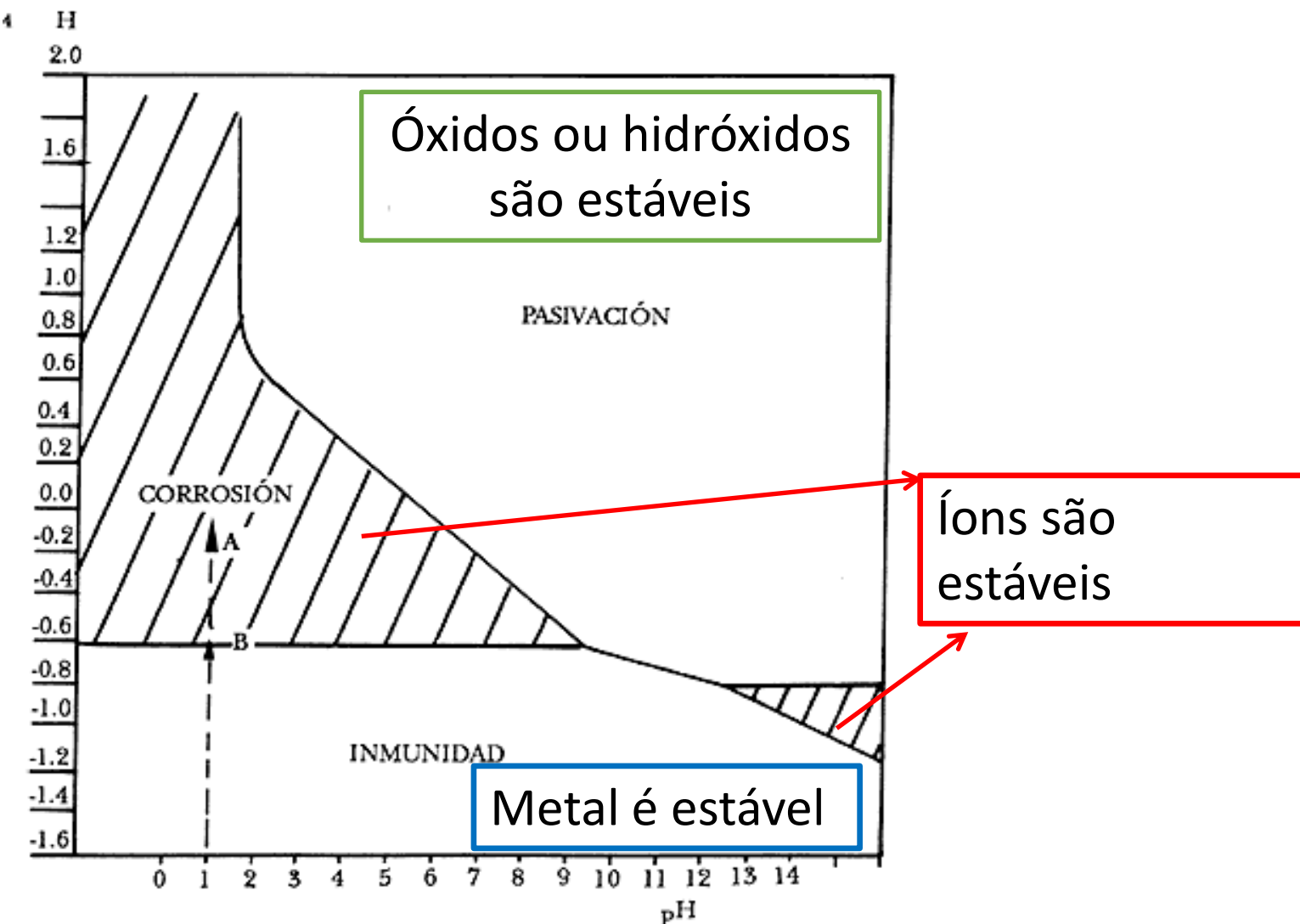
# Região de estabilidade da água



- Figura 01 -

Diagrama de POURBAIX para água

# Análise qualitativa dos diagramas de Pourbaix



## IMPORTANTE:

- ✓ A **região de imunidade** é garantida pela termodinâmica
  - O **metal não corrói** pois se encontra abaixo de seu potencial de equilíbrio;
- ✓ As **regiões de corrosão e de passivação** dependem da cinética e **não podem ser garantidas** através da simples análise dos diagramas de Pourbaix!
- ✓ A presença de **íons agressivos** pode modificar os diferentes domínios

# Análise qualitativa dos diagramas de Pourbaix

## ● IMUNIDADE

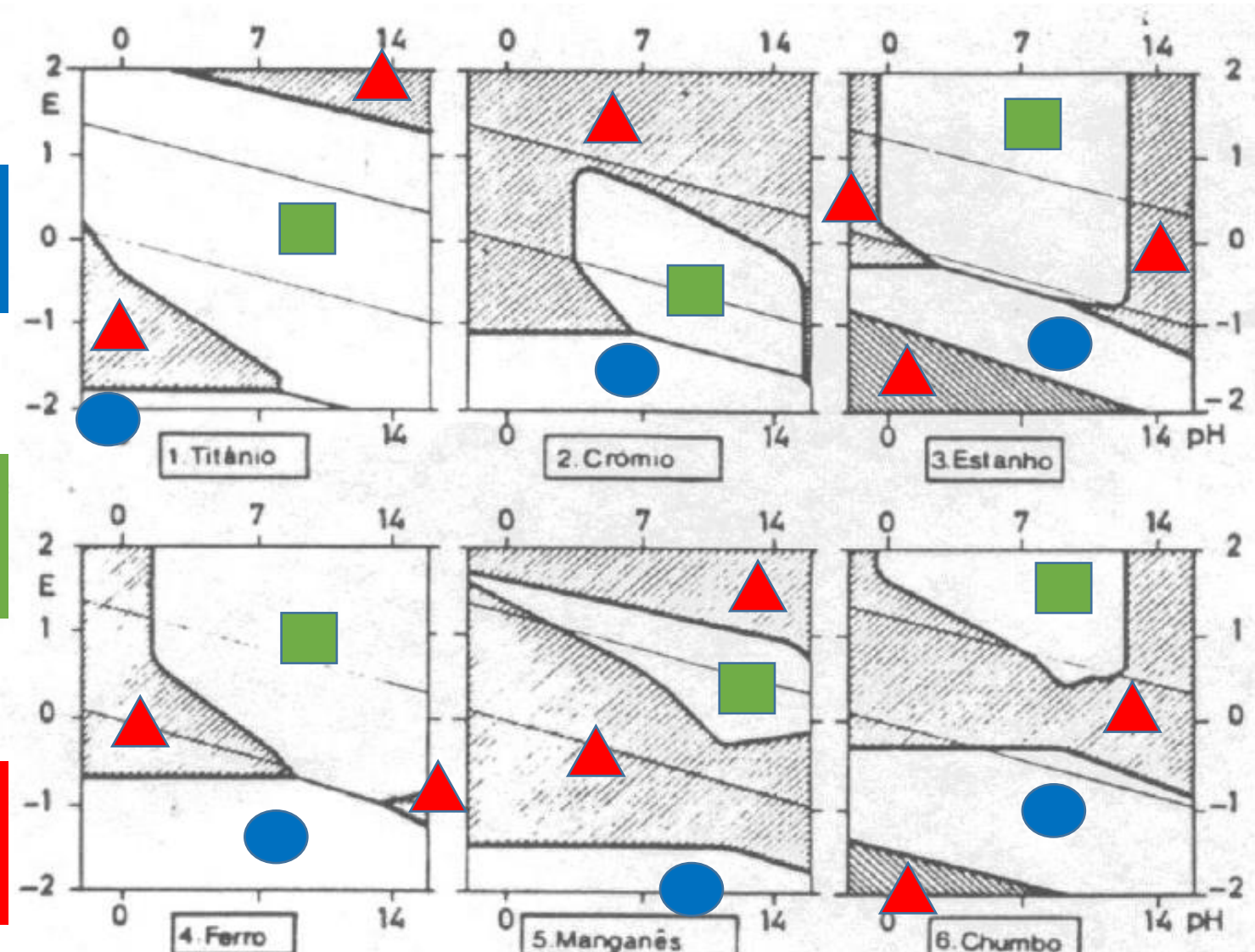
Estado metálico estável  
– domínio de imunidade.  
**METAL NÃO CORRÓI.**

## ■ PASSIVAÇÃO

Compostos insolúveis  
do metal – domínio de  
passivação

## ▲ CORROSÃO

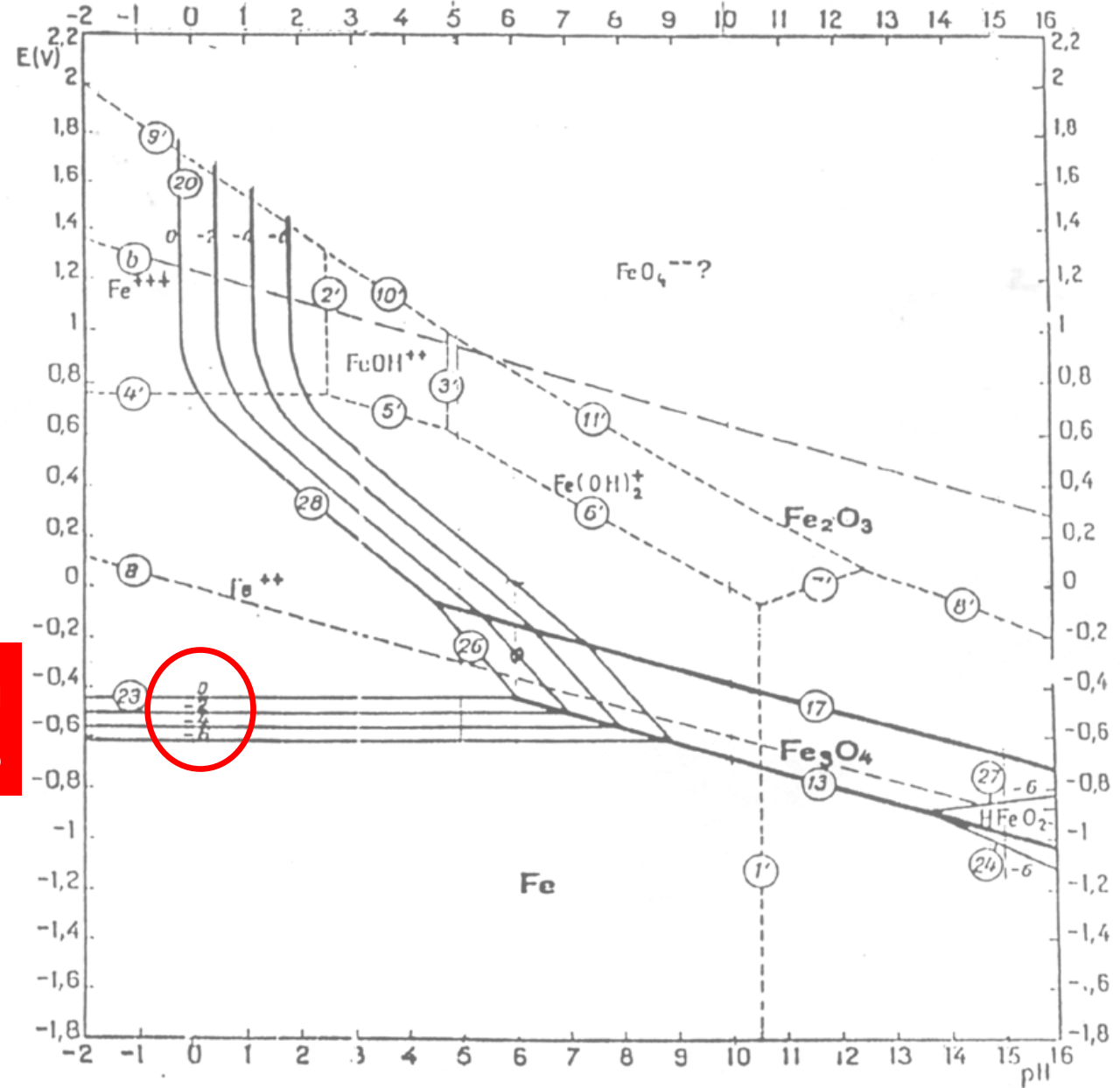
Espécies iônicas do  
metal estáveis -  
domínio de corrosão



# Construção do Diagrama de Pourbaix (Fe em H<sub>2</sub>O)

Linha horizontal 23

Figura 14 – Diagrama de Pourbaix para o sistema ferro-água a 25°C



# Construção do Diagrama de Pourbaix (Fe em H<sub>2</sub>O)

Cada linha paralela é definida para uma atividade de Fe<sup>2+</sup>

para se chegar na linha horizontal nº23. Essa linha representa o equilíbrio:



O potencial de equilíbrio é dado pela equação de Nernst:

$$E_{Fe^{+}/Fe} = E^0_{Fe^{+2}/Fe} + \frac{0,059}{2} \cdot \log \frac{a_{Fe}}{a_{Fe^{2+}}}$$

como  $a(Fe) = 1$ , então:

$$E_{Fe^{2+}/Fe} = -0,440 + 0,0295 \cdot \log a_{Fe^{2+}} (V)$$

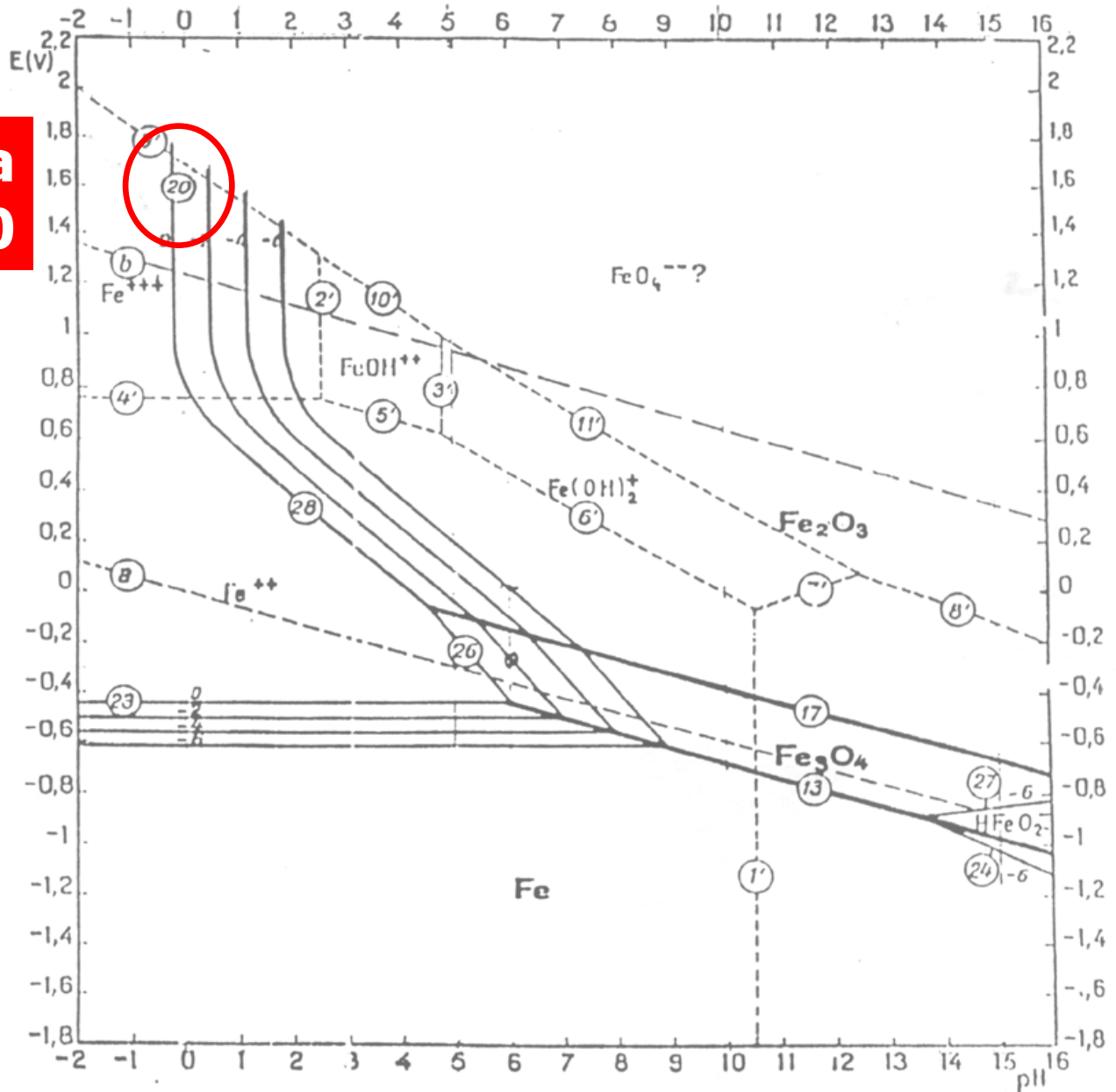
Assim esse equilíbrio independe do pH e apenas do potencial que variará com diferentes  $a_{Fe^{2+}}$ . Para  $a_{Fe^{2+}} = 10^{-6} M$ :

$$E_{Fe^{2+}/Fe} = -0,440 + 0,0295 \cdot (-6) = -0,440 - 0,177 = -0,617 V$$

# Construção do Diagrama de Pourbaix (Fe em H<sub>2</sub>O)

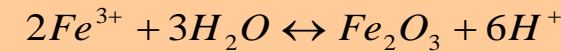
Linha Vertical 20

Figura 14 – Diagrama de Pourbaix para o sistema ferro-água a 25°C



# Construção do Diagrama de Pourbaix (Fe em H<sub>2</sub>O)

No diagrama para ferro-água, a linha vertical n°20 representa o equilíbrio químico abaixo:



Sua constante de equilíbrio é dada por:

$$K = \frac{(a_{H^+})^6}{(a_{Fe^{3+}})^2} \cdot \frac{(a_{Fe_2O_3})}{(a_{H_2O})^3} \quad e \text{ como } a(H_2O) = a(Fe_2O_3) = 1, \text{ então:}$$

$$K = \frac{(a_{H^+})^6}{(a_{Fe^{3+}})^2}$$

$$e - \log_{a_{H^+}} = pH$$

$$\log K = 6 \cdot \log a_{H^+} - 2 \cdot \log a_{Fe^{3+}}$$

$$1,43 = -6 \cdot pH - 2 \log a_{Fe^{3+}}$$

$$\text{fixando } [Fe^{3+}] = 10^{-6} M$$

$$pH = \frac{(-1,43 + 2 \cdot 6)}{6}$$

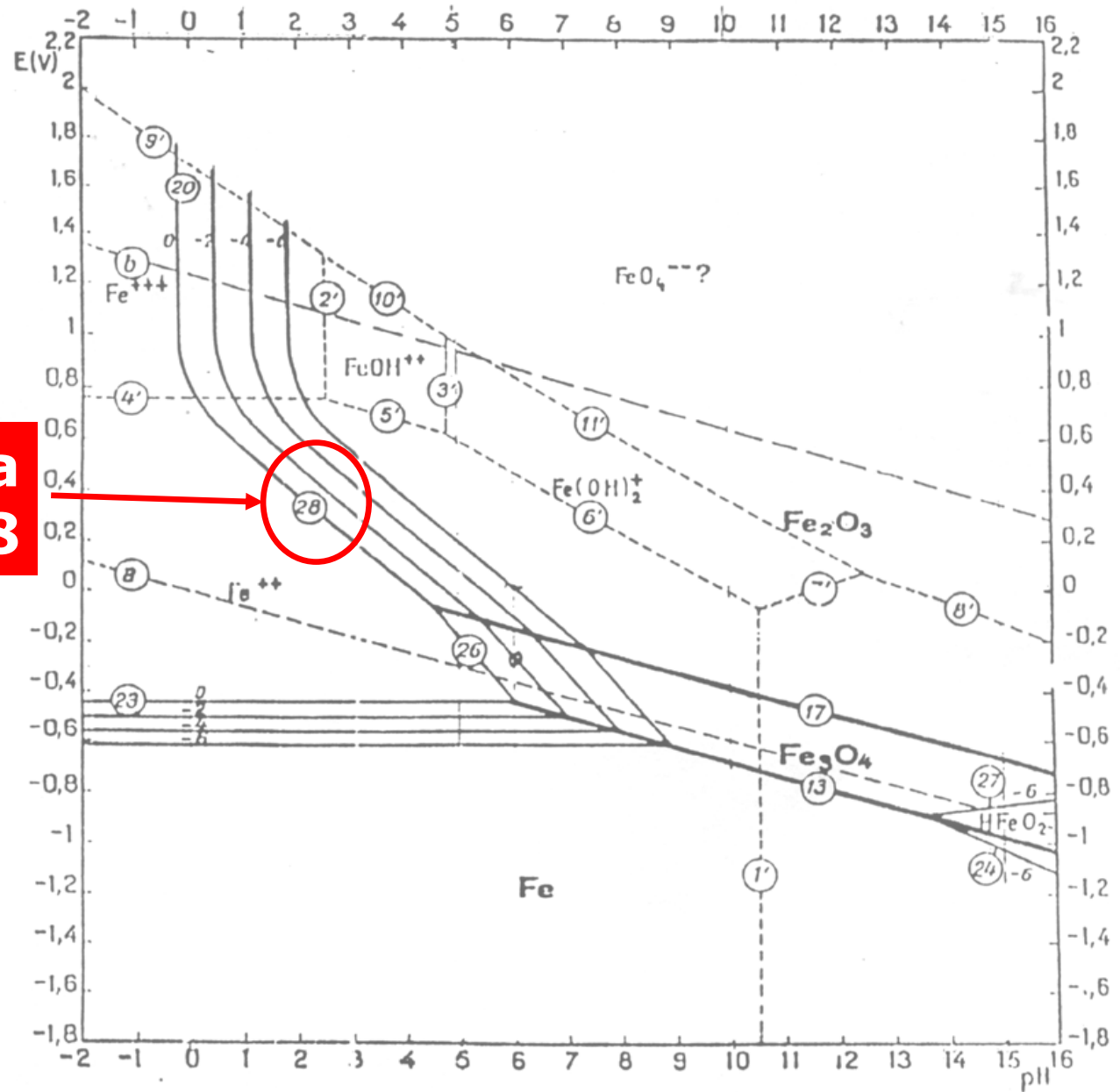
$$pH = 1,76$$

Cada linha paralela é definida para uma atividade de Fe<sup>3+</sup>- que implica em um deslocamento do pH de equilíbrio.

# Construção do Diagrama de Pourbaix (Fe em H<sub>2</sub>O)

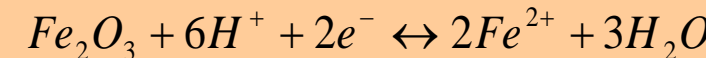
Linha  
inclinada 28

Figura 14 – Diagrama de Pourbaix para o sistema ferro-água a 25°C



# Construção do Diagrama de Pourbaix (Fe em H<sub>2</sub>O)

A linha inclinada nº28 representa o equilíbrio:



A constante de equilíbrio para essa reação é expressa por:

$$K = \frac{(a_{Fe^{2+}})^2}{(a_{H^+})^6} \cdot \frac{(a_{H_2O})^3}{(a_{Fe_2O_3})} \text{ e como } a(H_2O) = a(Fe_2O_3) = 1, \text{ então:}$$

$$K = \frac{(a_{Fe^{2+}})^2}{(a_{H^+})^6}$$

$$E_{Fe_2O_3/Fe^{2+}} = E^0_{Fe_2O_3/Fe^{2+}} - \frac{0,059}{2} \cdot \log K = E^0_{Fe_2O_3/Fe^{2+}} - \frac{0,059}{2} \cdot \log \frac{(a_{Fe^{2+}})^2}{(a_{H^+})^6}$$

$$E_{Fe_2O_3/Fe^{2+}} = +0,728 - \frac{2 \cdot 0,059}{2} \log a_{Fe^{2+}} + \frac{6 \cdot 0,059}{2} \log a_{H^+}$$

$$E_{Fe_2O_3/Fe^{2+}} = +0,728 - 0,059 \log a_{Fe^{2+}} - 0,177 \text{ pH}$$

Para uma determinada atividade de Fe<sup>2+</sup> o potencial varia com o pH da solução

# Diagrama de Pourbaix (Cu em H<sub>2</sub>O)

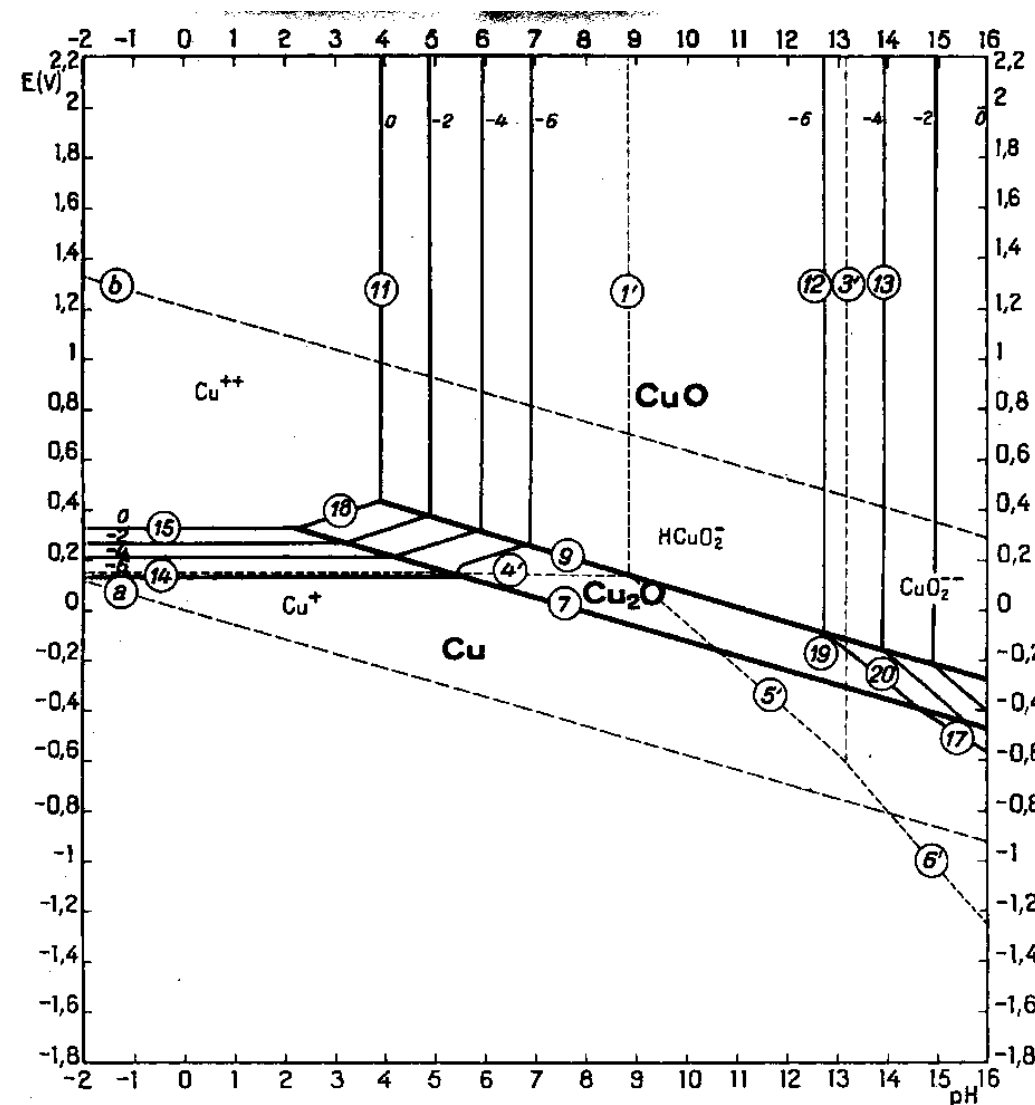
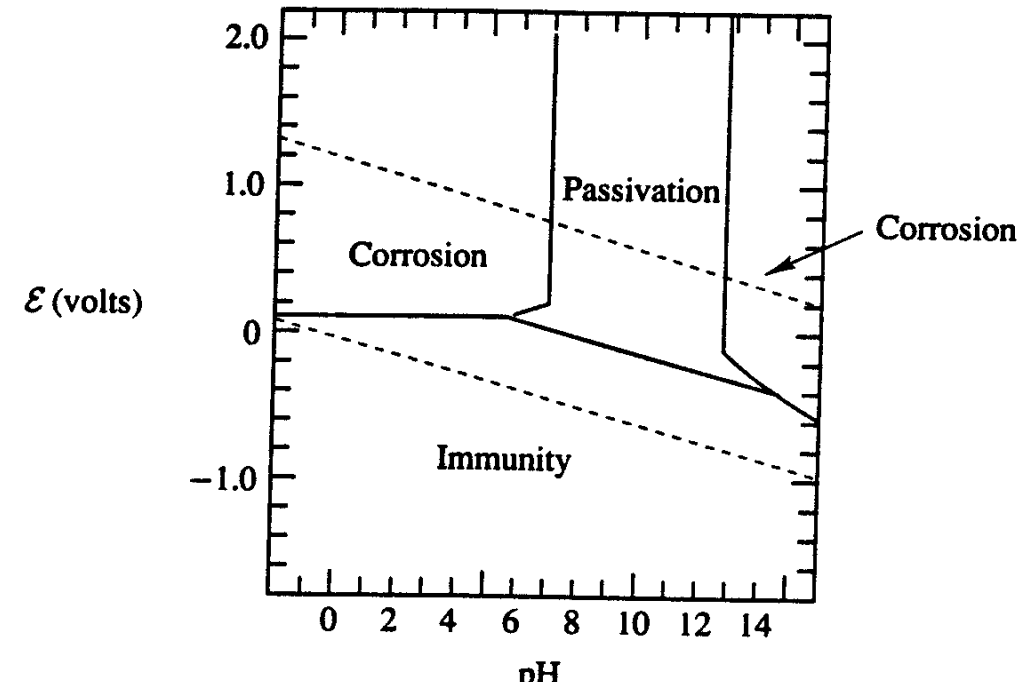
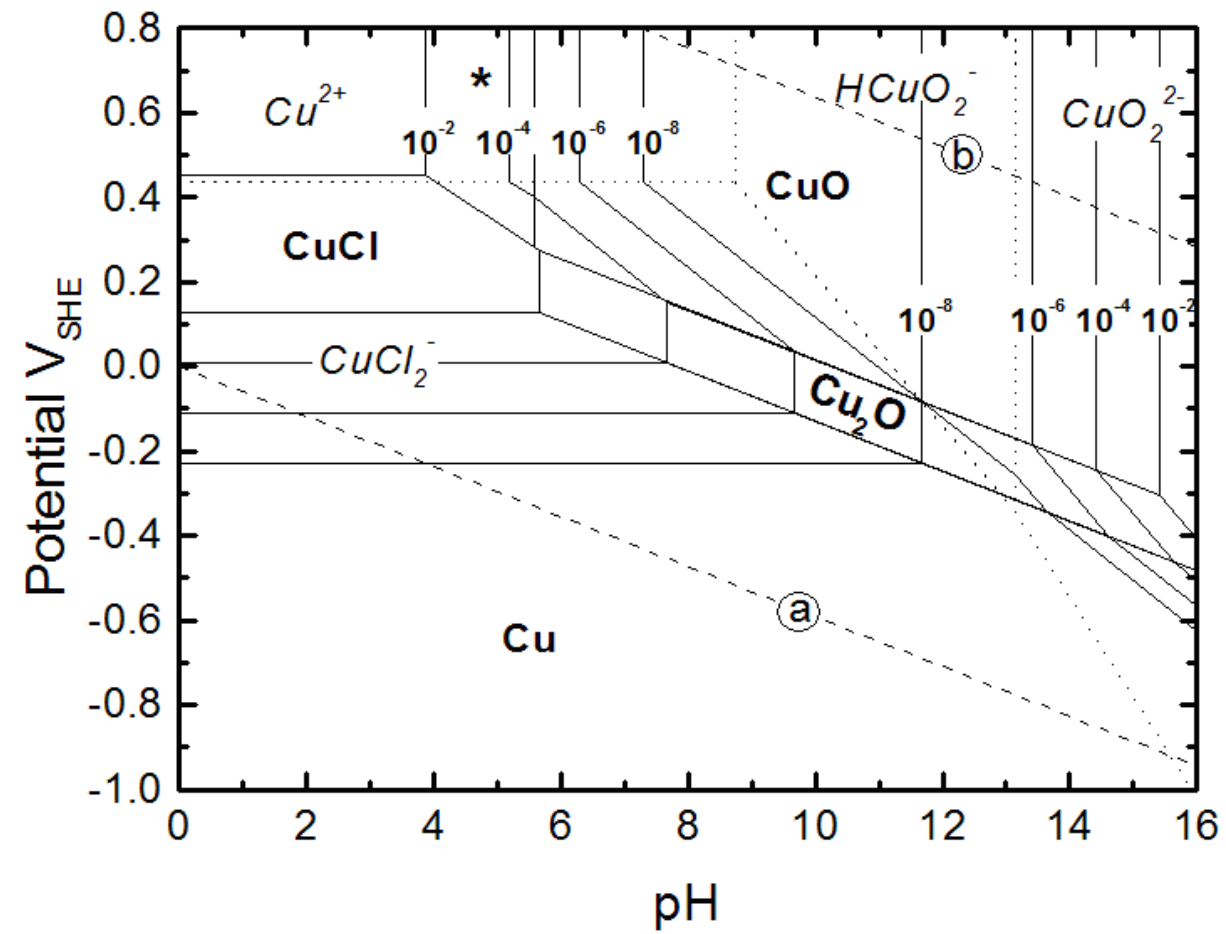
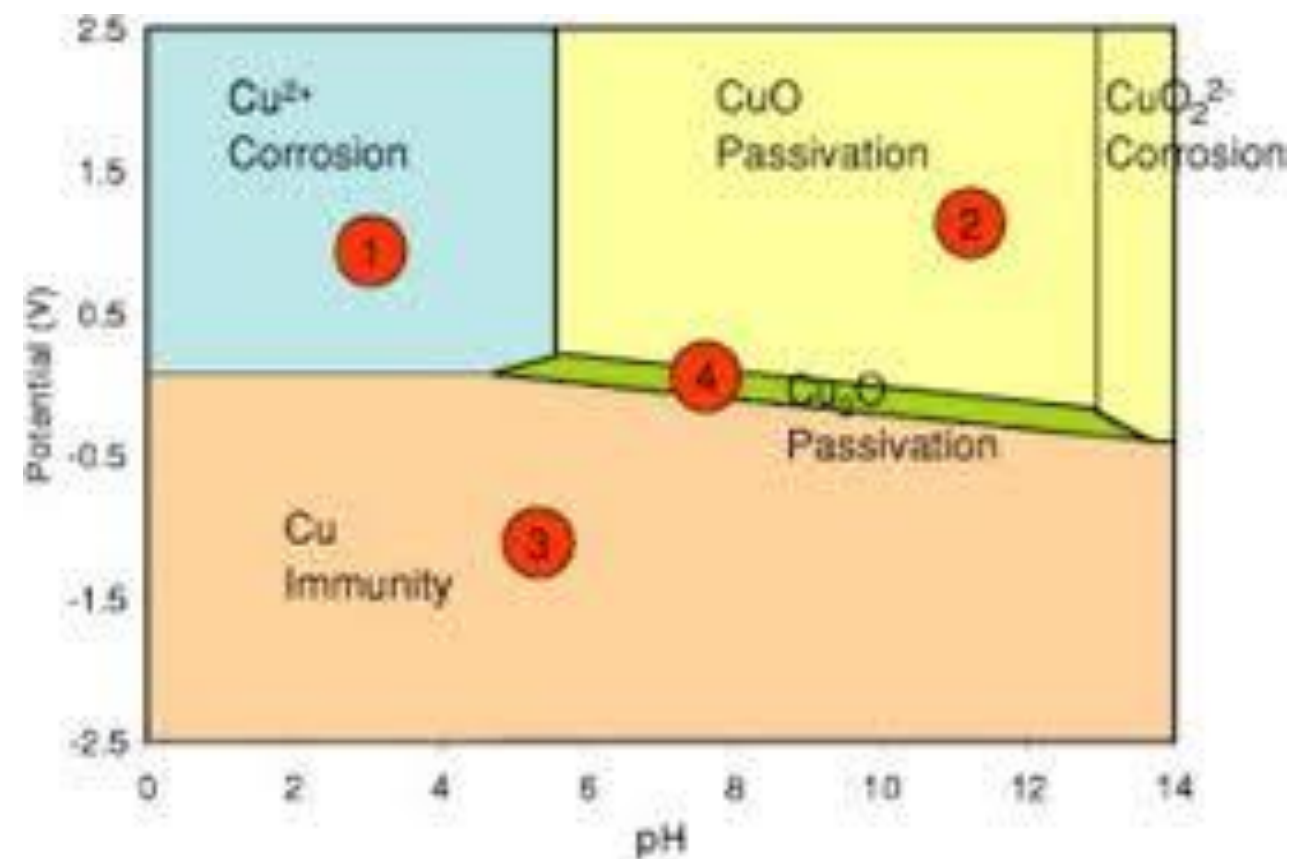


Diagrama de Pourbaix  
Simplificado  
*Exemplo para o Cu.*



# Presença de íons agressivos



# Efeito da Temperatura

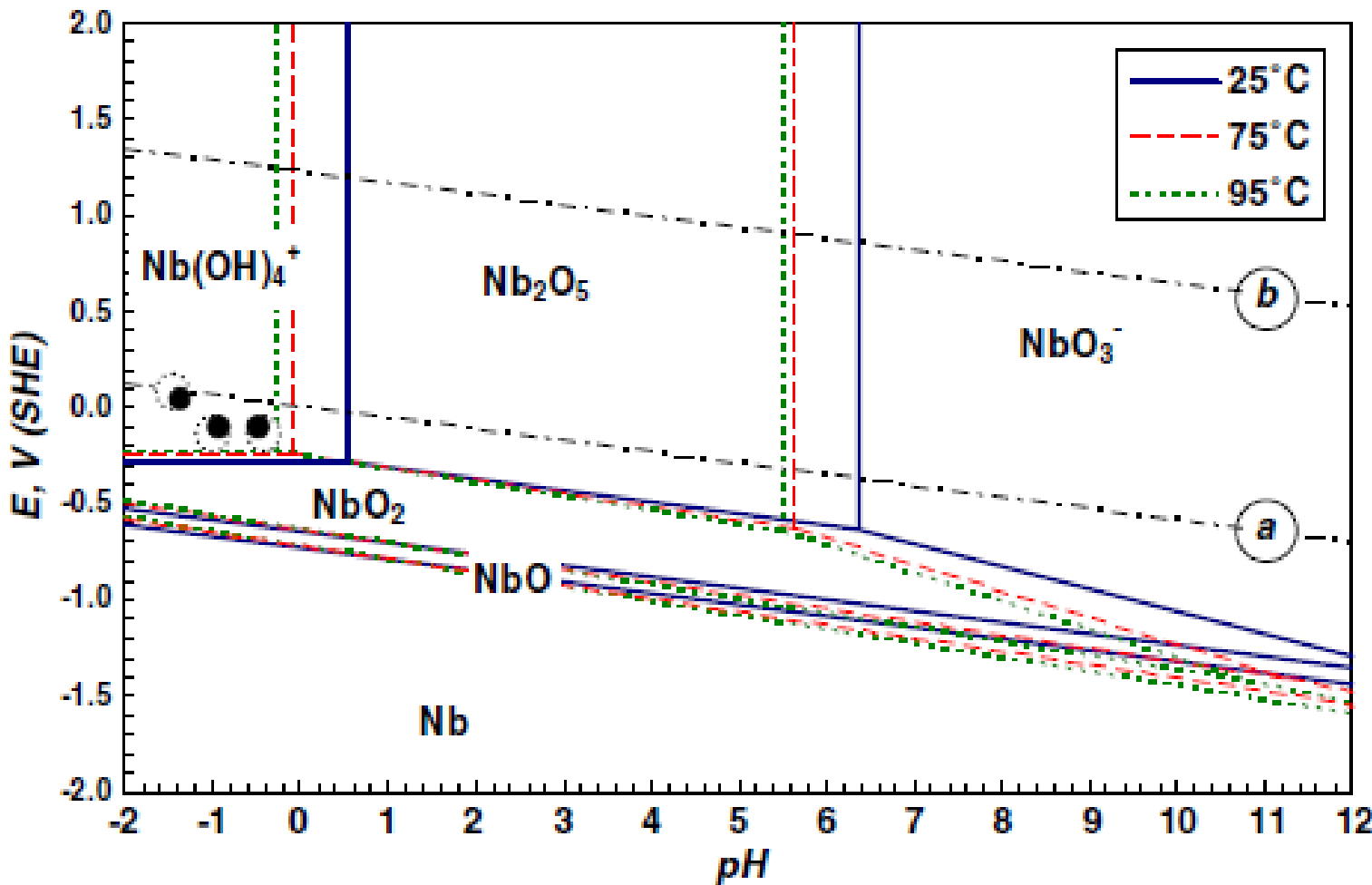
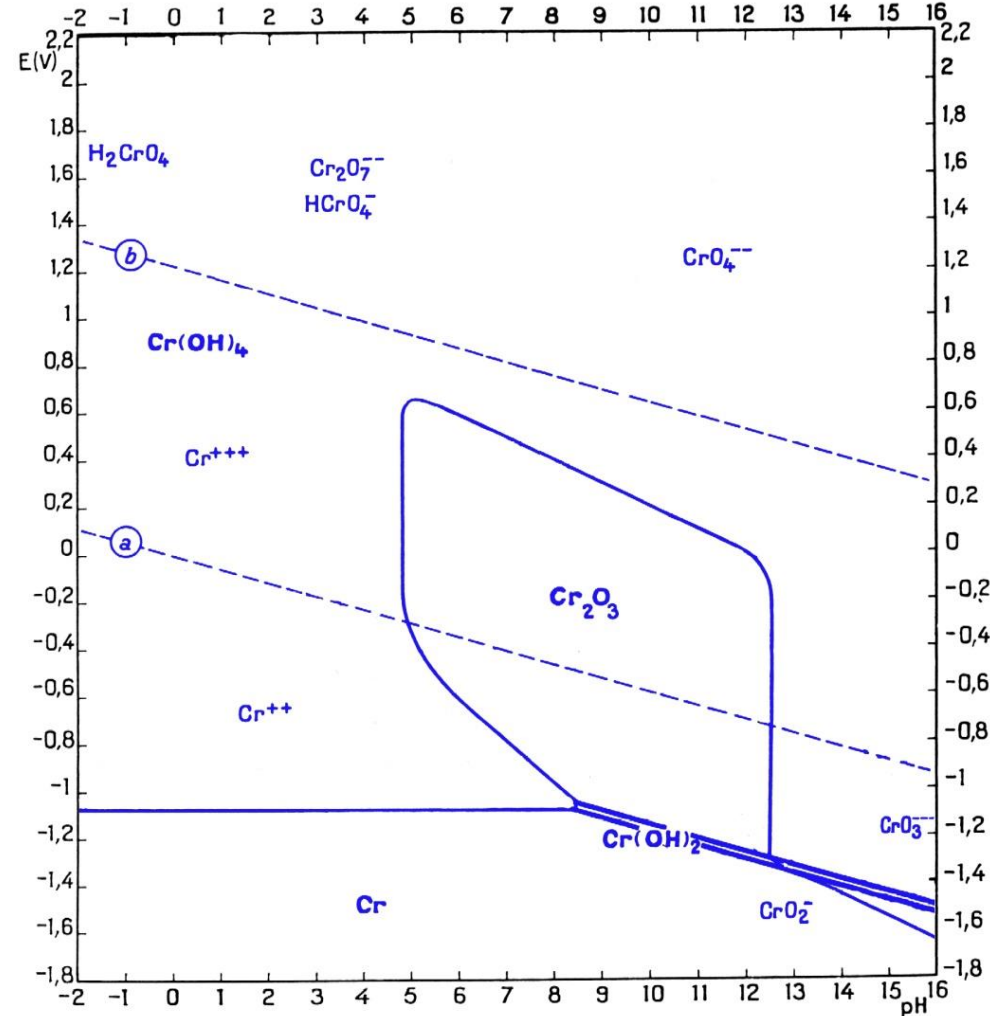
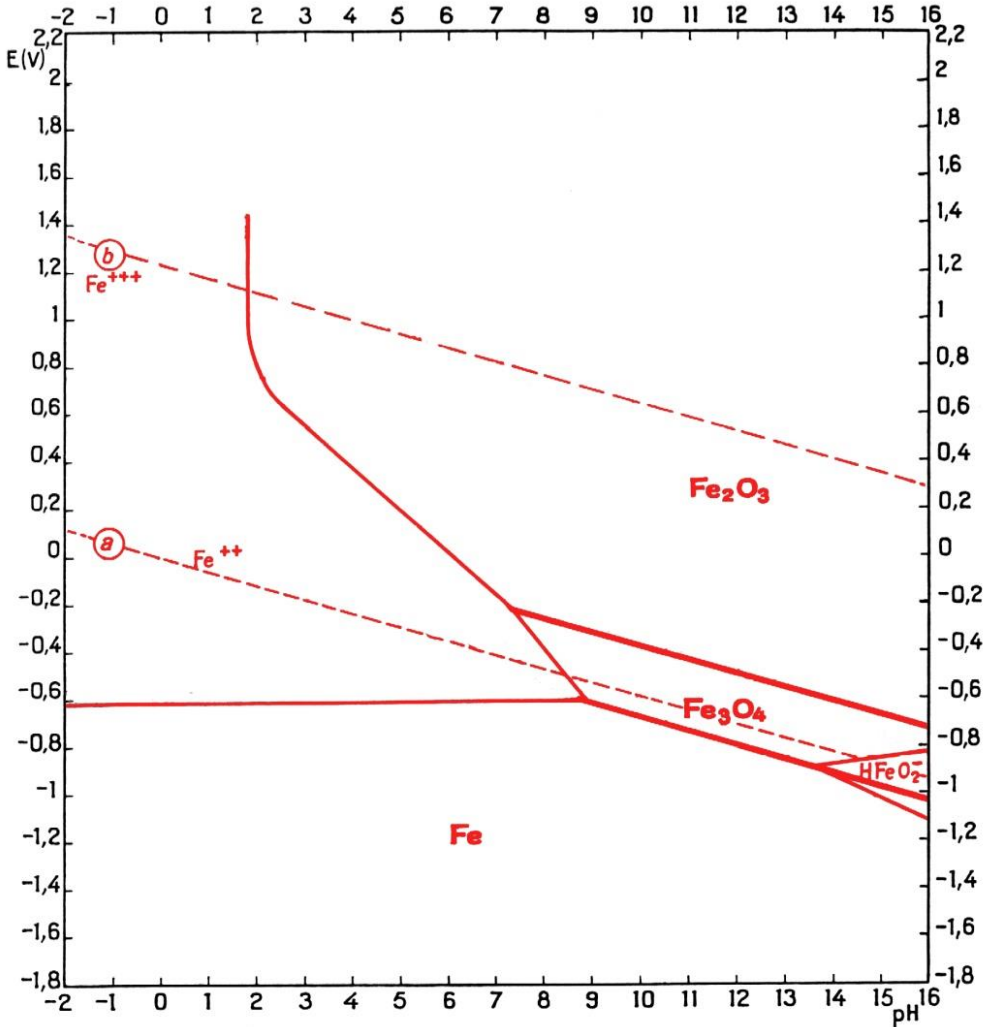


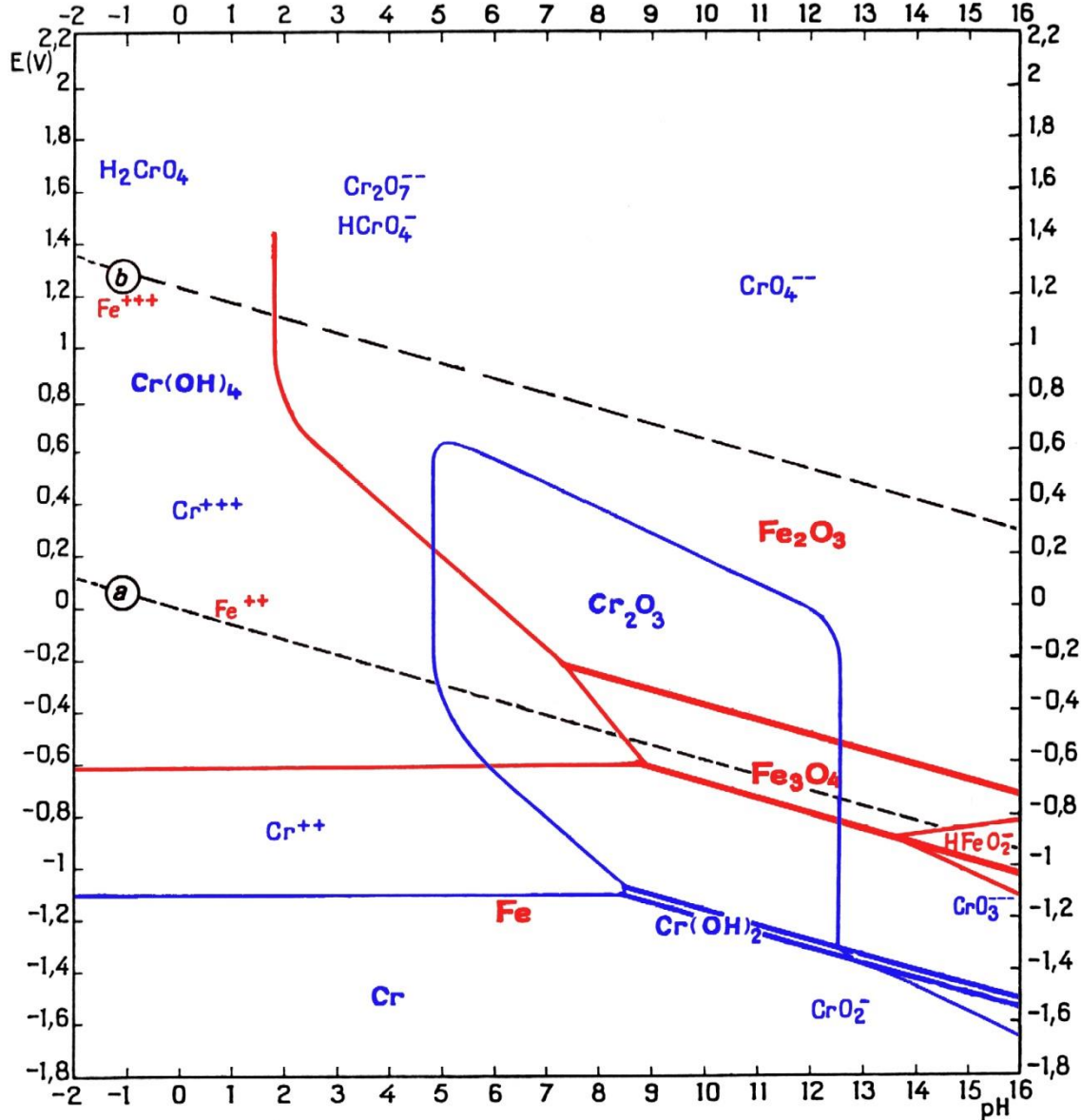
Diagrama de Pourbaix para o sistema Nb-H<sub>2</sub>O a 25°C, 75°C e 95°C, segundo Asselin, Ahmed, Alfantazi, 2007.

*Ref.:* Asselin, E., Ahmed, T. M., & Alfantazi, A. (2007). Corrosion of niobium in sulphuric and hydrochloric acid solutions at 75 and 95°C. *Corrosion Science*, 49, pp. 694-710. (Ver também: Trabalho de Formatura de RICARDO YUZO YAI, PMT, 2010.)

# Efeito de Elementos de Liga



# Efeito de Elementos de Liga



Aços Inoxidáveis: ligas Fe-Cr

Colaboração dos Engs. Andreza Sommerauer Franchim e  
Luiz Iama Pereira Filho – Formandos 2003